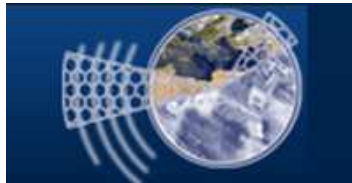




Τεχνολογικό Εκπαιδευτικό Ίδρυμα Κρήτης

Τμήμα Μηχανικών Πληροφορικής



Πτυχιακή Εργασία

Τίτλος: “Ανάπτυξη ενός αποδοτικού αλγόριθμου για την αναγνώριση των αποτελεσμάτων ενός ή περισσότερων τεστ πολλαπλής επιλογής.”

Μάντζιος Χρήστος (Α.Μ 2334)

Επιβλέπων καθηγητής: Νικόλαος Παπαδάκης

Abstract

The multiple choice questions are a popular way to review, which has prevailed in educational practice. The advantages obtained by the above method makes it ideal than others. More specifically, allowing simultaneous examination of a large number test a large volume of the syllabus, ensure objectivity and impartiality while their creation is relatively easy and quick affair. However, there are also disadvantages of this method with this important graduation from their teachers, which is certainly time consuming.

Already by the 1890s, originated the punched cards bringing a revolution in data collection and storage. The punched cards were the precursor technology optical mark recognition (OMR). Technology evolution punch cards, was the creation of appliances from IBM, which swept the surface of the paper with metal brushes and through conductivity graphite recognizes the user responses.

Later, with the new digital revolution and the emergence of the first personal computer, created optical scanners, which swept preprinted forms that were on special paper, allowing the passage of light and measured the amount of light that ran the paper, so that marks found on both sides of the paper to reduce the amount of light that passes through the document.

In other way optical scanners, the OMR software does not need specialized hardware nor preprinted forms, as for result in a very low cost, making the automatic recognition test multiple choice are very affordable to educational institutions, small organizations etc.

For this reason, we created an automated correction system multiple choice test with the use of OpenCV, where the verification of user options, ie whether the user has marked a choice be made with the use of support vector machines (support vector machines or SVM), which belongs to the field of machine learning.

Σύνοψη

Οι ερωτήσεις πολλαπλής επιλογής αποτελούν έναν δημοφιλή τρόπο εξέτασης, που έχει επικρατήσει στην εκπαιδευτική πρακτική. Τα πλεονεκτήματα που συγκεντρώνει η παραπάνω μέθοδος την καθιστούν ιδανική σε σχέση με άλλες. Πιο συγκεκριμένα, επιτρέπουν την ταυτόχρονη εξέταση μεγάλου αριθμού εξεταζομένων σε μεγάλο όγκο της εξεταστέας ύλης, εξασφαλίζουν αντικειμενικότητα και αμεροληψία ενώ η δημιουργία τους είναι σχετικά εύκολη και ταχεία υπόθεση. Ωστόσο, δεν λείπουν και τα μειονεκτήματα της μεθόδου αυτής με σημαντικότερο αυτό της βαθμολόγησης τους από τους από τους διδάσκοντες, η οποία είναι οπωσδήποτε χρονοβόρα.

Ήδη από τη δεκαετία του 1890, πρωτοεμφανίστηκαν οι διάτρητες κάρτες φέρνοντας μια επανάσταση στον τρόπο συλλογής και αποθήκευσης δεδομένων. Οι διάτρητες κάρτες αποτέλεσαν πρόδρομο της τεχνολογίας της οπτικής αναγνώρισης σημαδιών (optical mark recognition ή OMR).

Εξέλιξη της τεχνολογίας διάτρητων καρτών, υπήρξε η δημιουργία συσκευών από την IBM, οι οποίες σάρωναν την επιφάνεια του χαρτιού με μεταλλικές βούρτσες και μέσω της αγωγιμότητας του γραφίτη αναγνώριζαν τις απαντήσεις του χρήστη.

Αργότερα, με τη νέα ψηφιακή επανάσταση και την δημιουργία των πρώτων προσωπικών υπολογιστών, δημιουργήθηκαν οπτικοί σαρωτές, οι οποίοι σάρωναν φόρμες που ήταν προτυπωμένες σε ειδικό χαρτί, που επέτρεπε την διέλευση του φωτός και μετρούσαν την ποσότητα του φωτός που διέτρεχε το χαρτί, έτσι ώστε τα σημάδια που βρίσκονται και στις δύο πλευρές του εγγράφου να μειώνουν την ποσότητα του φωτός που περνά μέσα από το έγγραφο.

Σε αντίθεση με τους οπτικούς σαρωτές, το OMR λογισμικό δεν χρειάζεται εξειδικευμένο υλικό αλλά ούτε και προτυπωμένες φόρμες, με αποτέλεσμα το πολύ χαμηλό κόστος, κάνοντας έτσι την αυτόματη αναγνώριση τεστ πολλαπλής επιλογής πολύ προσιτή σε εκπαιδευτικά ιδρύματα, μικρούς οργανισμούς κ.α.

Για το λόγο αυτό, δημιουργήσαμε ένα αυτοματοποιημένο σύστημα διόρθωσης τεστ πολλαπλής επιλογής με την χρήση της OpenCV, όπου η επαλήθευση των επιλογών του χρήστη, δηλαδή το αν ο χρήστης έχει μαρκάρει μια επιλογή, να γίνεται με τη χρήση των μηχανών διανυσμάτων υποστήριξης (support vector machines ή SVM), οι οποίες ανήκουν στον κλάδο της μηχανικής μάθησης.

Ευρετήριο περιεχομένων

Abstract	III
Σύνοψη	IV
Ευρετήριο περιεχομένων	V
Ευρετήριο εικόνων	VIII
Ευρετήριο πινάκων	IX
1. Εισαγωγή	1
1.1 Κίνητρο για την διεξαγωγή της εργασίας	1
1.2 Σκοπός και στόχοι εργασίας	2
1.3 Δομή εργασίας	2
2. Σχετικές εργασίες	3
3. Υπόβαθρο	5
3.1. Οπτική αναγνώριση σημαδιών(OMR)	5
3.1.1 Εισαγωγή	5
3.1.2 Ιστορία της οπτικής αναγνώρισης σημαδιών (OMR)	5
3.1.3 Background οπτικής αναγνώρισης σημαδιών (OMR)	7
3.1.4 Λογισμικό οπτικής αναγνώρισης σημαδιών (OMR)	8
3.1.5 Εφαρμογές	9
3.1.6 Δυνατότητες/απαιτήσεις	10
3.1.7 Μειονεκτήματα	10
3.1.8 OMR Ανοιχτού λογισμικού	10
3.2 QR code	11
3.2.1 Ιστορία	11
3.2.2 Πρότυπα	12
3.2.3 Χωρητικότητα	12
3.2.3 Χρήση	13
3.3 Support vectors machines	13
3.3.1 Εισαγωγή	13
3.3.2 Γραμμικές μηχανές διανυσμάτων υποστήριξης (SVM)	14
4. Εργαλεία	16
4.1 OpenCv	16
4.1. 1 Εισαγωγή στην OpenCv	16
4.1.2 Διαθέσιμες εκδόσεις	16
4.1.3 Τα δομικά στοιχεία της OpenCv	16
4.1.4 Τα πλεονεκτήματα της OpenCv	17
4.1.5 Εφαρμογές της OpenCv	17
4.1.6 Συναρτήσεις και δομές της OpenCv που χρησιμοποίησα	18

4.2 Zbar.....	22
4.2.1 Εισαγωγή στην Zbar.....	22
4.2.2 Τρόπος λειτουργίας της Zbar.....	22
4.2.3 Χαρακτηριστικά της Zbar.....	22
4.3 Microsoft visual studio 2012.....	23
4.3.1 Εισαγωγή στο visual studio 2012.....	23
4.3.1 Εκδόσεις του visual studio.....	23
4.4 Η βιβλιοθήκη dirent.h.....	24
5. Ανάλυση συστήματος.....	25
5.1 Ανάλυση προβλήματος.....	26
5.2 Υλοποίηση.....	28
5.2.1 Εισαγωγή φωτογραφιών στον αλγόριθμο.....	29
5.2.2 Διόρθωση σφάλματος στην κλίση της εικόνας.....	31
5.2.3 Εξαγωγή των αποτελεσμάτων.....	34
Τελικό στάδιο για την εξαγωγή των αποτελεσμάτων, είναι η εύρεση των περιγραμμάτων της εικόνας ,και το φιλτράρισμα αυτών αφού πρώτα κλιμακώσουμε την εικόνα μας.....	41
Και τους περιορισμούς θέσης της κάθε Bubble που βρήκε η συνάρτηση μας(2). Οι περιορισμοί θέσης αποκλείουν το ορθογώνιο που σχηματίζετε από την κάτω αριστερή κορυφή του qrcode. 41	
5.2.4 Εκπαίδευση μηχανής υποστήριξης διανυσμάτων(SVM).....	42
5.2.5 Αποθήκευση των αποτελεσμάτων.....	46
6. Αποτελέσματα-Μετρήσεις.....	48
7. Μελλοντικές επεκτάσεις.....	48
Βιβλιογραφία.....	49
Παράρτημα.....	50
Οδηγός χρήσης.....	50

Ευρετήριο εικόνων

Εικόνα 1 IBM 96 στηλών διάτρητη κάρτα.....	5
Εικόνα 2 IBM 805 test scoring machine	6
Εικόνα 3 OMR scanner	7
Εικόνα 4 Remark Office OMR.....	8
Εικόνα 5 OMR sheet	9
Εικόνα 6 Διάφορα QRcodes.....	11
Εικόνα 7 UPC barcode	12
Εικόνα 8 QRcode ver 40	13
Εικόνα 9 Διαχωριστικά υπερεπίπεδα για το SVM.....	14
Εικόνα 10 Μέγιστο περιθώριο υπερεπίπεδου και περιθώρια για ένα εκπαιδευμένο SVM με δείγματα από δύο κατηγορίες. Τα δείγματα στο περιθώριο ονομάζονται διανύσματα υποστήριξης.....	15
Εικόνα 11 Τα συστατικά μέρη της OpenCv.....	17
Εικόνα 12 Επιλογές κατωφλίωσης.....	21
Εικόνα 13 Υψηλού επιπέδου περιγραφή από τα modules.....	22
Εικόνα 14 Visual Studio 2012 SDK	23
Εικόνα 15 Διάγραμμα OMR	25
Εικόνα 16 Πρότυπη φόρμα απαντήσεων.....	27
Εικόνα 17 Έξοδος του συστήματος. Με πράσινο χρώμα επιλεγμένες απαντήσεις με κόκκινο απαντήσεις που δεν έχουν επιλεγεί	28
Εικόνα 18 Διάγραμμα ροής OMR.....	29
Εικόνα 19 Διάγραμμα ροής για την εισαγωγή εικόνων στον αλγόριθμο	30
Εικόνα 20 Εισαγωγή path.....	30
Εικόνα 21 Διάγραμμα ροής συνάρτησης διόρθωσης κλίσης της εικόνας.....	32
Εικόνα 22 Διόρθωση κλίσης μετά από Affine μετασχηματισμό 5 μοίρες αριστερά.....	33
Εικόνα 23 Παράδειγμα κύκλου(bubble) απάντησης.....	34
Εικόνα 24 Πρώτη υλοποίηση του τεστ	35
Εικόνα 25 Αποστάσεις μεταξύ των bubble	35
Εικόνα 26 Σχεδιασμένα περιγράμματα	36
Εικόνα 27 Αποτέλεσμα της minEnclosingCircle	36
Εικόνα 28 Περιορισμοί για την αναγνώριση των bubble.....	37
Εικόνα 29 Διάγραμμα ροής της find_bubble_contours.....	38
Εικόνα 30 Αριστερά αρχική εικόνα, δεξιά θολωμένη εικόνα	39
Εικόνα 31 Otsu threshold	40
Εικόνα 32 Απόσπασμα απαντήσεων	47
Εικόνα 33 Παράδειγμα μορφής απαντήσεων.....	47
Εικόνα 34 Απόδοση της GPU σε σχέση με την CPU για επεξεργασία εικόνας.	48

Ευρετήριο πινάκων

Πίνακας 1 Ποσότητα των δεδομένων που μπορεί να αποθηκευτεί στο QR code.....	12
Πίνακας 2 Εκδόσεις του visual studio.....	23
Πίνακας 3 Πρότυπα με τα οποία εκπαιδεύτηκε η μηχανή διανυσμάτων υποστήριξης.....	43

1. Εισαγωγή

Η παρούσα πτυχιακή εργασία πραγματεύεται την επεξεργασία εικόνας σε περιβάλλον Visual Studio 2012 και τη χρήση της βιβλιοθήκης OpenCV σε γλώσσα προγραμματισμού C++ και ειδικότερα έχει ως αντικείμενο την οπτική αναγνώριση σημαδιών (OMR), η οποία αποτελεί μια ειδικευση της οπτικής αναγνώρισης χαρακτήρων .

Η διαφορά μεταξύ των δύο αυτών τεχνικών, αν και έχουν πολλά κοινά μεταξύ τους, εντοπίζεται στον τρόπο με τον οποίο γίνεται η αναγνώριση. Στην περίπτωση της οπτικής αναγνώρισης χαρακτήρων, τα πρότυπα που πρέπει να αναγνωριστούν είναι άγνωστα σε εμάς και για το λόγο αυτό συχνά η ανάγνωση χαρακτήρων, ειδικά όταν είναι χειρόγραφη, είναι πολύ δύσκολη έως και αδύνατη. Αντίθετα, στην περίπτωση της οπτικής αναγνώρισης σημαδιών τα πρότυπα είναι γνωστά και τα σημάδια που πρέπει να αναγνωριστούν είναι αυστηρώς προκαθορισμένα, τόσο ως προς τη θέση τους στο έγγραφο, όσο και ως προς το σχήμα τους.

Η οπτική αναγνώριση σημαδιών (OMR) ξεκίνησε στα τέλη του 19^{ου} αιώνα με τη μορφή διάτρητων καρτών που χρησιμοποιούνταν για τον προγραμματισμό μηχανών παραγωγής (π.χ. πλεκτικές μηχανές στην υφαντουργία). Έπειτα, με την δημιουργία των πρώτων υπολογιστών χρησιμοποιήθηκαν για τον προγραμματισμό αυτών, όπως και για την εισαγωγή δεδομένων. Εξέλιξη της τεχνολογίας διάτρητων καρτών, υπήρξε η δημιουργία συσκευών από την IBM, οι οποίες σάρωναν την επιφάνεια του χαρτιού με μεταλλικές βούρτσες και μέσω της αγωγιμότητας του γραφίτη αναγνώριζαν τις απαντήσεις του χρήστη.

Τέλος, στα τέλη της δεκαετίας του 1970 με την δημιουργία των προσωπικών υπολογιστών η οπτική αναγνώριση σημαδιών χρησιμοποιήθηκε σε πληθώρα εφαρμογών, όπως στην διεξαγωγή τεστ, δημοσκοπήσεων, ψηφοφοριών, καθώς και σε εφαρμογές, όπως οι συσκευές διπλώματος εγγράφων για την εισαγωγή τους σε φάκελο κ.α..

1.1 Κίνητρο για την διεξαγωγή της εργασίας

Οι κλασικές μέθοδοι εξέτασης εμφανίζουν συγκεκριμένα χαρακτηριστικά. Ως τέτοιες νοούνται οι γραπτές ή προφορικές εξετάσεις από τον διδάσκοντα, ο οποίος μέσω αυτών αποπειράται να αξιολογήσει τον εξεταζόμενο και την εκπαιδευτική του πορεία εν γένει. Ωστόσο, η εξαγωγή δίκαιων και ορθών συμπερασμάτων καθίσταται ιδιαίτερα δυσχερής για τον διδάσκοντα. Κατ' αρχάς, δεν είναι δυνατή η συχνή εξέταση του εξεταζομένου, καθώς η διεξαγωγή ενός γραπτού διαγωνίσματος ή προφορικής εξέτασης απαιτεί την ύπαρξη χρόνου, ο οποίος σε όλο το φάσμα της εκπαιδευτικής διαδικασίας σπανίζει ή οι προτεραιότητες για τον διδάσκοντα είναι άλλες (π.χ. η κάλυψη της διδακτικής ύλης). Έπειτα η γραπτή και κυρίως η προφορική εξέταση κλασσικού τύπου απευθύνεται σε έναν στενότερο κύκλο προσώπων - εξεταζομένων, πράγμα που δεν παρέχει ικανοποιητικά επίπεδα αντικειμενικότητας. Τέλος, σημαντικό μέρος της εξεταστέας ύλης μένει εκτός της εξεταστικής διαδικασίας, αφού ο διδάσκων υποχρεώνεται να αξιολογήσει τον εξεταζόμενο σε ένα μόνο μέρος της διδακτέας ύλης και όχι στο σύνολο της.

Οι ως άνω αδυναμίες οδήγησαν στην ανάπτυξη σύγχρονων και καινοτόμων μεθόδων εξέτασης, αιχμή των οποίων αποτελεί η μέθοδος των ερωτήσεων πολλαπλής επιλογής. Με τη μέθοδο αυτή αντιμετωπίζονται οι ως άνω πραγματικές δυσχέρειες εξασφαλίζοντας αντικειμενικότητα, καθολικότητα και συχνότητα στην διεξαγωγή εξετάσεων σε βαθμό μείζονα συγκριτικά με τις κλασσικές εξεταστικές μεθόδους.

Επίσης, σημαντικό κίνητρο στάθηκε και ότι τα τελευταία χρόνια ο κλάδος της επεξεργασίας εικόνας έχει αναπτυχθεί εντυπωσιακά και έχει διεισδύσει σε πολλούς τομείς της καθημερινότητας.

Επιπλέον, η δημιουργία της OpenCV από την Intel, η διανομή της ως ανοιχτό λογισμικό, καθώς και η εξάπλωση των Smartphone's έκαναν την επεξεργασία εικόνας έναν δυναμικά αναπτυσσόμενο κλάδο.

Τέλος, κατά τη διάρκεια της φοίτησης μου είχα την ευκαιρία να έρθω σε επαφή, μέσω των μαθημάτων του προγράμματος σπουδών, με την επεξεργασία εικόνας όπως και την αναγνώριση

προτύπων. που μου έδωσαν ένα επιπλέον κίνητρο για την συγγραφή της παρούσας πτυχιακής εργασίας.

1.2 Σκοπός και στόχοι εργασίας

Σκοπός της εργασίας αυτής είναι η ανάπτυξη ενός ολοκληρωμένου συστήματος αυτόματης αναγνώρισης των απαντημένων ερωτήσεων για τεστ πολλαπλής επιλογής, το οποίο θα είναι απλό στη χρήση του και δεν θα έχει μεγάλες απαιτήσεις σε πόρους, ώστε να είναι συμβατό και με παλαιότερης τεχνολογίας υπολογιστές.

Επίσης, η λειτουργία του θα είναι πολύ απλή. Η διόρθωση θα ξεκινά αυτόματα, μόλις ο χρήστης σύρει (drag n drop) πάνω στην κονσόλα τον φάκελο με τις φωτογραφίες. Αρχικά το πρόγραμμα θα αναγνωρίζει τις εικόνες και έπειτα θα αποθηκεύει τα αποτελέσματα σε μορφή csv, η οποία είναι συμβατή με το excel.

Αναλυτικότερα, το σύστημα μας θα είναι σε θέση να αναγνωρίσει της απαντήσεις που έδωσε ο εξεταζόμενος σε μια πρότυπη φόρμα απαντήσεων σταθερού μεγέθους ερωτήσεων, το οποίο ορίστηκε να είναι 80 ερωτήσεις. Αφού ο διδάσκων συγκεντρώσει το σύνολο των OMR εγγράφων θα μπορεί να τα εισαγάγει σε έναν σαρωτή γενικού σκοπού ή κατά προτίμηση σε ένα πολυμηχάνημα με αυτόματο τροφοδότη εγγράφων, έτσι ώστε η διαδικασία σάρωσης να γίνει απλούστερη και ευχερέστερη.

1.3 Δομή εργασίας

Στο κεφάλαιο 1 γίνεται μια εισαγωγή σχετικά με την εργασία, καθώς επίσης καθορίζονται οι στόχοι και ο σκοπός της.

Στο κεφάλαιο 2 γίνεται αναφορά σε προηγούμενες εργασίες σχετικά με την οπτική αναγνώριση σημαδιών.

Στο κεφάλαιο 3 αναλύεται το υπόβαθρο της εργασίας που έχει να κάνει με την οπτική αναγνώριση σημαδιών (OMR), την τεχνολογία των QR code, καθώς και των μηχανών υποστήριξης διανυσμάτων (SVM).

Στο κεφάλαιο 4 παρατίθενται όλες οι απαραίτητες πληροφορίες σχετικά με τα εργαλεία που χρησιμοποιήσαμε.

Στο κεφάλαιο 5 γίνεται αναλυτική περιγραφή του αλγορίθμου που αναπτύξαμε για την αυτοματοποιημένη διόρθωση των τεστ.

Στο κεφάλαιο 6 παρατίθενται όλες οι μετρήσεις σχετικά με την αποτελεσματικότητα του συστήματος μας.

Τέλος στο κεφάλαιο 7 γίνεται μια αναφορά σε μελλοντικές επεκτάσεις και τροποποιήσεις που θα μπορούσαν να γίνουν μελλοντικά στο σύστημα.

2. Σχετικές εργασίες

Dillman, 2000: Στην εργασία με τίτλο “Optical Mark Recognition (OMR)” παρουσιάζονται οι επιπτώσεις των OMR φορμών στο ρυθμό απόκρισης. Ένα πιθανό μειονέκτημα των ερευνών που γίνονται με την χρήση της τεχνολογίας OMR είναι ότι μπορεί να δημιουργήσουν πρόβλημα στο ρυθμό απόκρισης. Αυτό μπορεί να συμβεί για διάφορους λόγους. Οι OMR έρευνες χρησιμοποιούνται συχνά σε συνδυασμό με άλλα μέτρα μείωσης του κόστους, ώστε τα τόσο χαμηλά ποσοστά απόκρισης τους μπορεί να είναι απλώς αποτέλεσμα που σχετίζεται με επιλογές που αφορούν την διαχείριση της έρευνας (Dillman, 2000).

Symons, 2001: Δηλώνει ότι οι MCQ αναγνωρίζονται γενικά ως μια ερώτηση με κάποιες εναλλακτικές απαντήσεις, όπου η μια είναι σωστή και οι άλλες λανθασμένες. Αυτό σημαίνει πολλαπλής επιλογής αλλά υπάρχουν και άλλες παραλλαγές, όπως πολλαπλής επιλογής, όπου επιλέγεται οποιοσδήποτε αριθμός από τις σωστές απαντήσεις, αριθμητικές, πολλαπλής με την ένδειξη Σωστό-Λάθος (όπου η απάντηση είναι αληθής ή ψευδής ή ο ερωτώμενος μπορεί και να μην απαντήσει), ή ερωτήσεις σχόλια (χώρος για ποιοτικές απαντήσεις).

Hussmann S. et al, 2005: Παρουσιάζεται η εργασία με τίτλο “Υψηλής ταχύτητας οπτικός αναγνώστης σημαδιών που υλοποιείται σε χαμηλού κόστους υλικό βασισμένο σε FPGA”. Στο περιεχόμενο της περιγράφεται η ανάπτυξη ενός πρωτοτύπου χαμηλού κόστους και ενός υψηλής ταχύτητας συστήματος OMR για την ανάγνωση ερωτήσεων πολλαπλής επιλογής. Η καινοτομία της προσέγγισης αυτής είναι η εφαρμογή του ολοκληρωμένου συστήματος σε ένα ενιαίο χαμηλού κόστους Field Programmable Gate Array (FPGA), προκειμένου να επιτευχθεί υψηλή ταχύτητα επεξεργασίας. Αποτελεσματικοί αλγόριθμοι ανίχνευσης σημαδιών και επαλήθευσης έχουν αναπτυχθεί και εφαρμοστεί για την επίτευξη των επιδόσεων σε πραγματικό χρόνο με χαμηλό υπολογιστικό κόστος. Το σύστημα αυτό μπορεί να επεξεργαστεί δεδομένα από ένα υψηλής ανάλυσης CCD γραμμικό αισθητήρα με 3456 pixels στα 5000 καρέ/s με τον πραγματικό μέγιστο ρυθμό του ρολογιού του αισθητήρα 20 MHz (4 × 5 MHz). Η απόδοση του πρωτοτύπου συστήματος ελέγχθηκε για διαφορετικά χρώματα στυλό και για διαφορετικές μεθόδους συμπλήρωσης (Hussmann & Weiping Deng, 2005).

Sabyasachi Das, 2010: Στην εργασία με τίτλο “Οπτική αναγνώριση σημαδιών για συλλογή δεδομένων αγροτικής υγείας” παρουσιάζεται η OMR τεχνολογία που έχει χρησιμοποιηθεί για διάφορες μεγάλης κλίμακας έρευνες από κυβερνητικούς οργανισμούς μέχρι εταιρείες μικροχρηματοδοτήσεων, όπως η Equitas για να συλλέγουν δεδομένα από νέους πελάτες. Η Equitas έχει διαπιστώσει τριπλάσια αύξηση της απόδοσης σε σχέση με τη χειροκίνητη εισαγωγή δεδομένων (Das, 2010).

Akash, Tewari, & Jain, 2012: Η εργασία με τίτλο “Computer vision based omr sheet evaluation using OpenCV” εστιάζει στην δημιουργία μια εφαρμογής διόρθωσης τεστ πολλαπλής επιλογής, η οποία θα βασίζεται σε εικόνες που προέρχονται από μια web camera αντί ενός σαρωτή. Αυτό έχει ως αποτέλεσμα την εξεύρεση μιας χαμηλού κόστους OMR λύσης, που θα δύναται να εφαρμοστεί από μικρές επιχειρήσεις παροχής υπηρεσιών ή προπονητικά κέντρα κ.α (Akash, Tewari, & Jain, 2012).

Chidrewar, Yang, & Moon, 2013: Στην εργασία τους με τίτλο “Mobile Based Auto Grading Of Answersheets” ερευνάται ένας αλγόριθμος αυτόματης διόρθωσης τεστ πολλαπλής επιλογής που θα υλοποιείται μέσω της χρήσης κινητού τηλεφώνου με λειτουργικό σύστημα Android αντί της χρήσεως σαρωτή. Το βασικό πλεονέκτημα αυτής της μεθόδου είναι η μείωση του κόστους, καθώς τα κινητά τηλέφωνα που βασίζονται στο λειτουργικό σύστημα Android είναι πλέον πολύ προσιτά σε οικονομικό επίπεδο ενώ ταυτόχρονα καταλαμβάνουν το μεγαλύτερο μερίδιο της αγοράς (Chidrewar, Yang, & Moon, 2013).

Accusoft: Η Accusoft παρουσίασε ένα Software Development Kit (SDK) για OMR αναγνώριση από εικόνες εγγράφων. Το SDK υποστηρίζει λειτουργία αναγνώρισης πρότυπου και λειτουργία ελεύθερης αναγνώρισης. Ένα OMR τεστ αποτελείται από μια παραλληλόγραμμη περιοχή που περιέχει προκαθορισμένο αριθμό στηλών και γραμμών από κυκλικά σημεία στα οποία σημειώνεται η απάντηση. Το SDK μπορεί να σαρώσει την περιοχή οριζόντια και στη συνέχεια κάθετα για να εντοπίσει τις κυκλικές περιοχές εκτός από τα κενά μεταξύ τους. Και στην συνέχεια αφού αναγνωρίσει τις κυκλικές περιοχές, καταμετρά τα πίξελ μαύρου χρώματος και κατ' αυτόν τον τρόπο να καθορίσει ποια είναι συμπληρωμένα και ποια όχι. Η τεχνική της Accusoft μπορεί να υποστηρίξει τον σχεδιασμό και την εκτύπωση σε απλό χαρτί, αλλά κατά την εφαρμογή στο σχολείο το ποσοστό επιτυχίας των απαντήσεων πολλαπλής επιλογής δεν μπορεί να επιτύχει τις απαιτήσεις της εξέτασης (accusoft,FormSuite).

3. Υπόβαθρο

3.1. Οπτική αναγνώριση σημαδιών(OMR)

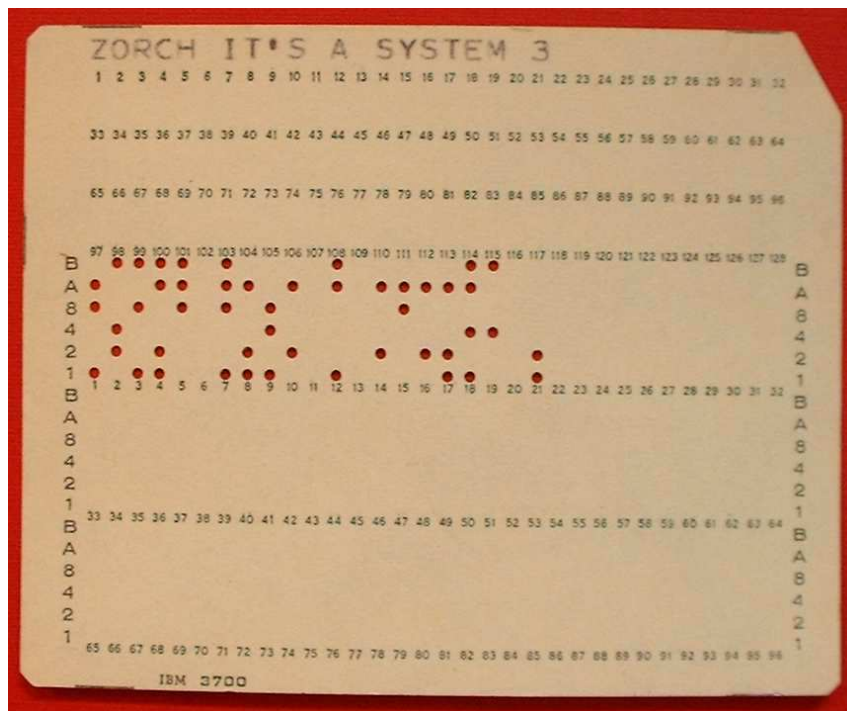
3.1.1 Εισαγωγή

Η οπτική αναγνώριση σημαδιών ή Optical mark recognition (εφεξής OMR) είναι μια αυτοματοποιημένη διαδικασία αναγνώρισης εγγράφων που έχουν συμπληρωθεί από άνθρωπο, όπως ερωτηματολόγια ή διαγωνίσματα πολλαπλής επιλογής .

3.1.2 Ιστορία της οπτικής αναγνώρισης σημαδιών (OMR)

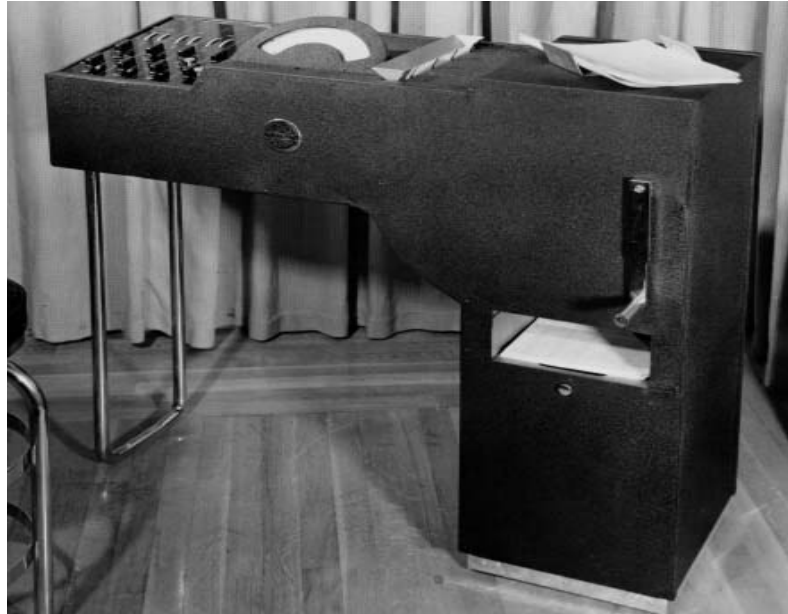
Η οπτική αναγνώριση σημαδιών (OMR) είναι η σάρωση μιας σελίδας χαρτιού και η ανίχνευση της παρουσίας ή της απουσίας σημαδιών σε μια προκαθορισμένη θέση. Στην εξέλιξη της οπτικής αναγνώρισης σημαδιών έχουν συμβάλει διάφορες τεχνολογίες. Στις αρχές του 19^{ου} και 20^{ου} αιώνα τα διπλώματα ευρεσιτεχνίας δόθηκαν για μηχανές που βοηθούσαν τους τυφλούς.

Η OMR σήμερα ευρύτατα χρησιμοποιείται ως μια συσκευή για την εισαγωγή δεδομένων. Δυο παλαιότεροι τύποι φόρμας ήταν η ταινία χαρτιού και οι διάτρητες κάρτες (Εικόνα 1) που χρησιμοποιούσαν τρύπες αντί μολύβι. Οι ταινίες χαρτιού χρησιμοποιήθηκαν στις αρχές του 1857 ως συσκευή εισόδου για τον τηλεγράφο. Οι διάτρητες κάρτες δημιουργήθηκαν το 1890 και χρησιμοποιήθηκαν ως συσκευή εισόδου για τους πρώτους ηλεκτρονικούς υπολογιστές. Η χρήση των διάτρητων καρτών μειώθηκε αισθητά στις αρχές του 1970 με την εισαγωγή των προσωπικών ηλεκτρονικών υπολογιστών. Που στις μέρες μας με την σύγχρονη OMR όπου η αναγνώριση του σημαδιού γίνεται από ένα οπτικό σαρωτή.



Εικόνα 1 IBM 96 στηλών διάτρητη κάρτα

Ο πρώτος σαρωτής αναγνώρισης σημαδιών ήταν ο IBM 805 Test Scoring Machine (Εικόνα 2), ο οποίος αναγνώριζε τα σημάδια μέσω της ηλεκτρικής αγωγιμότητας του γραφίτη του μολυβιού χρησιμοποιώντας ζεύγη από συρμάτινες βούρτσες που σάρωναν την επιφάνεια του χαρτιού. Κατά την δεκαετία του 1930, ο Richard Warren της IBM πειραματίστηκε με συστήματα οπτικής αναγνώρισης για τη βαθμολόγηση διαγωνισμάτων, με τις υπ' αριθμούς 2.150.256



Εικόνα 2 IBM 805 test scoring machine

και 2.010.653 Όπως κατοχυρώθηκε στα διπλώματα ευρεσιτεχνίας των Η.Π.Α. 2.150.256 (που κατατέθηκε το 1932, χορηγήθηκε το 1939) και 2.010.653 (που κατατέθηκε το 1933, χορηγήθηκε το 1935). Το πρώτο επιτυχημένο σύστημα οπτικής αναγνώρισης κατασκευάστηκε από τον Everett Franklin Lindquist και κατοχυρώθηκε στα διπλώματα ευρεσιτεχνίας των ΗΠΑ 3.050.248 (που κατατέθηκε το 1955, χορηγήθηκε το 1962).

Ο Lindquist ανέπτυξε πολυάριθμα πρότυπα εκπαιδευτικά διαγωνίσματα και χρειάστηκε μια καλύτερη μηχανή βαθμολόγησης από το τότε πρότυπο της IBM 805. Τα δικαιώματα της ευρεσιτεχνίας του Lindquist κατέχοντο από το Measurement Research Center μέχρι το 1968, όταν το πανεπιστήμιο της Αϊόβα πώλησε τα δικαιώματα στην Westinghouse Corporation.

Την ίδια χρονική περίοδο, η IBM ανέπτυξε με επιτυχία μια μηχανή οπτικής αναγνώρισης, που κατοχυρώθηκε ως ευρεσιτεχνία με αριθμό καταχώρισης 2.944.734 στις Η.Π.Α. (κατατέθηκε το 1957, χορηγήθηκε το 1960), η οποία κυκλοφόρησε με την επωνυμία IBM 1230 Optical mark scoring reader το 1962.

Αυτή και μια ποικιλία από σχετικές μηχανές επέτρεψε στην IBM να επεκταθεί σε μια ποικιλία εφαρμογών που έχουν αναπτυχθεί για τις μηχανές οπτικής αναγνώρισης σημαδιών μέχρι την νέα οπτική τεχνολογία. Περιλαμβάνουν μια ποικιλία από εφαρμογές, όπως η διαχείριση αποθεμάτων και οι φόρμες αναφοράς προβλημάτων, οι περισσότερες από τις οποίες έχουν τις διαστάσεις μιας τυπικής διάτρητης κάρτας.

Ενώ οι άλλες εταιρείες στόχευαν στην πώληση υπηρεσιών σάρωσης, η Scantron Corporation που ιδρύθηκε το 1972, υιοθέτησε ένα διαφορετικό μοντέλο προμηθεύοντας με φτηνούς σαρωτές τα σχολεία με σκοπό την αύξηση της κερδοφορίας από την πώληση φορμών διαγωνισμάτων. Η πρακτική αυτή είχε ως αποτέλεσμα, πολλοί άνθρωποι να θεωρούν ότι όλες οι φόρμες διαγωνισμάτων ήταν φόρμες Scantron. Η Scantron λειτουργεί ως θυγατρική της M&F Worldwide(MFW) και παρέχει συστήματα διεξαγωγής και διόρθωσης διαγωνισμάτων, καθώς και συστήματα συλλογής δεδομένων και υπηρεσίες ανάλυσης σε εκπαιδευτικά ινστιτούτα, επιχειρήσεις και κυβερνητικούς οργανισμούς.

Το 1983, η Westinghouse Learning Corporation εξαγοράστηκε από την National Computer Systems (NCS). Το 2000, η NCS εξαγοράστηκε από την Pearson Education, όπου η τεχνολογία OMR αποτέλεσε τον πυρήνα της Pearson's Data Management group. Τον Φεβρουάριο του 2008, M&F Worldwide εξαγόρασε την Data Management group από την Pearson, ο όμιλος τώρα είναι μέρος της Scantron.

Η χρήση της OMR σε συστήματα απογραφής αναπτύχθηκε ως μεταβατική τεχνολογία μεταξύ των διάτρητων καρτών και της τεχνολογίας των barcode. Η OMR χρησιμοποιείται σήμερα εκτενώς για ερευνητικούς και εκπαιδευτικούς σκοπούς.

3.1.3 Background οπτικής αναγνώρισης σημαδιών (OMR)

Πολλές παραδοσιακές συσκευές OMR λειτουργούν με τη βοήθεια ενός ειδικού σαρωτή (Εικόνα 3), όπου μια δέσμη φωτός πέφτει πάνω στο έγγραφο που θέλουμε να αναγνωρίσουμε.



Εικόνα 3 OMR scanner

Η ανακλαστικότητα που προκαλείται λόγω της αντίθεσης (contrasting reflectivity) σε προκαθορισμένες θέσεις του εγγράφου, χρησιμοποιείται για την αναγνώριση των σημαδεμένων περιοχών, επειδή ανακλούν λιγότερο φως από τις κενές περιοχές του εγγράφου.

Μερικές OMR συσκευές χρησιμοποιούν φόρμες εγγράφων που είναι προτυπωμένες σε ειδικό χαρτί, το οποίο επιτρέπει την διέλευση του φωτός και μετρούν την ποσότητα του φωτός που περνά μέσα από το χαρτί, έτσι τα σημάδια που βρίσκονται και στις δύο πλευρές του εγγράφου μειώνουν την ποσότητα του φωτός που διαπερνά το έγγραφο.

Σε αντίθεση με την ειδική συσκευή OMR, το λογισμικό OMR επιτρέπει στον χρήστη να δημιουργήσει τα δικά του έγγραφα, προσαρμοσμένα σε ένα επεξεργαστή κειμένου και να τα τυπώσει σε έναν κοινό εκτυπωτή. Το OMR λογισμικό λειτουργεί με έναν κοινό επιτραπέζιο σαρωτή εικόνων με τροφοδότη εγγράφων για την επεξεργασία των συμπληρωμένων φορμών.

Η OMR γενικά διακρίνεται από την οπτική αναγνώριση χαρακτήρων (OCR), καθώς και από το γεγονός ότι δεν απαιτούνται πολύπλοκες τεχνικές αναγνώρισης προτύπων. Δηλαδή, τα σημάδια αποτυπώνονται με τέτοιον τρόπο, ώστε να υπάρχει μικρή πιθανότητα να μην διαβαστεί σωστά ένα σημάδι. Στην προκειμένη περίπτωση, απαιτείται εικόνα υψηλής αντίθεσης και εύκολα αναγνωρίσιμο σχήμα. Ένα σχετικό πεδίο με OMR και OCR, είναι η αναγνώριση των barcodes, όπως τα UPC barcode, που βρίσκονται στις συσκευασίες των προϊόντων.

Μια από της πιο συνήθεις εφαρμογές της OMR, είναι αυτή που σχετίζεται με τη χρήση μολυβιού σκληρότητας HB για τη συμπλήρωση διαγωνισμάτων. Οι μαθητές σημειώνουν τις απαντήσεις ή άλλες προσωπικές πληροφορίες, μουτζουρώνοντας κύκλους σε ένα προτυπωμένο φύλλο χαρτί. Στη συνέχεια το φύλλο βαθμολογείται αυτόματα από ένα μηχάνημα σάρωσης.

Στις Ηνωμένες Πολιτείες όπως και στις περισσότερες ευρωπαϊκές χώρες, οι τύποι που χρησιμοποιούνται συνηθέστερα για OMR έγγραφα είναι οριζόντια ή κάθετα 'τικ' ή ορθογώνιοι 'ρόμβοι', ενώ η πιο οικεία εφαρμογή είναι στα συστήματα λοταρίας. Το πλεονέκτημα των ορθογώνιων ρόμβων είναι ότι σημειώνονται και διαγράφονται εύκολα. Οι μεγάλοι κύκλοι για την καταχώριση των απαντήσεων είναι μια κληρονομιά από τα παλιά OMR συστήματα που δεν ήταν τόσο ευαίσθητα και γι' αυτό ήταν αναπόφευκτη η χρήση μεγάλων κύκλων.

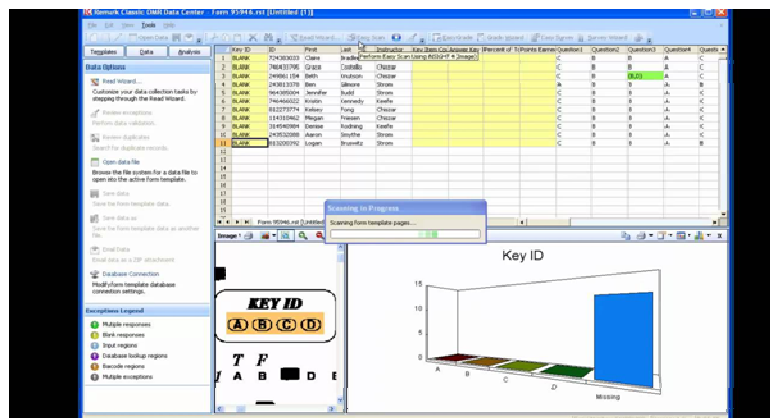
Στις μέρες μας, για την υλοποίηση πολλών OMR εφαρμογών, χρησιμοποιείται ανθρώπινο δυναμικό που συμπληρώνει εξειδικευμένες φόρμες. Αυτές οι φόρμες έχουν βελτιστοποιηθεί για τη σάρωση μέσω υπολογιστή, με προσεκτική εγγραφή στην εκτύπωση και προσεκτικό σχεδιασμό φόρμας, έτσι ώστε η ασάφεια να μειώνεται στο ελάχιστο. Το εξαιρετικά χαμηλό ποσοστό σφάλματος, το χαμηλό κόστος και ευκολία στη χρήση, κάνει την OMR μια πολύ δημοφιλή μέθοδο για την καταμέτρηση ψήφων.

Σημάδια OMR προστίθενται και στην αλληλογραφία ώστε να μπορεί να χρησιμοποιηθεί από ειδικές συσκευές που εισάγουν την αλληλογραφία σε φάκελο. Τα σημάδια προστίθενται σε κάθε σελίδα της αλληλογραφίας και αποτελούνται από μια ακολουθία από μαύρες παύλες, που καθορίζουν το σημείο όπου θα διπλωθεί η αλληλογραφία για την εισαγωγή της στον φάκελο.

3.1.4 Λογισμικό οπτικής αναγνώρισης σημαδιών (OMR)

Το λογισμικό OMR είναι μια εφαρμογή, που κάνει εφικτή τη χρήση OMR σε επιτραπέζιο υπολογιστή, με τη χρήση ενός σαρωτή εικόνων για την επεξεργασία ερωτηματολογίων, διαγωνισμάτων πολλαπλής επιλογής, απουσιολογίων, λιστών έλεγχου και άλλων απλών φορμών, που μπορούν να εκτυπωθούν από έναν laser εκτυπωτή.

Το λογισμικό OMR χρησιμοποιείται για να συλλέξει τα δεδομένα από OMR φύλλα. Όσο τα δεδομένα συλλέγονται ο σαρωτής εστιάζει σε πολλούς παράγοντες, όπως το πάχος του χαρτιού, οι διαστάσεις του OMR φύλλου και το πρότυπο σχέδιο. Ένα από τα πρώτα πακέτα λογισμικού που χρησιμοποιεί εικόνες από έναν κοινό σαρωτή εικόνας είναι το Remark Office OMR (Εικόνα 4), το οποίο κατασκευάζεται από την Gravic, Inc. (Originally named Principia Products, Inc.), Remark Office OMR 1.0 που κυκλοφόρησε το 1991.



Εικόνα 4 Remark Office OMR

Η ανάγκη για OMR λογισμικό ανέκυψε επειδή τα συστήματα OMR σχεδιαστήκαν για τη χρήση από ειδικούς σαρωτές και ειδικές προτυπωμένες φόρμες (Εικόνα 5), με ειδικά σημάδια ελέγχου. Τέτοιες φόρμες κοστίζουν περίπου 0.07€ με 0.13€ ευρώ ανά σελίδα. Αντιθέτως, οι χρήστες μπορούν να δημιουργήσουν τις δικές τους φόρμες χρησιμοποιώντας OMR λογισμικό, με έναν επεξεργαστή κειμένου ή με αυτοματοποιημένο τρόπο μέσω ειδικού λογισμικού και να τις τυπώσουν τοπικά σε έναν κοινό εκτυπωτή, εξοικονομώντας πολλά χρήματα.

Western India Regional Council of ICAI
OMR answer sheet for CPT Mock Test

CPT registration No.						Day	Month	Year

CRNO	<input type="radio"/>	<input type="radio"/>	<input type="radio"/>	<input type="radio"/>	<input type="radio"/>
ERNO	<input type="radio"/>	<input type="radio"/>	<input type="radio"/>	<input type="radio"/>	<input type="radio"/>
NRNO	<input type="radio"/>	<input type="radio"/>	<input type="radio"/>	<input type="radio"/>	<input type="radio"/>
SRNO	<input type="radio"/>	<input type="radio"/>	<input type="radio"/>	<input type="radio"/>	<input type="radio"/>
WRNO	<input type="radio"/>	<input type="radio"/>	<input type="radio"/>	<input type="radio"/>	<input type="radio"/>
FRNO	<input type="radio"/>	<input type="radio"/>	<input type="radio"/>	<input type="radio"/>	<input type="radio"/>

INSTRUCTIONS

- Use HB pencil only on this sheet.
- Darken the ovals fully.
- Erase completely to change responses.
- Do not make any stray marks on this sheet.

Answer Booklet Code	
A	<input checked="" type="radio"/>
B	<input type="radio"/>

ANSWERS

1	<input checked="" type="radio"/>	<input type="radio"/>	<input type="radio"/>	<input type="radio"/>
2	<input type="radio"/>	<input type="radio"/>	<input type="radio"/>	<input type="radio"/>
3	<input type="radio"/>	<input type="radio"/>	<input type="radio"/>	<input type="radio"/>
4	<input type="radio"/>	<input type="radio"/>	<input type="radio"/>	<input type="radio"/>
5	<input type="radio"/>	<input type="radio"/>	<input type="radio"/>	<input type="radio"/>
6	<input type="radio"/>	<input type="radio"/>	<input type="radio"/>	<input type="radio"/>
7	<input type="radio"/>	<input type="radio"/>	<input type="radio"/>	<input type="radio"/>
8	<input type="radio"/>	<input type="radio"/>	<input type="radio"/>	<input type="radio"/>
9	<input type="radio"/>	<input type="radio"/>	<input type="radio"/>	<input type="radio"/>
10	<input type="radio"/>	<input type="radio"/>	<input type="radio"/>	<input type="radio"/>
11	<input type="radio"/>	<input type="radio"/>	<input type="radio"/>	<input type="radio"/>
12	<input type="radio"/>	<input type="radio"/>	<input type="radio"/>	<input type="radio"/>
13	<input type="radio"/>	<input type="radio"/>	<input type="radio"/>	<input type="radio"/>
14	<input type="radio"/>	<input type="radio"/>	<input type="radio"/>	<input type="radio"/>
15	<input type="radio"/>	<input type="radio"/>	<input type="radio"/>	<input type="radio"/>
16	<input type="radio"/>	<input type="radio"/>	<input type="radio"/>	<input type="radio"/>
17	<input type="radio"/>	<input type="radio"/>	<input type="radio"/>	<input type="radio"/>
18	<input type="radio"/>	<input type="radio"/>	<input type="radio"/>	<input type="radio"/>
19	<input type="radio"/>	<input type="radio"/>	<input type="radio"/>	<input type="radio"/>
20	<input type="radio"/>	<input type="radio"/>	<input type="radio"/>	<input type="radio"/>
21	<input type="radio"/>	<input type="radio"/>	<input type="radio"/>	<input type="radio"/>
22	<input type="radio"/>	<input type="radio"/>	<input type="radio"/>	<input type="radio"/>
23	<input type="radio"/>	<input type="radio"/>	<input type="radio"/>	<input type="radio"/>
24	<input type="radio"/>	<input type="radio"/>	<input type="radio"/>	<input type="radio"/>
25	<input type="radio"/>	<input type="radio"/>	<input type="radio"/>	<input type="radio"/>
26	<input type="radio"/>	<input type="radio"/>	<input type="radio"/>	<input type="radio"/>
27	<input type="radio"/>	<input type="radio"/>	<input type="radio"/>	<input type="radio"/>
28	<input type="radio"/>	<input type="radio"/>	<input type="radio"/>	<input type="radio"/>
29	<input type="radio"/>	<input type="radio"/>	<input type="radio"/>	<input type="radio"/>
30	<input type="radio"/>	<input type="radio"/>	<input type="radio"/>	<input type="radio"/>
31	<input type="radio"/>	<input type="radio"/>	<input type="radio"/>	<input type="radio"/>
32	<input type="radio"/>	<input type="radio"/>	<input type="radio"/>	<input type="radio"/>
33	<input type="radio"/>	<input type="radio"/>	<input type="radio"/>	<input type="radio"/>
34	<input type="radio"/>	<input type="radio"/>	<input type="radio"/>	<input type="radio"/>
35	<input type="radio"/>	<input type="radio"/>	<input type="radio"/>	<input type="radio"/>
36	<input type="radio"/>	<input type="radio"/>	<input type="radio"/>	<input type="radio"/>
37	<input type="radio"/>	<input type="radio"/>	<input type="radio"/>	<input type="radio"/>
38	<input type="radio"/>	<input type="radio"/>	<input type="radio"/>	<input type="radio"/>
39	<input type="radio"/>	<input type="radio"/>	<input type="radio"/>	<input type="radio"/>
40	<input type="radio"/>	<input type="radio"/>	<input type="radio"/>	<input type="radio"/>
41	<input type="radio"/>	<input type="radio"/>	<input type="radio"/>	<input type="radio"/>
42	<input type="radio"/>	<input type="radio"/>	<input type="radio"/>	<input type="radio"/>
43	<input type="radio"/>	<input type="radio"/>	<input type="radio"/>	<input type="radio"/>
44	<input type="radio"/>	<input type="radio"/>	<input type="radio"/>	<input type="radio"/>
45	<input type="radio"/>	<input type="radio"/>	<input type="radio"/>	<input type="radio"/>
46	<input type="radio"/>	<input type="radio"/>	<input type="radio"/>	<input type="radio"/>
47	<input type="radio"/>	<input type="radio"/>	<input type="radio"/>	<input type="radio"/>
48	<input type="radio"/>	<input type="radio"/>	<input type="radio"/>	<input type="radio"/>
49	<input type="radio"/>	<input type="radio"/>	<input type="radio"/>	<input type="radio"/>
50	<input type="radio"/>	<input type="radio"/>	<input type="radio"/>	<input type="radio"/>
51	<input type="radio"/>	<input type="radio"/>	<input type="radio"/>	<input type="radio"/>
52	<input type="radio"/>	<input type="radio"/>	<input type="radio"/>	<input type="radio"/>
53	<input type="radio"/>	<input type="radio"/>	<input type="radio"/>	<input type="radio"/>
54	<input type="radio"/>	<input type="radio"/>	<input type="radio"/>	<input type="radio"/>
55	<input type="radio"/>	<input type="radio"/>	<input type="radio"/>	<input type="radio"/>
56	<input type="radio"/>	<input type="radio"/>	<input type="radio"/>	<input type="radio"/>
57	<input type="radio"/>	<input type="radio"/>	<input type="radio"/>	<input type="radio"/>
58	<input type="radio"/>	<input type="radio"/>	<input type="radio"/>	<input type="radio"/>
59	<input type="radio"/>	<input type="radio"/>	<input type="radio"/>	<input type="radio"/>
60	<input type="radio"/>	<input type="radio"/>	<input type="radio"/>	<input type="radio"/>
61	<input type="radio"/>	<input type="radio"/>	<input type="radio"/>	<input type="radio"/>
62	<input type="radio"/>	<input type="radio"/>	<input type="radio"/>	<input type="radio"/>
63	<input type="radio"/>	<input type="radio"/>	<input type="radio"/>	<input type="radio"/>
64	<input type="radio"/>	<input type="radio"/>	<input type="radio"/>	<input type="radio"/>
65	<input type="radio"/>	<input type="radio"/>	<input type="radio"/>	<input type="radio"/>
66	<input type="radio"/>	<input type="radio"/>	<input type="radio"/>	<input type="radio"/>
67	<input type="radio"/>	<input type="radio"/>	<input type="radio"/>	<input type="radio"/>
68	<input type="radio"/>	<input type="radio"/>	<input type="radio"/>	<input type="radio"/>
69	<input type="radio"/>	<input type="radio"/>	<input type="radio"/>	<input type="radio"/>
70	<input type="radio"/>	<input type="radio"/>	<input type="radio"/>	<input type="radio"/>
71	<input type="radio"/>	<input type="radio"/>	<input type="radio"/>	<input type="radio"/>
72	<input type="radio"/>	<input type="radio"/>	<input type="radio"/>	<input type="radio"/>
73	<input type="radio"/>	<input type="radio"/>	<input type="radio"/>	<input type="radio"/>
74	<input type="radio"/>	<input type="radio"/>	<input type="radio"/>	<input type="radio"/>
75	<input type="radio"/>	<input type="radio"/>	<input type="radio"/>	<input type="radio"/>
76	<input type="radio"/>	<input type="radio"/>	<input type="radio"/>	<input type="radio"/>
77	<input type="radio"/>	<input type="radio"/>	<input type="radio"/>	<input type="radio"/>
78	<input type="radio"/>	<input type="radio"/>	<input type="radio"/>	<input type="radio"/>
79	<input type="radio"/>	<input type="radio"/>	<input type="radio"/>	<input type="radio"/>
80	<input type="radio"/>	<input type="radio"/>	<input type="radio"/>	<input type="radio"/>
81	<input type="radio"/>	<input type="radio"/>	<input type="radio"/>	<input type="radio"/>
82	<input type="radio"/>	<input type="radio"/>	<input type="radio"/>	<input type="radio"/>
83	<input type="radio"/>	<input type="radio"/>	<input type="radio"/>	<input type="radio"/>
84	<input type="radio"/>	<input type="radio"/>	<input type="radio"/>	<input type="radio"/>
85	<input type="radio"/>	<input type="radio"/>	<input type="radio"/>	<input type="radio"/>
86	<input type="radio"/>	<input type="radio"/>	<input type="radio"/>	<input type="radio"/>
87	<input type="radio"/>	<input type="radio"/>	<input type="radio"/>	<input type="radio"/>
88	<input type="radio"/>	<input type="radio"/>	<input type="radio"/>	<input type="radio"/>
89	<input type="radio"/>	<input type="radio"/>	<input type="radio"/>	<input type="radio"/>
90	<input type="radio"/>	<input type="radio"/>	<input type="radio"/>	<input type="radio"/>
91	<input type="radio"/>	<input type="radio"/>	<input type="radio"/>	<input type="radio"/>
92	<input type="radio"/>	<input type="radio"/>	<input type="radio"/>	<input type="radio"/>
93	<input type="radio"/>	<input type="radio"/>	<input type="radio"/>	<input type="radio"/>
94	<input type="radio"/>	<input type="radio"/>	<input type="radio"/>	<input type="radio"/>
95	<input type="radio"/>	<input type="radio"/>	<input type="radio"/>	<input type="radio"/>
96	<input type="radio"/>	<input type="radio"/>	<input type="radio"/>	<input type="radio"/>
97	<input type="radio"/>	<input type="radio"/>	<input type="radio"/>	<input type="radio"/>
98	<input type="radio"/>	<input type="radio"/>	<input type="radio"/>	<input type="radio"/>
99	<input type="radio"/>	<input type="radio"/>	<input type="radio"/>	<input type="radio"/>
100	<input type="radio"/>	<input type="radio"/>	<input type="radio"/>	<input type="radio"/>

DO NOT FOLD OR DAMAGE EDGES

Signature of the Candidate

Εικόνα 5 OMR sheet

Η αναγνώριση οπτικών σηµαδιών σε µια φόρµα, όπως οι φόρµες απογράφης, παρέχεται ήδη από τα τέλη της δεκαετίας του 1980 από πολλές εταιρείες. Τα περισσότερα συστήµατα βασίζονται σε δυαδικές εικόνες, όπου γίνεται απαρίθµηση των πίξελ και υπάρχουν όρια ελαχίστης και µεγίστης τιµής. Τα πίξελ καταµετρώνται και εξαλείφονται τα ανεπιθύµητα σηµαδια, όπως αυτά που αφήνει µια λερωµένη σβήστρα, που όµως όταν θα µετατρέψουµε την εικόνα σε ασπρόµαυρη, θα αναγνωριστούν ως επιθυµητά σηµαδια. Έτσι, αυτή η µέθοδος µπορεί να δηµιουργήσει προβλήµατα, αν ο χρηστής αλλάξει γνώµη. Για το λόγο αυτό, πολλά προϊόντα λογισµικού άρχισαν να χρησιµοποιούν την κλίµακα του γκρι, ώστε να αναγνωρίζεται καλύτερα η πρόθεση του χρήστη.

Το OMR λογισµικό χρησιµοποιείται επίσης για την προσθήκη OMR σηµαδιών στην παραδοσιακή αλληλογραφία, ώστε να µπορούν αυτά να σαρωθούν από µηχανές αυτόµατης εισαγωγής σε φάκελο. Για παράδειγµα, το OMR λογισµικό Mail Markup, από την αγγλική Funasset Limited. Αυτό το λογισµικό επιτρέπει στον χρήστη να επιλέξει και να ρυθµίσει µια OMR ακολουθία, ώστε να προσθέσει OMR σηµαδια στην αλληλογραφία πριν την εκτύπωση.

3.1.5 Εφαρμογές

- Στην ακαδηµαϊκή ερευνά
- Σε κοινοτικές έρευνες
- Σε καταναλωτικές έρευνες
- Σε διαγωνίσµατα
- Στη συλλογή δεδοµένων
- Στην αξιολόγηση προϊόντων
- Σε φύλλα παρουσίας
- Στην απογραφή
- Σε έντυπα εγγραφής νέων µελών

3.1.6 Δυνατότητες/απαιτήσεις

Στο παρελθόν αλλά και στο παρόν, μερικά συστήματα OMR απαιτούν ειδικό χαρτί, ειδικό μελάνι και ειδικό αναγνώστη εισόδου (Bergeron & Bryan, 1998). Αυτό περιορίζει τους τύπους των ερωτήσεων που μπορούν να δημιουργηθούν και δεν επιτρέπει τη μεταβλητότητα των φορμών.

Η πρόοδος στην OMR επιτρέπει πλέον στους χρήστες να δημιουργούν και να εκτυπώνουν τις δικές τους φόρμες με τη χρήση ενός σαρωτή (κατά προτίμηση με τροφοδότη εγγράφων) για να διαβάζονται οι πληροφορίες (Bergeron & Bryan, 1998). Ο χρήστης έχει τη δυνατότητα να οργανώσει τις ερωτήσεις σε μορφή που να καλύπτει τις ανάγκες του, ενώ είναι σε θέση να εισάγει με ευκολία τα δεδομένα (LoPresti, Zvia Segal, & Zvia Segal, 1996).

Συστήματα OMR πλησιάζουν ακρίβεια 100% και χρειάζονται μόνο 0,005 δευτερόλεπτα κατά μέσον όρο για να αναγνωριστεί η φόρμα (Bergeron & Bryan, 1998). Οι χρήστες μπορούν να χρησιμοποιούν τετράγωνα, κύκλους, ελλείψεις και εξάγωνα για να σημειώνουν τις απαντήσεις. Το λογισμικό μπορεί στη συνέχεια να ρυθμιστεί, ώστε να αναγνωρίζει κύκλους(bubbles), x ή σημάδια ελέγχου.

Η OMR επίσης διατίθεται και για προσωπική χρήση. Υπάρχουν all-in-one εκτυπωτές στην αγορά, που επιτρέπουν στον χρήστη να εκτυπώσει τις φόρμες που θέλει. Μόλις η φόρμα συμπληρωθεί, ο χρήστης τοποθετεί το φύλλο στον σαρωτή για να σαρωθεί και να πάρει τα αποτελέσματα.

3.1.7 Μειονεκτήματα

Υπάρχουν, όμως, ορισμένα μειονεκτήματα και περιορισμοί στη χρήση της OMR. Αν ο χρήστης θέλει να συγκεντρώσει μεγάλες ποσότητες κειμένου, τότε η OMR δυσχεραίνει τη συλλογή των δεδομένων (Green & Phil, 2000). Υπάρχει, επίσης, η πιθανότητα ελλειπόντων στοιχείων, κατά τη διαδικασία σάρωσης, όπως και η πιθανότητα για εσφαλμένη αρίθμηση σελίδων, που μπορεί να οδηγήσει σε λάθος σειρά σάρωσης. Η έλλειψη δικλείδων ασφαλείας, θα μπορούσε να κάνει μια σελίδα να σαρωθεί ξανά, ενώ θα ήταν πιθανό να παραχθούν διπλότυπα δεδομένα, αλλά και να στρεβλωθούν αποτελέσματα (Bergeron & Bryan, 1998). Το αποτέλεσμα της ευρείας υιοθέτησης και χρήσης της OMR, είναι οι τυποποιημένες εξετάσεις να αποτελούνται κατά κύριο λόγο από ερωτήσεις πολλαπλής επιλογής, επειδή όμως αυτό αλλάζει τη φύση της, είναι υπό δοκιμή.

3.1.8 OMR Ανοιχτού λογισμικού

Εδώ παρουσιάζονται μερικά προϊόντα OMR λογισμικού που αναπτύχθηκαν και διανέμονται με την άδεια ανοιχτού λογισμικού.

- queXF which, το οποίο μπορεί να χρησιμοποιηθεί μόνο του ή σε συνδυασμό με το LimeSurvey.
- Udai OMR
- Shared Questionnaire System (SQS)
- Auto Multiple Choice for class tests, με μορφοποίηση LaTeX.[13]
- Moodle
- TCExam
- SDAPS για έρευνες, υποστηρίζει το LaTeX και ODT για μορφοποίηση εγγράφων.
- Smartshoot OMR, υποστηρίζει κάθε omr form, με opensource OCR engine.

3.2 QR code

Τα QR Codes (Εικόνα 6) είναι σύγχρονοι γραμμωτοί κώδικες δύο διαστάσεων (2D), ταχείας αποκωδικοποίησης (γνωστοί και ως matrix code) και αποτελούν μια σύγχρονη μετεξέλιξη των γνωστών σε όλους μας barcodes, μιας διάστασης, τα οποία εφηύρε το 1952, κατοχυρώνοντας την ευρεσιτεχνία, ο Αμερικάνος από το Atlantic City του New Jersey, Norman Joseph Woodland, μαζί με τον συνάδελφο του Bernard Silver και τα οποία χρησιμοποιούνται μέχρι και σήμερα στην τυποποίηση κυρίως των προϊόντων και πλέον τα συναντάμε παντού, συνήθως επάνω στις συσκευασίες προϊόντων. Κάθε μέρα σαρώνονται πάνω από 5 δισεκατομμύρια προϊόντα με τη βοήθεια των γραμμωτών κωδικών (Wikipedia QR code).



Εικόνα 6 Διάφορα QRcodes

Τα μονοδιάστατα barcodes δημιουργήθηκαν από την ανάγκη αποθήκευσης κάποιων πληροφοριών, που ήταν σχετικές με το προϊόν, την προέλευση και την συσκευασία του. Η σάρωση γίνεται μηχανικά με μια στενή δέσμη φωτός από τους σαρωτές barcode. Οι ανάγκες, όμως, για την αποθήκευση όλο και περισσότερων δεδομένων με την μορφή γραμμωτού κώδικα ολοένα και αυξάνονταν, προσπαθώντας να βρεθούν απλές λύσεις αποθήκευσης δεδομένων, αποφεύγοντας τα παραδοσιακά μέσα των μαγνητικών καρτών.

Αυτό είχε σαν αποτέλεσμα να οδηγήσουν στην επινόηση και δημιουργία, από την ιαπωνική εταιρεία Denso-Wave, θυγατρική της Toyota, ενός νέου γραμμωτού κώδικα και πρότυπου ISO, ο οποίος πλέον είναι διδιάστατος, για να έχει την δυνατότητα αποθήκευσης περισσότερων δεδομένων.

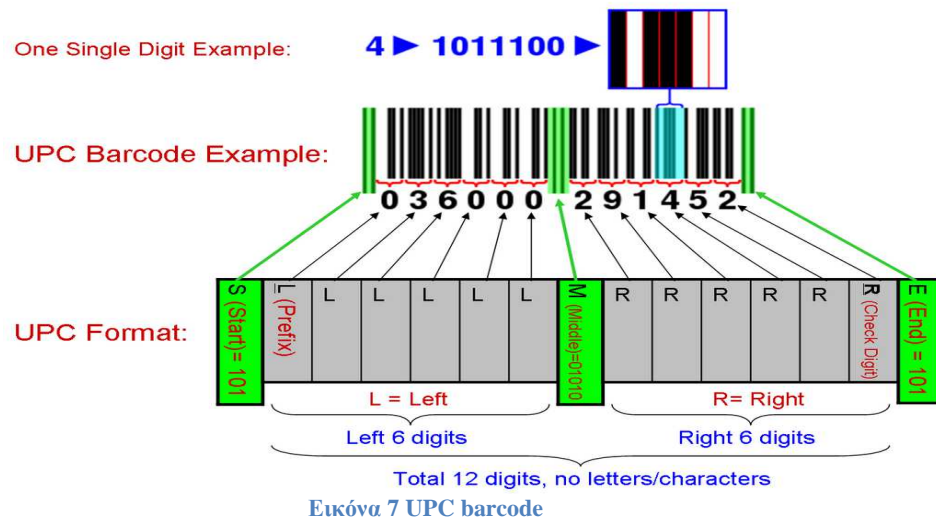
Αυτό το νέο είδος barcode, ονομάστηκε QR Code και προέρχεται από τα αρχικά των αγγλικών λέξεων "Quick Response", που σημαίνουν Γρήγορη Ανταπόκριση, διότι οι γιαπωνέζοι δημιουργοί του, είχαν σαν σκοπό την ταχύτερη αποκωδικοποίηση του πλήθους των πληροφοριών, μέσα από το σκανάρισμα αυτών των σχημάτων δύο διαστάσεων, με τη χρήση τεχνολογικού εξοπλισμού σκάνερ ή τη χρήση των κινητών τηλεφώνων, τύπου smartphones και με την εγκατάσταση ανάλογου λογισμικού. Αυτά έχουν την δυνατότητα να ανιχνεύουν την δύο διαστάσεων ψηφιακή εικόνα, από έναν αισθητήρα εικόνας CCD και στη συνέχεια αναλύονται ψηφιακά από τον επεξεργαστή.

3.2.1 Ιστορία

Στα πρώτα στάδια επινόησης και εφαρμογής (από το 1994), εφαρμόστηκαν αρχικά μόνον στη βιομηχανία κατασκευής αυτοκινήτων, για τον εντοπισμό των ανταλλακτικών σε διάφορα στάδια της παραγωγής, διότι η Denso-Wave, ειδική στις εφαρμογές barcode, η οποία και τα επινόησε, δούλευε για λογαριασμό της αυτοκινητοβιομηχανίας Toyota (Furht, 2011).

Σύντομα όμως η χρήση τους ξεπέρασε τις βιομηχανικές εφαρμογές και έγιναν δημοφιλή και σε άλλες εφαρμογές καθημερινής χρήσης, κατακτώντας τον χώρο της διαφήμισης και της τυποποίησης, προσφέροντας τεράστιες δυνατότητες πληροφόρησης στους καταναλωτές, λόγω της ταχύτητας ανάγνωσης του μεγάλου όγκου πληροφοριών σε σύγκριση με τα παλιά παραδοσιακά UPC barcodes (Εικόνα 7).

UPC Barcode Format



Ευρεία διάδοση και χρήση των QR Code έγινε αρχικά κυρίως στην Ιαπωνία και την Αμερική, αλλά τελευταία η χρήση τους διαδόθηκε παντού, με τις στατιστικές να δείχνουν ότι κατά τον μήνα Ιούνιο 2011, 14 εκατομμύρια χρήστες έχουν σκανάρει ένα QR Code ή ένα barcode. Ένα ποσοστό 58% από αυτούς τους χρήστες έχουν σκανάρει ένα QR ή bar code από το σπίτι τους, ενώ το 39% σκάνανε από καταστήματα λιανικής πώλησης. Το 53% από τα 14 εκατομμύρια χρηστών ήταν άνδρες, μεταξύ 18 και 34 ετών.

3.2.2 Πρότυπα

Υπάρχουν πολλά πρότυπα που καλύπτουν την κωδικοποίηση των δεδομένων QR codes:

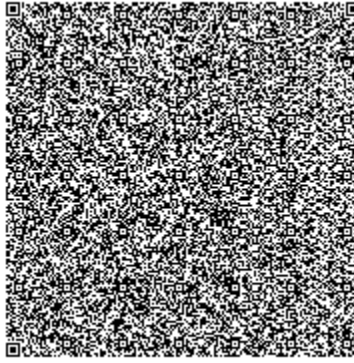
- Οκτώβριος 1997 – AIM (Association for Automatic Identification and Mobility)
- Ιανουάριος 1999 – JIS X 0510
- Ιούνιος 2000 – ISO/IEC 18004:2000)
- 1 Σεπτεμβρίου 2006 – ISO/IEC 18004:2006

3.2.3 Χωρητικότητα

Η ποσότητα των δεδομένων που μπορεί να αποθηκευτεί στο QR code εξαρτάται από τον τύπο δεδομένων (mode ή σύνολο χαρακτήρων εισόδου), έκδοση (1, ..., 40, αναφέροντας τις συνολικές διαστάσεις του συμβόλου) και από το επίπεδο διόρθωσης σφάλματος. Οι μέγιστες χωρητικότητες αποθήκευσης αφορούν τα σύμβολα 40-L (έκδοση 40, επίπεδο διόρθωσης σφάλματος L- Εικόνα 8):

Λειτουργία εισόδου	Μεγ. Αρ. χαρακτήρων	bits/char	Πιθανοί χαρακτήρες
Αριθμητικά μονο	7,089	3 $\frac{1}{3}$	0, 1, 2, 3, 4, 5, 6, 7, 8, 9
Αλφαριθμητικά	4,296	5 $\frac{1}{2}$	0–9, A–Z (upper-case only), space, \$, %, *, +, -, ., /,
Binary/byte	2,953	8	ISO 8859-1
Κανji/kana	1,817	13	Shift JIS X 0208

Πίνακας 1 Ποσότητα των δεδομένων που μπορεί να αποθηκευτεί στο QR code



Εικόνα 8 QRcode ver 40

3.2.3 Χρήση

Τα QR Codes βοηθούν στην ενημέρωση των καταναλωτών και αποτελούν την ιδανική γέφυρα διασύνδεσης μεταξύ των offline και online media. Μπορούν να προστεθούν σε οποιαδήποτε έντυπη διαφήμιση, φυλλάδια, αφίσες, προσκλητήρια, τηλεοπτικές διαφημίσεις, πινακίδες, μπλουζάκια t-shirts, κούπες, οχήματα κλπ και μπορούν να περιέχουν:

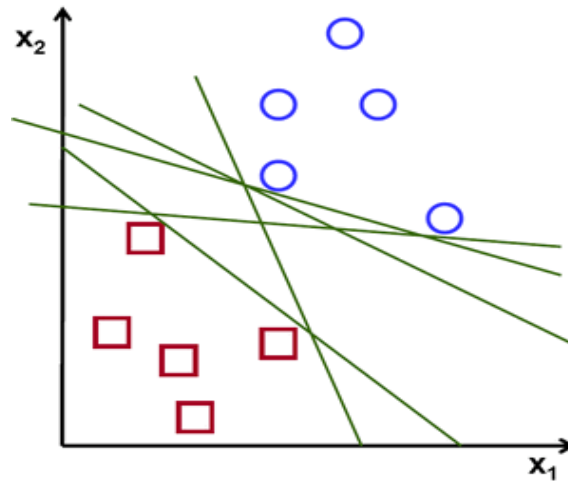
- Λεπτομέρειες για το προϊόν
- Στοιχεία επικοινωνίας (vCard)
- Λεπτομέρειες προσφοράς
- Λεπτομέρειες για ένα γεγονός
- Στοιχεία ανταγωνισμού
- Εκπωτικό κουπόνι
- Ταυτότητες Twitter, Facebook, MySpace
- Ένα σύνδεσμο για το YouTube
- Επαγγελματικές κάρτες
- Μηνύματα ηλεκτρονικού ταχυδρομείου
- Μηνύματα SMS
- Χάρτες
- Κείμενο ή σύνδεσμο (Url)

3.3 Support vectors machines

3.3.1 Εισαγωγή

Οι μηχανές διανυσμάτων υποστήριξης (Support Vector Machines, SVM), αποτελούν έναν αλγόριθμο ταξινόμησης προτύπων, ο οποίος βασίζεται στη στατιστική Θεωρία μάθησης και αναπτύχθηκε από τον Vapnik. Για την ταξινόμηση, οι μηχανές διανυσμάτων υποστήριξης αναζητούν ένα υπερεπίπεδο (hyperplane) στον χώρο των πιθανών εισόδων. Αυτό το υπερεπίπεδο δημιουργείται ώστε να διαχωρίσει τα θετικά παραδείγματα από τα αρνητικά, επιδιώκοντας την μέγιστη απόσταση από το κοντινότερο θετικό και αρνητικό παράδειγμα, όπως παρουσιάζεται στην (Εικόνα 9).

Έτσι, μπορεί κανείς να διαπιστώσει ότι υπάρχει μεγάλο πλήθος υπερεπιπέδων που μπορούν να διαχωρίσουν τα θετικά παραδείγματα από τα αρνητικά. Αυτό, βέβαια, αντιμετωπίζεται με το γεγονός ότι επιλέγεται τελικά εκείνο το υπερεπίπεδο α_i που έχει το μέγιστο περιθώριο μεταξύ του κοντινότερου θετικού και αρνητικού παραδείγματος (Εικόνα 9) (Corinna & Vapnik, 1995).



Εικόνα 9 Διαχωριστικά υπερεπίπεδα για το SVM

3.3.2 Γραμμικές μηχανές διανυσμάτων υποστήριξης (SVM)

Για δεδομένα εκπαίδευσης \mathcal{D} , (Εικόνα 10) ένα σύνολο από n σημεία της μορφής

$$\mathcal{D} = \{(\mathbf{x}_i, y_i) \mid \mathbf{x}_i \in \mathbb{R}^p, y_i \in \{-1, 1\}\}_{i=1}^n$$

όπου y_i είναι είτε 1 ή -1 , που υποδεικνύει την κατηγορία στην οποία ανήκει το σημείο \mathbf{x}_i . Κάθε \mathbf{x}_i είναι ένα p -διάστατο, πραγματικό διάνυσμα. Θέλουμε να βρούμε το μέγιστο περιθώριο του υπερεπίπεδου που χωρίζει τα σημεία που έχουν $y_i = 1$ από εκείνα που έχουν $y_i = -1$. Κάθε υπερεπίπεδο μπορεί να γραφτεί ως το σύνολο των σημείων \mathbf{x} που ικανοποιεί την

$$\mathbf{w} \cdot \mathbf{x} - b = 0,$$

όπου \cdot υποδηλώνει το εσωτερικό γινόμενο και το \mathbf{w} (δεν είναι απαραίτητο να είναι κανονικοποιημένο) κανονικό διάνυσμα στο υπερεπίπεδο. Η παράμετρος $\frac{b}{\|\mathbf{w}\|}$ καθορίζει τη μετατόπιση του υπερεπίπεδου από την αρχή κατά μήκος του κανονικού διανύσματος \mathbf{w} .

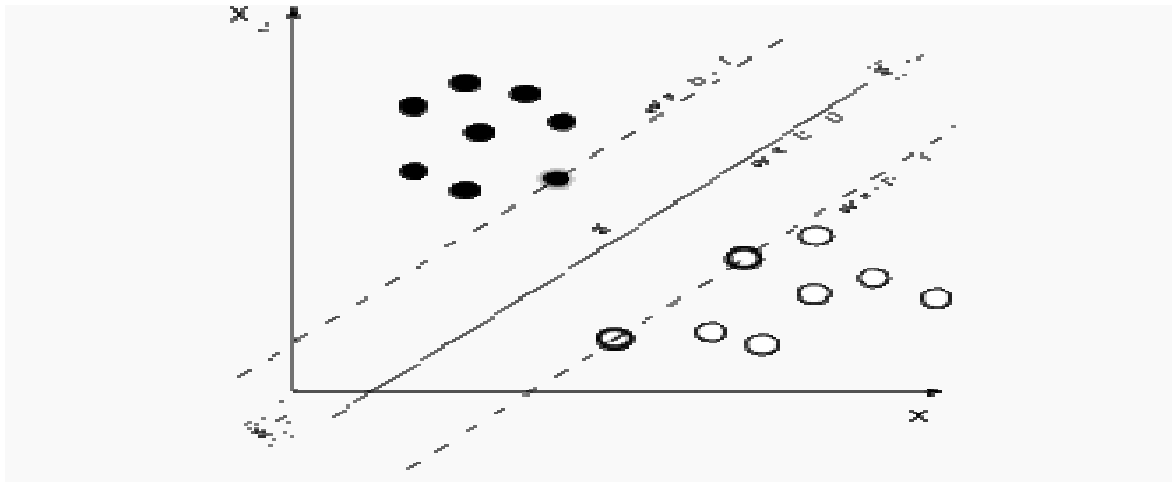
Εάν τα δεδομένα εκπαίδευσης είναι γραμμικά διαχωρίσιμα, μπορούμε να επιλέξουμε δύο υπερεπίπεδα με τέτοιο τρόπο, ώστε ο διαχωρισμός των δεδομένων να γίνεται χωρίς να υπάρχουν σημεία μεταξύ τους και στη συνέχεια να προσπαθούν να μεγιστοποιήσουν την απόστασή τους. Η περιοχή που περικλείεται από αυτά ονομάζεται 'περιθώριο'. Αυτά τα υπερεπίπεδα μπορεί να περιγραφούν από τις εξισώσεις

$$\mathbf{w} \cdot \mathbf{x} - b = 1$$

και

$$\mathbf{w} \cdot \mathbf{x} - b = -1.$$

Με τη χρήση γεωμετρίας, βρίσκουμε την απόσταση μεταξύ αυτών των δύο υπερεπιπέδων $\frac{2}{\|\mathbf{w}\|}$, έτσι θέλουμε να ελαχιστοποιήσουμε $\|\mathbf{w}\|$, για να αποτρέψουμε τα σημεία να πέσουν στο περιθώριο, προσθέτουμε, λοιπόν, τον ακόλουθο περιορισμό: για κάθε i είτε



Εικόνα 10 Μέγιστο περιθώριο υπερεπίπεδου και περιθώρια για ένα εκπαιδευμένο SVM με δείγματα από δύο κατηγορίες. Τα δείγματα στο περιθώριο ονομάζονται διανύσματα υποστήριξης.

$$\mathbf{w} \cdot \mathbf{x}_i - b \geq 1 \quad \text{for } \mathbf{x}_i \text{ για την πρώτη κλάση}$$

ή

$$\mathbf{w} \cdot \mathbf{x}_i - b \leq -1 \quad \text{for } \mathbf{x}_i \text{ για την δεύτερη κλάση.}$$

Αυτό μπορεί να γραφεί ως:

$$y_i(\mathbf{w} \cdot \mathbf{x}_i - b) \geq 1, \quad \text{for all } 1 \leq i \leq n. \quad (1)$$

Μπορούμε να τα βάλουμε όλα αυτά μαζί για να πάρει το πρόβλημα βελτιστοποίησης:

Minimize (in \mathbf{w}, b)

$$\|\mathbf{w}\|$$

υπόκεινται σε (για κάθε $i = 1, \dots, n$)

$$y_i(\mathbf{w} \cdot \mathbf{x}_i - b) \geq 1. \text{ (Corinna \& Vapnik, 1995)}$$

4. Εργαλεία

4.1 OpenCv

4.1.1 Εισαγωγή στην OpenCv

Η OpenCv είναι μια βιβλιοθήκη μηχανικής όρασης (computer vision), ανοικτού λογισμικού που αναπτύχθηκε αρχικά από την Intel και είναι ελεύθερη για εμπορική και ερευνητική χρήση υπό την άδεια ανοικτού λογισμικού BSD. Αυτό σημαίνει ότι μπορεί να γίνει ελεύθερη χρήση ολόκληρης ή μέρους της βιβλιοθήκης για την ανάπτυξη ενός εμπορικού ή ερευνητικού προϊόντος από τον οποιοδήποτε.

Η βιβλιοθήκη είναι ανεξάρτητη πλατφόρμας και είναι γραμμένη σε optimized C. Αποτελείται από περισσότερες από 500 συναρτήσεις σε C και διάφορες κλάσεις σε C++. Έχει σχεδιαστεί με στόχο την αποτελεσματική εκμετάλλευση των υπολογιστικών πόρων και με έμφαση στις εφαρμογές πραγματικού χρόνου. Η Intel έχει, επίσης, αναπτύξει ένα σύνολο ρουτινών χαμηλού προγραμματιστικού επιπέδου, το Integrated Performance Primitives(IPP), το οποίο χρησιμοποιείται σε πολλές αλγοριθμικές περιοχές και αν είναι εγκατεστημένο, η OpenCv θα το χρησιμοποιήσει για να επιταχύνει τα προγράμματα που τη χρησιμοποιούν. Πρέπει να σημειωθεί ότι αυτό το σύνολο ρουτινών δεν είναι απαραίτητο για τη χρήση της OpenCv.

4.1.2 Διαθέσιμες εκδόσεις

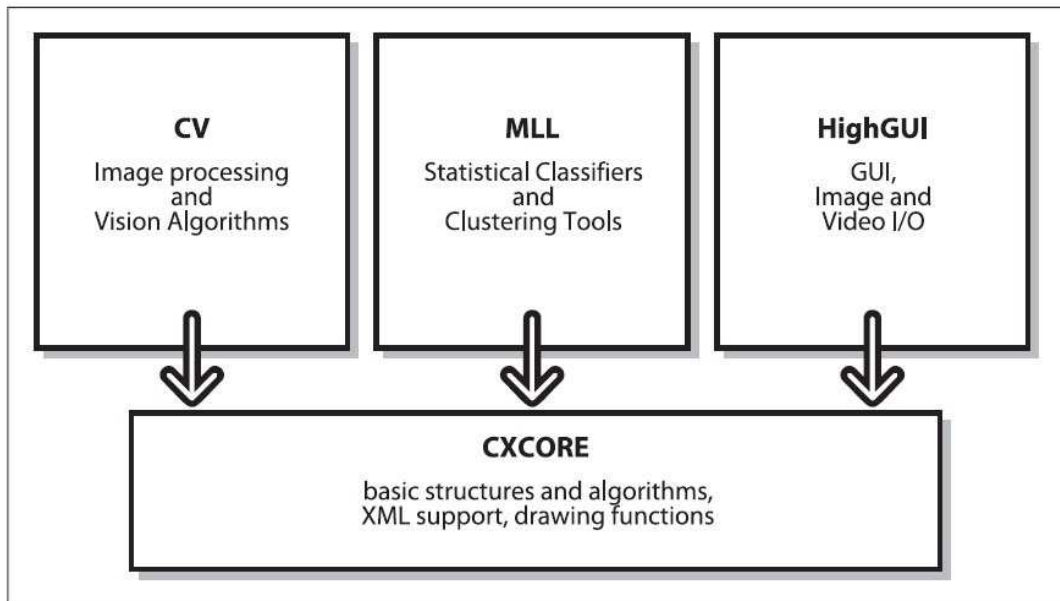
Η OpenCv είναι διαθέσιμη σε Linux, Mac OS και Windows. Η τελευταία της έκδοση, 2.4.9, μπορεί να βρεθεί στο Sourceforge. Η πρώτη έκδοση ανακοινώθηκε το 2000 στο συνέδριο Computer Vision and Pattern Recognition και από τότε ενημερώνεται συνεχώς.

4.1.3 Τα δομικά στοιχεία της OpenCv

Η OpenCv περιέχει πάνω από 500 συναρτήσεις, κατάλληλες για πολλές διαφορετικές εφαρμογές στους τομείς της οπτικής επεξεργασίας, όπως για ιατρικές εφαρμογές που αφορούν εικόνα και βίντεο, κλειστό κύκλωμα παρακολούθησης, ασφάλεια, ρομποτική, ρύθμιση κάμερας, διεπαφή χρήστη και υπολογιστή.

Επειδή υπάρχει ισχυρή συσχέτιση μεταξύ μηχανικής όρασης και μηχανικής εκμάθησης, η OpenCv περιέχει και μια βιβλιοθήκη μηχανικής εκμάθησης γενικού σκοπού (MLL - Machine Learning Library). Αυτή η ειδική βιβλιοθήκη εστιάζει στην αναγνώριση προτύπων με στατιστικές μεθόδους και στην ομαδοποίηση. Χρησιμοποιείται σε οποιοδήποτε πρόβλημα μηχανικής όρασης, λόγω της γενικής μορφής της.

Η OpenCv δομείται κυρίως από 5 συστατικά μέρη, 4 από τα οποία παρουσιάζονται στην (Εικόνα 11). Το πρώτο στο σχήμα με την ονομασία CV, αναπαριστά τους βασικούς αλγορίθμους για επεξεργασία εικόνας, αλλά και τους υψηλού επιπέδου για τη μηχανική όραση. Το δεύτερο, ML, αναπαριστά τη βιβλιοθήκη μηχανικής μάθησης, που περιλαμβάνει εργαλεία για ομαδοποίηση και στατιστική ταξινόμηση. Το τρίτο, HighGUI, αναπαριστά τις ρουτίνες εισόδου-εξόδου, τις συναρτήσεις για την προβολή και την αποθήκευση των βίντεο και γενικά ό,τι έχει να κάνει με τη διεπαφή χρήστη-εφαρμογής. Τέλος, το CxCore περιέχει τις βασικές δομές δεδομένων, όπως το IplImage, τη βασική δομή στην OpenCv που περιγράφει με λεπτομέρεια το κάθε καρέ προς επεξεργασία. Το τελευταίο δομικό μέρος της OpenCv είναι το CvAux, που περιέχει αλγορίθμους που δεν χρησιμοποιούνται πολύ, γιατί είναι σε πειραματικό στάδιο ή που έχουν απλά εγκαταλειφθεί.



Εικόνα 11 Τα συστατικά μέρη της OpenCv

4.1.4 Τα πλεονεκτήματα της OpenCv

Το βασικότερο πλεονέκτημα της OpenCv είναι η ταχύτητα. Αυτός είναι και ο βασικός λόγος που δημιουργήθηκε εξ αρχής, καθώς η Intel ήθελε να δείξει πόσο προχωρημένοι ήταν οι επεξεργαστές της, που μπορούσαν να επεξεργάζονται βίντεο σε πραγματικό χρόνο.

Το δεύτερο είναι ότι ενώ είναι ελεύθερο λογισμικό, υποστηρίζεται από εταιρίες όπως η Intel και η IBM, πανεπιστήμια όπως το Stanford, το MIT και πλήθος άλλων οργανισμών και εργαστηρίων που βοηθούν συνεχώς στην ανάπτυξή της.

Ένα άλλο πλεονέκτημα είναι ότι δεν απαιτεί περίπλοκα μηχανήματα και εξοπλισμούς, αφού και η πιο απλή webcam, είναι αρκετή για είσοδο εικόνας και ο πιο απλός προσωπικός υπολογιστής, είναι ικανός για την επεξεργασία της.

4.1.5 Εφαρμογές της OpenCv

Οι επιστήμονες και οι ακαδημαϊκοί, που ασχολούνται με τη μηχανική όραση, γνωρίζουν πραγματικά τις δυνατότητες της και το ευρύ φάσμα στο οποίο χρησιμοποιείται. Οι περισσότεροι γνωρίζουν κάποια από τα πλεονεκτήματα της μηχανικής όρασης και λίγες εφαρμογές της. Οι πιο γνωστές εφαρμογές της είναι στα συστήματα παρακολούθησης, σε εικόνες και βίντεο στο διαδίκτυο.

Η πραγματική δύναμή της φαίνεται σε περιοχές που δεν είναι ευρέως γνωστό ότι χρησιμοποιείται, όπως σε διεπαφές παιχνιδιών και σε άλλες εντυπωσιακές, όπως στους περισσότερους εναέριους χάρτες και χάρτες δρόμων (όπως στο Google Street View), όπου χρησιμοποιούν κατά κόρον τεχνικές συγκόλλησης εικόνων, ευθυγράμμισης και διόρθωσης της εικόνας από παραμορφώσεις που εισάγει ο φακός. Άλλες χρήσεις της είναι σε μη-επανδρωμένα οχήματα (γενικά στη ρομποτική) ή βιοϊατρικές αναλύσεις.

Ένας σημαντικός κλάδος στον οποίο κερδίζει έδαφος, είναι η βιομηχανία. Σχεδόν όλα τα προϊόντα που παράγονται μαζικά, έχουν επιθεωρηθεί σε κάποιο στάδιο της παραγωγής από συστήματα μηχανικής όρασης. Από την πρώτη της έκδοση, τον Ιανουάριο του 1999, η OpenCv έχει χρησιμοποιηθεί σε πολλές εφαρμογές, προϊόντα και ερευνητικές μελέτες.

Αυτές οι εφαρμογές περιλαμβάνουν τον συγκερασμό εικόνων σε δορυφορικούς και διαδικτυακούς χάρτες, τη μείωση του θορύβου σε ιατρικές εικόνες, τα αυτόματα συστήματα ελέγχου και ασφαλείας, στρατιωτικές εφαρμογές και μη-επανδρωμένα οχήματα (εναέρια, υποβρύχια, επίγεια). Έχει χρησιμοποιηθεί, ακόμα, σε αναγνώριση ήχου και μουσικής.

Η OpenCv ήταν ένα βασικό συστατικό του συστήματος όρασης του ρομπότ από το πανεπιστήμιο Stanford, του "Stanley", το οποίο κέρδισε τον DARPA Grand Challenge, αγώνα δρόμου ρομπότ στην έρημο.

4.1.6 Συναρτήσεις και δομές της OpenCv που χρησιμοποιήσα

Δομές της OpenCV :

- **Mat** : Η κλάση Mat αντιπροσωπεύει ένα n-διαστατό πυκνό αριθμητικό μονού καναλιού ή πολυκάναλου πίνακα. Μπορεί να χρησιμοποιηθεί για την αποθήκευση πραγματικών ή μιγαδικών διανυσμάτων και πινάκων, σε κλίμακα του γκρι ή έγχρωμες εικόνες, τρισδιάστατους όγκους, διανυσματικά πεδία, σμήνη σημείων, τανύστες και ιστογράμματα.
- **Point_** : Πρότυπη κλάση για δισδιάστατα σημεία που καθορίζονται από τις συντεταγμένες x και y της. Ένα στιγμιότυπο της κλάσης είναι συμβατό με δομές της C, CvPoint και CvPoint2D32f. Υπάρχει επίσης ένας τελεστής Cast για την μετατροπή από συντεταγμένες τύπου point, σε έναν καθορισμένο τύπο. Η μετατροπή από συντεταγμένες κινητής υποδιαστολής σε ακέραιες συντεταγμένες, γίνεται με στρογγυλοποίηση.
- **Size_** : Η πρότυπη κλάση Size χρησιμοποιείται για τον καθορισμό μιας εικόνας η ενός ορθογωνίου. Η κλάση περιλαμβάνει δύο μέλη, τα ποια ονομάζονται πλάτος (width) και ύψος (height). Αυτή η δομή μπορεί να μετατραπεί και σε παλιές δομές της OpenCV, όπως CvSize και CvSize2D32f. Το ίδιο σετ από αριθμητικούς και συγκριτικούς τελεστές είναι διαθέσιμο και για την Point_.
- **Rect_** : Πρότυπη κλάση για δισδιάστατα ορθογώνια, περιγράφεται από τις παρακάτω παραμέτρους:
 - Συντεταγμένες της πάνω αριστερής γωνίας tl(). Με προκαθορισμένους παραμέτρους Rect_::x και Rect_::y στην OpenCV. Αν και σε αλγόριθμους, υπάρχει η δυνατότητα χρήσης των x και y συντεταγμένων της κάτω δεξιάς γωνίας br().
 - Ορθογώνιο(Rectangle) με πλάτος(width) και ύψος (height).

Η OpenCV υποθέτει ότι το πάνω αριστερό όριο του ορθογωνίου, περιλαμβάνεται ενώ το κάτω αριστερό όχι. Για παράδειγμα η μέθοδος Rect_::contains επιστέφει αληθές(true) αν

$x \leq pt.x < x + width, y \leq pt.y < y + height$

- **RotatedRect** : Η κλάση αντιπροσωπεύει περιστρεφόμενα ορθογώνια σε ένα επίπεδο. Κάθε ορθογώνιο προσδιορίζεται από ένα κεντρικό σημείο, το μήκος της κάθε πλευράς και τη γωνία περιστροφής σε μοίρες.

C++: RotatedRect::RotatedRect()

C++: RotatedRect::RotatedRect(const Point2f¢er,constSize2f& size,float angle)

C++: RotatedRect::RotatedRect(const CvBox2D& box)

C++: void RotatedRect::points(Point2f pts[]) const

C++: Rect RotatedRect::boundingRect() const

C++: RotatedRect::operator CvBox2D() const

- **Scalar_** Πρότυπη κλάση για 4-στοιχεία διάνυσμα, η οποία προέρχεται από το `Vec<_Tp, 4>`, `Scalar_` και `Scalar` μπορεί να χρησιμοποιηθεί ως τυπικό 4-στοιχεία διάνυσμα. Επιπλέον, μπορούν να μετατραπούν σε / από `CvScalar`. Ο τύπος `Scalar` χρησιμοποιείται ευρέως στην `OpenCV` για να περάσει τιμές εικονοστοιχείων.
- **CvSVMParams** Η δομή πρέπει να αρχικοποιηθεί και να περάσει στην μέθοδο εκπαίδευσης της `CvSVM`.

Ο κατασκευαστής.

- **C++:** `CvSVMParams::CvSVMParams()`
- **C++:** `CvSVMParams::CvSVMParams(int svm_type, int kernel_type, double degree, double gamma, double coef0, double Cvalue, double nu, double p, CvMat* class_weights, CvTermCriteria term_crit)`

Παράμετροι: `svm_type` –

Τύποι παραμέτρων SVM:

- **CvSVM::C_SVC** C-support ταξινόμηση διανυσμάτων. n-class ταξινόμηση ($n \geq 2$) επιτρέπει τον ατελή διαχωρισμό των κατηγοριών με ποινή πολλαπλασιαστική C για ακραίες τιμές.
- **CvSVM::NU_SVC** V-Support ταξινόμηση διανυσμάτων. n-κλάση ταξινόμησης με πιθανή ατελή διαχωρισμό. Παράμετρος (με εύρος 0 .. 1, όσο μεγαλύτερη είναι η τιμή, τόσο πιο ομαλό το όριο αποφάσεως) χρησιμοποιείται αντί του C.

Τύποι SVM πυρήνα: `kernel_type` –

- **CvSVM::LINEAR** Γραμμικός πυρήνας.

$$K(x_i, x_j) = x_i^T x_j$$

- **CvSVM::POLY** Πολυωνυμικός πυρήνας:

$$K(x_i, x_j) = (\gamma x_i^T x_j + \text{coef0})^{\text{degree}}, \gamma > 0$$

- **CvSVM::RBF** Συνάρτηση ακτινικής βάσης(RBF)

$$K(x_i, x_j) = e^{-\gamma \|x_i - x_j\|^2}, \gamma > 0$$

- **CvSVM::SIGMOID** Σιγμοειδής πυρήνας:

$$K(x_i, x_j) = \tanh(\gamma x_i^T x_j + \text{coef0})$$

- **CvSVM::train** Εκπαιδεύει ένα SVM:

- **C++:** `bool CvSVM::train(const Mat& trainData, const Mat& responses, const Mat& varIdx=Mat(), const Mat& sampleIdx=Mat(), CvSVMParams params=CvSVMParams())`
- **C++:** `bool CvSVM::train(const CvMat* trainData, const CvMat* responses, const CvMat* varIdx=0, const CvMat* sampleIdx=0, CvSVMParams params=CvSVMParams())`

Συναρτήσεις της OpenCV που χρησιμοποιήσα:

- **Rectangle** : Η συνάρτηση `Rectangle` σχεδιάζει ένα ορθογώνιο περίγραμμα ή ένα γεμάτο ορθογώνιο του οποίου οι δυο απέναντι γωνίες είναι `pt1` και `pt2`, ή `r.tl ()` και `r.br ()`-Point (1,1).
- **Threshold** : Η συνάρτηση εφαρμόζει σταθερού επιπέδου κατωφλίωση σε μονοκάναλη εικόνα. Η συνάρτηση χρησιμοποιείται για την μετατροπή μιας εικόνας σε δυαδική από κλίμακα του γκρι ή για την αφαίρεση θορύβου, δηλαδή, φιλτράρονται και απορρίπτονται πολύ μικρές ή πολύ μεγάλες τιμές των εικονοστοιχείων. Υπάρχουν πολύ τύποι κατωφλίωσης (Εικόνα 12) που υποστηρίζονται από τη συνάρτηση όπως φαίνεται παρακάτω:

▪ **THRESH_BINARY**

$$dst(x,y) = \begin{cases} maxval & \text{if } src > thresh \\ 0 & \text{otherwise} \end{cases}$$

▪ **THRESH_BINARY_INV**

$$dst(x,y) = \begin{cases} 0 & \text{if } src > thresh \\ maxval & \text{otherwise} \end{cases}$$

▪ **THRESH_TRUNC**

$$dst(x,y) = \begin{cases} threshold & \text{if } src > thresh \\ src(x,y) & \text{otherwise} \end{cases}$$

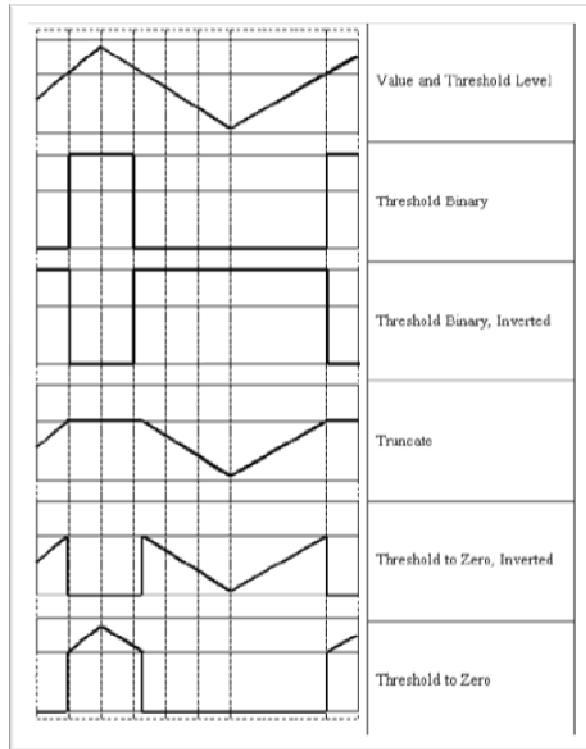
▪ **THRESH_TOZERO**

$$dst(x,y) = \begin{cases} src(x,y) & \text{if } src > thresh \\ 0 & \text{otherwise} \end{cases}$$

▪ **THRESH_TOZERO_INV**

$$dst(x,y) = \begin{cases} 0 & \text{if } src > thresh \\ src(x,y) & \text{otherwise} \end{cases}$$

Επίσης ειδική τιμή THRESH_OTSU μπορεί να συνδυαστεί με μια από τις παραπάνω τιμές. Σε αυτήν την περίπτωση, η λειτουργία καθορίζει τη βέλτιστη τιμή κατωφλίου χρησιμοποιώντας τον αλγόριθμο του Otsu και χρησιμοποιείται αντί για καθορισμένη τιμή κατωφλίου. Η συνάρτηση επιστρέφει την υπολογισμένη τιμή κατωφλίου. Επί του παρόντος, η μέθοδος Otsu εφαρμόζεται μόνο για εικόνες 8-bit.



Εικόνα 12 Επιλογές κατωφλίωσης

- **Resize :** Η συνάρτηση resize αλλάζει το μέγεθος μιας εικόνας μικραίνοντας ή μεγαλώνοντας τις διαστάσεις ανάλογα με το καθορισμένο μέγεθος.
- **cvtColor :** Η συνάρτηση μετατρέπει μια εικόνα εισόδου από έναν χρωματικό χώρο σε έναν άλλο. Σε περίπτωση μετατροπής από ή σε RGB χρωματικό χώρο, η σειρά των καναλιών θα πρέπει να προσδιορίζεται ρητά (RGB ή BGR). Σημειώστε ότι η προεπιλεγμένη μορφή για το χρώμα στο OpenCV συχνά αναφέρεται ως RGB, αλλά στην πραγματικότητα είναι BGR (τα bytes αντιστρέφονται). Έτσι, το πρώτο byte σε μια (24-bit) έγχρωμη εικόνα θα είναι το πρώτο byte 8-bit μπλε, το δεύτερο byte θα είναι πράσινο, και το τρίτο byte θα είναι κόκκινο.

0 to 255 for CV_8U images
 0 to 65535 for CV_16U images
 0 to 1.0 for CV_32F images

- **warpAffine :** Εφαρμόζει τον affine μετασχηματισμό σε μια εικόνα.

4.2 Zbar

4.2.1 Εισαγωγή στην Zbar

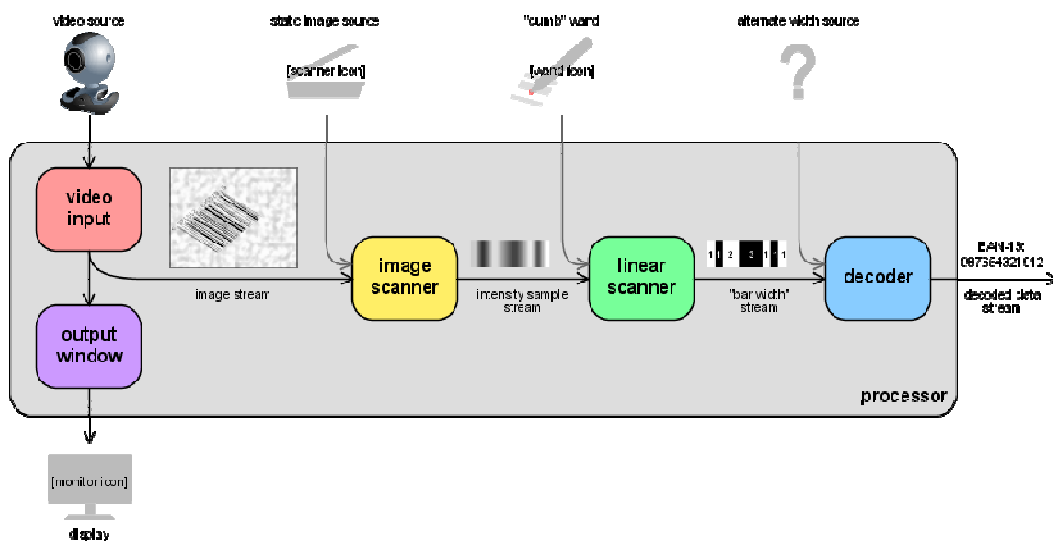
Η Zbar είναι μια σουίτα λογισμικού ανοιχτού κώδικα για την ανάγνωση barcode από διάφορες πηγές όπως ροές βίντεο, αρχεία εικόνας και ειδικούς αισθητήρες έντασης φωτός. Υποστηρίζει πολλούς δημοφιλείς τύπους bar code συμπεριλαμβανομένων των EAN-13/UPC-A, UPC-E, EAN-8, Code 128, Code 39, Interleaved 2 of 5 και QR Code. Η ευέλικτη, πολυεπίπεδη εφαρμογή διευκολύνει την ανάγνωση και αποκωδικοποίηση bar code για κάθε εφαρμογή. Η Zbar είναι υπό την GNU LGPL 2.1 άδεια, για να καταστεί δυνατή η ανάπτυξη ανοιχτού λογισμικού αλλά και εμπορικών εφαρμογών.

4.2.2 Τρόπος λειτουργίας της Zbar

Η βιβλιοθήκη Zbar χρησιμοποιεί μια προσέγγιση πιο κοντά σε αυτή που χρησιμοποιείται σε σαρωτές τύπου ράβδος και λέιζερ. Τα γραμμικά(1D) bar codes σχεδιαστήκαν για να αποκωδικοποιούνται από έναν απλό αισθητήρα που περνά πάνω από τις φωτεινές και σκοτεινές περιοχές του bar code.

Αξιοποιώντας αυτό, η υλοποίηση της Zbar κάνει γραμμική σάρωση πάνω από μια εικόνα, αντιμετωπίζοντας κάθε εικονοστοιχείο, ως δείγμα από έναν ενιαίο αισθητήρα φωτός. Τα δεδομένα σαρώνονται, αποκωδικοποιούνται και συναρμολογούνται αμέσως. Παίρνοντας ως σημείο έμπνευσης μοντέρνα παραδείγματα επεξεργασίας, η Zbar μεταφέρει την ιδέα αυτή σε ένα πολυεπίπεδο μοντέλο συνεχούς ροής.

Η επεξεργασία διαχωρίζεται σε ανεξάρτητα επίπεδα με σαφώς καθορισμένες διασυνδέσεις, οι οποίες μπορούν να χρησιμοποιηθούν μαζί ή ξεχωριστά να συνδεθούν σε ένα οπουδήποτε σύστημα. Μια υψηλού επιπέδου περιγραφή από τα modules φαίνεται στην παρακάτω εικόνα (Εικόνα 13).



Εικόνα 13 Υψηλού επιπέδου περιγραφή από τα modules

4.2.3 Χαρακτηριστικά της Zbar

- Υποστηρίζει πολλές πλατφόρμες Linux/Unix, Windows, iPhone®, embedded...
- Υψηλή ταχύτητα - σάρωση σε πραγματικό χρόνο από ροές βίντεο.
- Μικρό ίχνος μνήμης.
- Μικρό μέγεθος κώδικα - ο πυρήνας του σαρωτή και αποκωδικοποιητή EAN είναι κάτω από 1K γραμμές σε κώδικα C.
- Δεν περιορίζεται σε εικόνες.
- Κατάλληλο για ενσωματωμένες εφαρμογές που χρησιμοποιούν χαμηλού κόστους υλικό.
- Αρθρωτά στοιχεία μπορούν να χρησιμοποιηθούν μαζί ή χωριστά

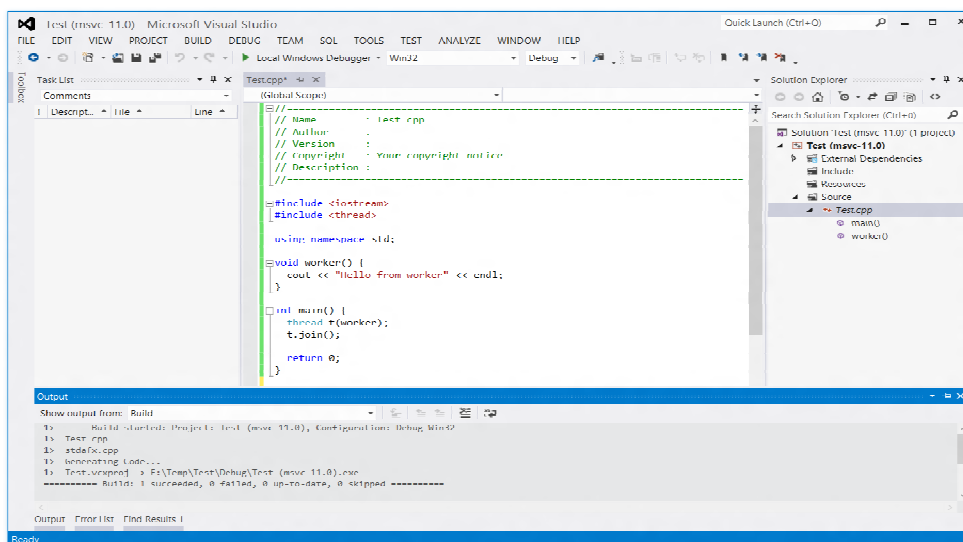
4.3 Microsoft visual studio 2012

4.3.1 Εισαγωγή στο visual studio 2012

Το Visual Studio 2012 (Εικόνα 14), είναι ένα εύχρηστο περιβάλλον ανάπτυξης εφαρμογών, που αναπτύχθηκε από την εταιρεία Microsoft Corporation. Υποστηρίζει την ανάπτυξη προγραμμάτων σε κονσόλα, οπτικές εφαρμογές, ιστοσελίδες, υπηρεσίες WEB και άλλα.

Το περιβάλλον ανάπτυξης Visual Studio 2012, βοηθά τον προγραμματιστή να αναπτύξει τα προγράμματά του με σχετική ευκολία, καθώς η τεχνολογία Microsoft IntelliSense βοηθά τον προγραμματιστή να κατανοήσει με ευκολία πιθανά λάθη του κώδικά του, υπογραμμίζοντας τα με κόκκινη γραμμή δυναμικά κατά το χρόνο συγγραφής του προγράμματος.

Αυτή η τεχνολογία είναι ικανή να εντοπίσει λάθη τα οποία μπορεί να είναι είτε συντακτικά, όπως για παράδειγμα η χρήση μιας εντολής με εσφαλμένο τρόπο, είτε λογικά, όπως για παράδειγμα η δήλωση ενός αντικειμένου χωρίς αυτό να χρησιμοποιείται. Το Visual Studio 2010 υποστηρίζει την ανάπτυξη προγραμμάτων στις C++, C#, Visual Basic, F# και τη μεταφορά προγραμμάτων από τη μία γλώσσα στην άλλη. Με άλλα λόγια συγγράφει ένα πρόγραμμα σε γλώσσα C++ μπορεί απλά και εύκολα να μετατραπεί αυτόματα σε κάποια εκ των γλωσσών που υποστηρίζει το Visual Studio.



Εικόνα 14 Visual Studio 2012 SDK

4.3.1 Εκδόσεις του visual studio

Product name	Codename	Internal version	Supported .NET Framework versions	Release date
Visual Studio	N/A	4.0	N/A	April 1995
Visual Studio 97	<i>Boston</i>	5.0	N/A	February 1997
Visual Studio 6.0	<i>Aspen</i>	6.0	N/A	June 1998
Visual Studio .NET (2002)	<i>Rainier</i>	7.0	1.0	February 13, 2002
Visual Studio .NET 2003	<i>Everett</i>	7.1	1.1	April 24, 2003
Visual Studio 2005	<i>Whidbey</i>	8.0	2.0, 3.0	November 7, 2005
Visual Studio 2008	<i>Orcas</i>	9.0	2.0, 3.0, 3.5	November 19, 2007
Visual Studio 2010	<i>Dev10/Rosario</i>	10.0	2.0, 3.0, 3.5, 4.0	April 12, 2010
Visual Studio 2012	<i>Dev11</i>	11.0	2.0, 3.0, 3.5, 4.0, 4.5	September 12, 2012
Visual Studio 2013	<i>Dev12</i>	12.0	2.0, 3.0, 3.5, 4.0, 4.5, 4.5.1	October 17, 2013

Πίνακας 2 Εκδόσεις του visual studio

4.4 Η βιβλιοθήκη dirent.h

Η Diredt είναι μια διεπαφή προγραμματισμού εφαρμογών (API) που επιτρέπει στους προγραμματιστές να απαριθμήσουν τα αρχεία και τους καταλόγους. Η Diredt API είναι διαθέσιμη σε όλα τα συστήματα UNIX, αλλά δεν είναι διαθέσιμη για όλους τους compilers των Windows.

5. Ανάλυση συστήματος

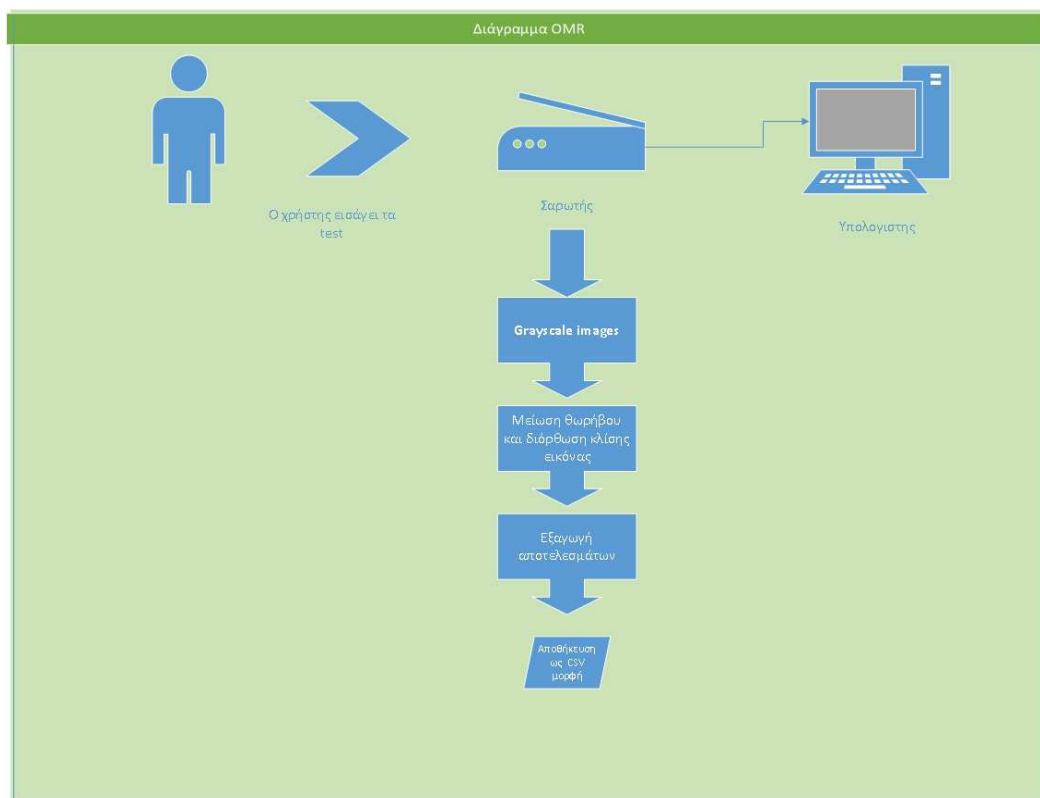
Στο κεφάλαιο αυτό γίνεται αναλυτική περιγραφή του αλγορίθμου αυτόματης διόρθωσης τεστ πολλαπλής επιλογής, του οποίου η ροή εργασίας φαίνεται στην (Εικόνα 15).

Αρχικά, ο χρήστης αφού συγκεντρώσει τα τεστ, τα εισάγει σε έναν σαρωτή με αυτόματο τροφοδότη εγγράφων, η σάρωση γίνεται σε κλίμακα του γκρι και έπειτα τα σαρωμένα έγγραφα των τεστ εισάγονται στα συστήματα μας.

Επόμενο στάδιο της επεξεργασίας, είναι η μείωση θορύβου από τις εικόνες και οι τυχόν παραμορφώσεις στην κλίση του εγγράφου που ενδεχομένως να δημιουργήθηκαν κατά την διαδικασία της σάρωσης.

Έπειτα, πλέον απαλλαγμένες από θόρυβο και προβλήματα στην κλίση τους οι εικόνες εισάγονται στον αλγόριθμο για αναγνώριση των απαντήσεων και εξαγωγή των αποτελεσμάτων.

Τέλος, αφού τα αποτελέσματα εξαχθούν για κάθε τεστ που έχει εισάγει ο χρήστης τα αποτελέσματα αποθηκεύονται σε ένα αρχείο csv.



Εικόνα 15 Λιάγραμμα OMR

5.1 Ανάλυση προβλήματος

Σε αυτό το υποκεφάλαιο γίνεται ανάλυση του προβλήματος. Για την ανάλυση του προβλήματος θα πρέπει αρχικά να καθορίσουμε τα δεδομένα και τα ζητούμενα της εφαρμογής μας.

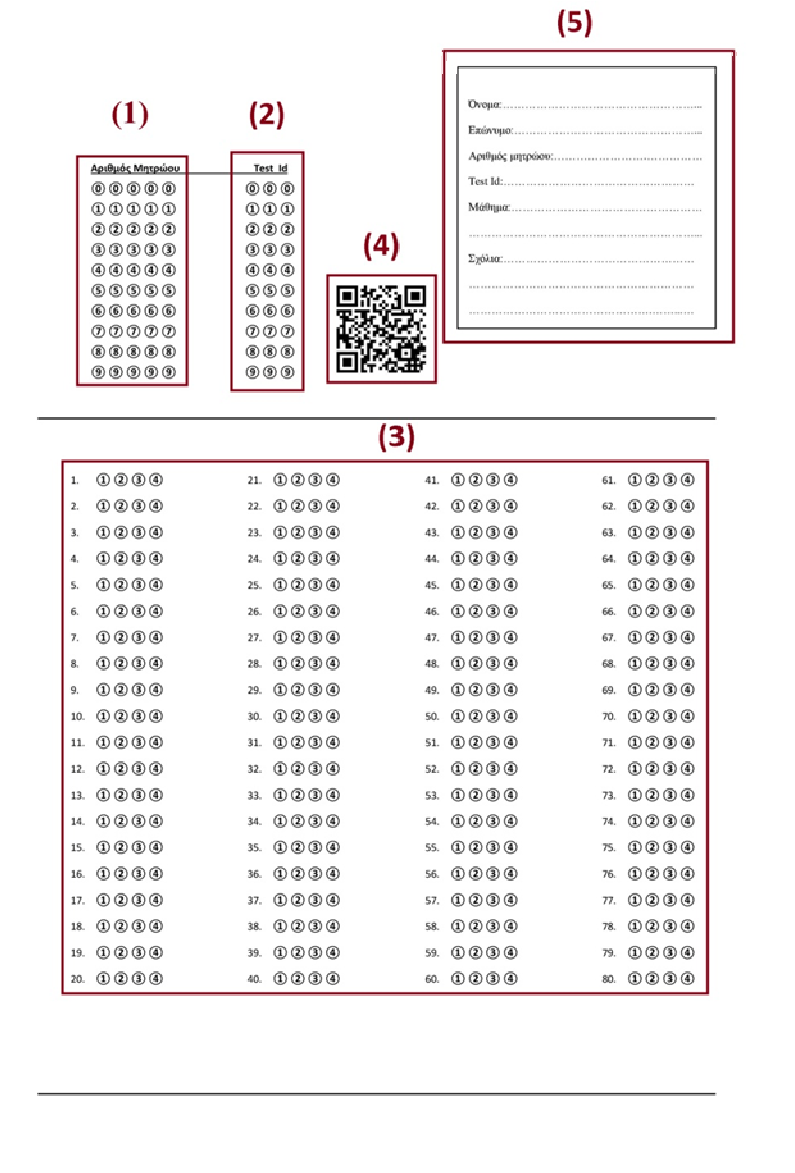
➤ Δεδομένα.

Η εφαρμογή που θα σχεδιάσαμε αποτελείται από μια φόρμα μεγέθους A4 (Εικόνα 16) η όποια είναι προσχεδιασμένη από εμάς και δεν υπάρχει δυνατότητα παραμετροποίησης της.

Αναλυτικότερα, η φόρμα που θα σχεδιάσαμε θα πρέπει να αποτελείται από τα έξι πεδία:

- **Αριθμός μητρώου :** Αυτό το πεδίο θα πρέπει να έχει μέγεθος 5, δηλαδή ο μέγιστος αριθμός μητρώου που θα μπορεί να συμπληρώσει ο φοιτητής θα είναι πενταψήφιος, ο οποίος είναι και ο μέγιστος αριθμός στις σχολές του ΤΕΙ Κρήτης [Εικόνα 16 (1)].
- **Αριθμός διαγωνίσματος :** Αυτό το πεδίο θα πρέπει να έχει μέγεθος 3, ο σκοπός αυτού του πεδίου είναι να έχει ο καθηγητής τη δυνατότητα να μπορεί να δημιουργεί διαφορετικά διαγωνίσματα για κάθε φοιτητή. Δηλαδή, σε κάθε εξέταση θα μπορούν να δημιουργηθούν μέχρι και 1000 διαφορετικά διαγωνίσματα [Εικόνα 16 (2)].
- **Περιοχή απαντήσεων :** Αυτή η περιοχή θα αποτελείται από 80 απαντήσεις, με 4 δυνατές επιλογές η κάθε απάντηση. Πιο συγκεκριμένα, θα αποτελείται από 4 στήλες των 20 απαντήσεων [Εικόνα 16 (3)].
- **Περιοχή QRcode :** Σε αυτή την περιοχή θα υπάρχει χώρος για την τοποθέτηση του QRcode [Εικόνα 16 (4)].
- **Περιοχή πληροφοριών φοιτητή :** Αυτή η περιοχή δεν θα λαμβάνεται υπόψη από την εφαρμογή μας και θα περιέχει όλες τις απαραίτητες πληροφορίες που θα χρειάζεται να ξέρει ο καθηγητής.

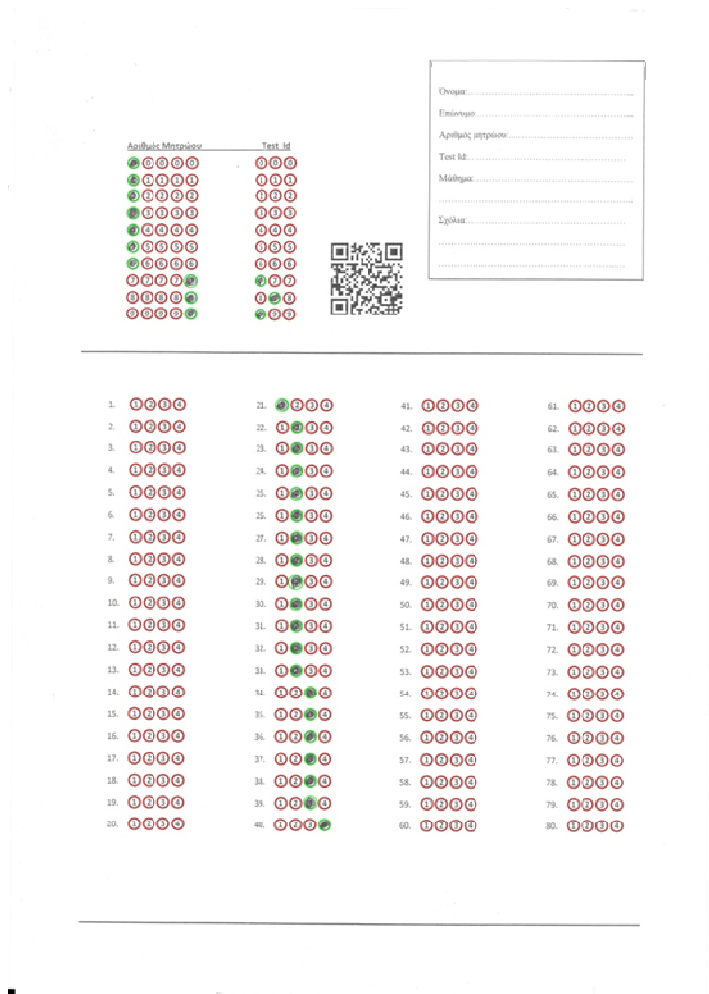
Αυτές οι πληροφορίες ορίστηκαν να είναι : το όνομα του φοιτητή, το επώνυμο, ο αριθμός μητρώου ,ο αριθμός διαγωνίσματος, ο τίτλος του μαθήματος και μια περιοχή για σχόλια του φοιτητή [Εικόνα 16 (5)].



Εικόνα 16 Πρότυπη φόρμα απαντήσεων

➤ **Ζητούμενα**

Η εφαρμογή μας θα πρέπει να είναι σε θέση να εντοπίζει τις κυκλικές περιοχές (bubbles), στις οποίες ο φοιτητής σημειώνει τη απάντηση, να αποθηκεύει τις συντεταγμένες τους και έπειτα να εισάγονται στην μηχανή υποστήριξης διανυσμάτων (SVM), την οποία έχουμε εκπαιδεύσει προηγουμένως με γνωστά πρότυπα, για την επαλήθευσή τους. Δηλαδή, αν η απάντηση έχει επιλεγεί ή όχι από τον φοιτητή. Τέλος, τα αποτελέσματα θα εξάγονται σε μορφή CSV.



Εικόνα 17 Έξοδος του συστήματος. Με πράσινο χρώμα επιλεγμένες απαντήσεις με κόκκινο απαντήσεις που δεν έχουν επιλεγεί

5.2 Υλοποίηση

Στο υποκεφάλαιο αυτό αναλύουμε τη διαδικασία εξαγωγής των απαντήσεων. Η διαδικασία αποτελείται από 5 βασικά βήματα όπως φαίνεται και στην (Εικόνα 18). Αρχικά, οι σαρωμένες εικόνες εισάγονται στο σύστημα. Το σύστημα μας δέχεται μόνο αρχεία JPEG, για κάθε αρχείο εικόνας ελέγχεται η ορθότητα του και έπειτα, αποθηκεύεται για να συνεχίσει στο επόμενο βήμα όπου είναι η διόρθωση της κλίσης της εικόνας. Στο βήμα 3 αναλαμβάνει ο αλγόριθμος εξαγωγής των αποτελεσμάτων και στο βήμα 4 η μηχανή διανυσμάτων υποστήριξης αναγνωρίζει, αν ένα bubble είναι επιλεγμένο ή όχι και τέλος, τα αποτελέσματα αποθηκεύονται σε ένα CSV αρχείο. Όπως και οι διορθωμένες εικόνες, όπου πάνω με πράσινο κύκλο θα είναι οι επιλεγμένες απαντήσεις από τον χρήστη και με κόκκινο αυτές που δεν έχει επιλέξει (Εικόνα 17).



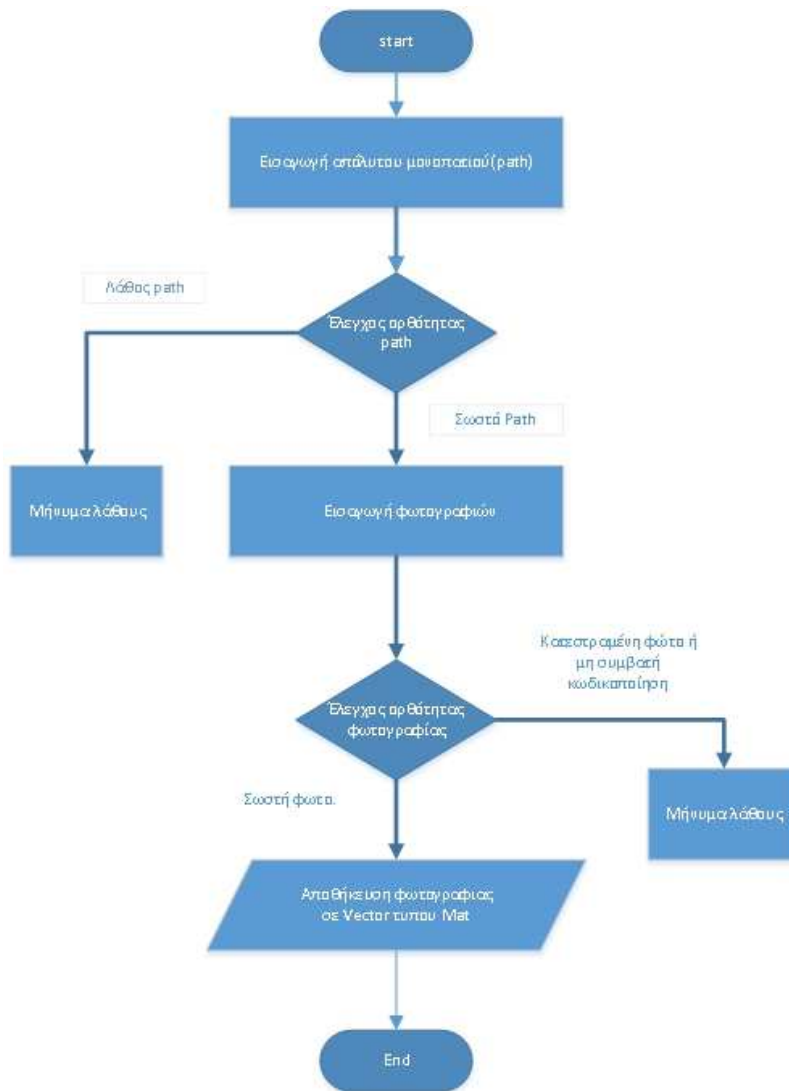
Εικόνα 18 Λιάγραμμα ροής OMR

Η αποθήκευση των εικόνων των τεστ θα γίνεται σε ξεχωριστό φάκελο και ως όνομα αρχείου θα είναι ο αριθμός μητρώου και ο αριθμός τεστ, χωρισμένοι με κάτω παύλα. Θα έχει τη μορφή, δηλαδή, A.M_A.T.jpg (π.χ. 2334_123.jpg). Με αυτόν τον τρόπο ο καθηγητής θα μπορεί να ελέγχει τα τεστ που έχουν κάποιο πρόβλημα στην αναγνώριση ή ακόμα θα μπορεί να στείλει μέσω e-mail το τεστ στον φοιτητή για να επιβεβαιώσει τα λάθη του.

5.2.1 Εισαγωγή φωτογραφιών στον αλγόριθμο

Αυτή η διαδικασία (Εικόνα 19) υλοποιείται από την συνάρτηση `getImageis(string path, vector<string>& paths)` η οποία παίρνει δυο ορίσματα. Το πρώτο όρισμα με όνομα `path` και τύπου `string` δέχεται το `path` όπου βρίσκονται οι εικόνες. Το δεύτερο όρισμα είναι ένα `vector` τύπου `string` και αποθηκεύει τα απόλυτα `path` των φωτογραφιών που βρήκε η συνάρτηση. Η συνάρτηση επιστέφει ένα `vector` που περιέχει τις εικόνες που της δώσαμε.

Η συνάρτηση αρχικά ελέγχει αν το `path` είναι σωστό, και σε περίπτωση λάθους (π.χ. ανύπαρκτο `path`) τυπώνει μήνυμα λάθους στην κονσόλα. Έπειτα, με τις συναρτήσεις της `dirent` `opendir()` και `readdir()` έχουμε πρόσβαση στα αρχεία του φακέλου. Για κάθε αρχείο που υπάρχει στον φάκελο γίνεται έλεγχος αν είναι `jpeg` και αν δεν είναι κατεστραμμένο και τέλος τα σωστά αρχεία αποθηκεύονται σε ένα `vector` τύπου `<Mat>`. Όταν ολοκληρώσει η συνάρτηση την δουλειά της επιστρέφει στο πρόγραμμα ένα `vector` με εικόνες.



Εικόνα 19 Διάγραμμα ροής για την εισαγωγή εικόνων στον αλγόριθμο

Αρχικά, για την εισαγωγή των φωτογραφιών στον αλγόριθμο θα πρέπει να κάνουμε (Drag n' Drop) τον φάκελο που περιέχει τις εικόνες των τεστ ή μια εικόνα μόνη της στην κονσόλα (Εικόνα 20)



Εικόνα 20 Εισαγωγή path

Αφού αποθηκευτεί το path σε μια μεταβλητή τύπου string αφαιρείτε το σύμβολο " από την αρχή και το τέλος του path που προστίθεται αυτόματα από το λειτουργικό σύστημα.

```
path.erase(remove( path.begin(), path.end(), '\"' ),path.end());
```

Έπειτα, κάνουμε έλεγχο για το αν είναι σωστό το path (1) και μετά με την χρήση της while(2) διαβάζουμε όλα τα αρχεία του φακέλου. Για κάθε αρχείο που διαβάζουμε γίνεται έλεγχος αν είναι σωστό(3) και σε περίπτωση λάθους τυπώνετε μήνυμα λάθους (4). Τέλος, τα σωστά αρχεία αποθηκεύονται σε ένα vector τύπου <Mat> με όνομα OmrImages(5) το οποίο επιστέφει η συνάρτηση μόλις ολοκληρωθεί η διαδικασία.

```
DIR *dir;
struct dirent *ent;
(1) if ((dir = opendir (path.c_str())) != NULL) {

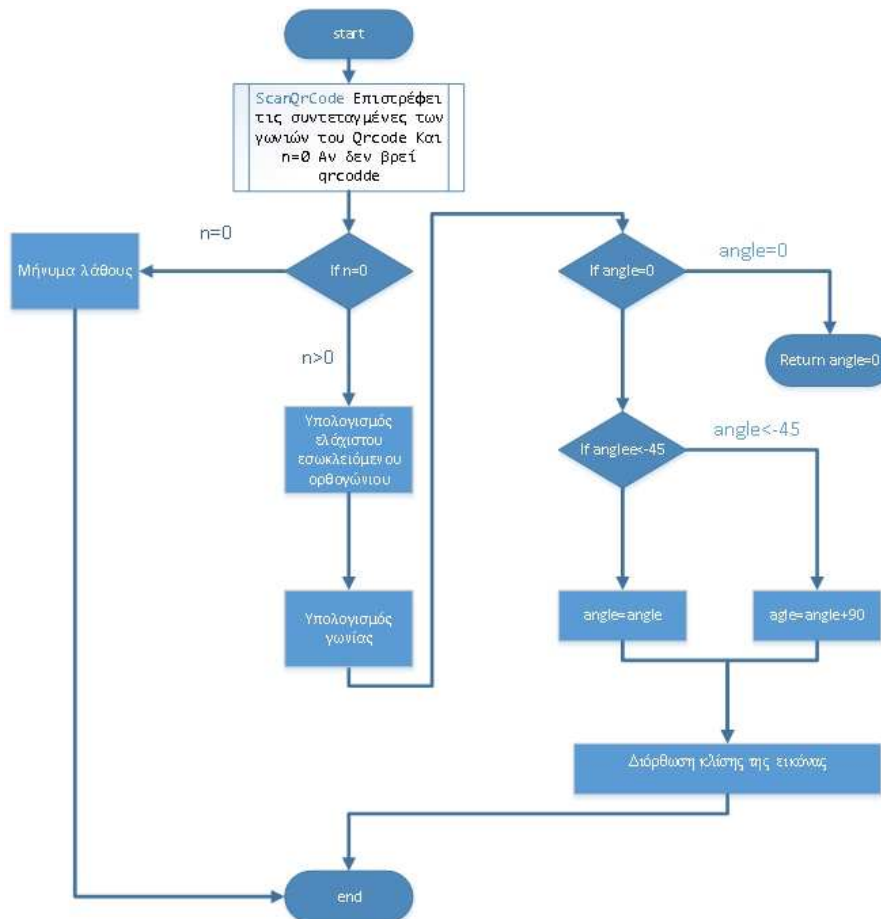
    int i=0;
    (2) while ((ent = readdir (dir)) != NULL) {
        string str_n(ent->d_name);

        if(str_n.compare(".") && str_n.compare(".."))
        {
            {
                (3)Mat temp=imread(path+"\""+ent->d_name,1);

                (3)if(!temp.data)
                {
                    (4)cout<<"Fail image :"+path+"\""+ent->d_name<<endl;
                        continue;
                }
                (5)OmrImages.push_back(imread(path+"\""+ent->d_name,1));
                    paths.push_back(path+"\""+ent->d_name);
                    i++;
            }
        }
    }
    closedir (dir);
}
```

5.2.2 Διόρθωση σφάλματος στην κλίση της εικόνας

Για την διόρθωση κλίσης της εικόνας δημιουργήσαμε την συνάρτηση `int deskew(Mat& img_in, Mat& img_out)` (Εικόνα 21), που έχει ως είσοδο μια εικόνα και έξοδο την διορθωμένη εικόνα. Αρχικά εισάγουμε την εικόνα στην συνάρτησης `int ScanQrCode(Mat img, vector<Point>& vp)` που έχει ως είσοδο μια εικόνα και έξοδο ένα vector τεσσάρων σημείων τύπου <Point> που αντιπροσωπεύουν τις τέσσερις κορυφές του qrcode.



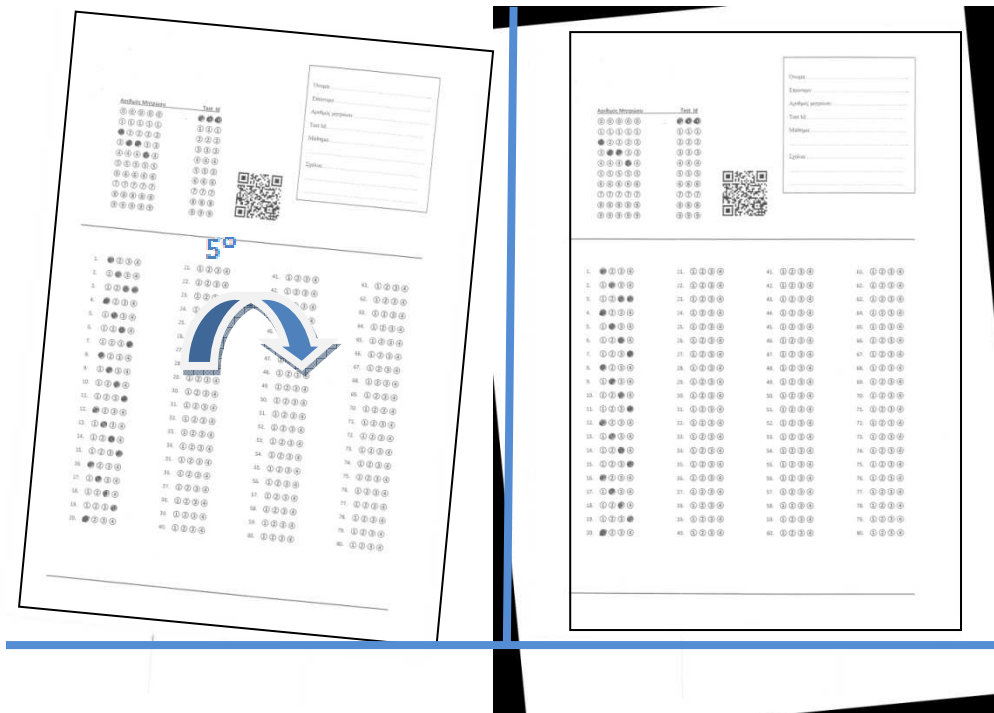
Εικόνα 21 Λιάγραμμα ροής συνάρτησης διόρθωσης κλίσης της εικόνας

Έχοντας τέσσερα σημεία χρησιμοποιούμε την συνάρτηση `minAreaRect` που έχει είσοδο ένα vector τεσσάρων σημείων και επιστρέφει ένα αντικείμενο τύπου `RotatedRect` που έχει σαν ιδιότητα με όνομα `angle`, την γωνιά κλίσης του ορθογωνίου που σχηματίζουν οι τέσσερις κορυφές του qrcode.

Η συνάρτηση `minAreaRect` παίρνει τιμές από -90 έως μηδέν μοίρες, μη συμπεριλαμβανομένου του μηδενός, δηλαδή, στο διάστημα $[-90, 0)$. Όταν η γωνιά είναι -90 μοίρες η κλίση της εικόνας είναι μηδενική.

Για την διόρθωση της κλίσης εικόνας, χρησιμοποιούμε την συνάρτηση `getRotationMatrix2D` η οποία υπολογίζει μια μήτρα affine δισδιάστατης περιστροφής, μεγέθους, 3×2 . Η `getRotationMatrix2D` έχει ως ορίσματα το κέντρο της εικόνας τύπου `<Point>` και την γωνιά περιστροφής σε μοίρες. Η συνάρτηση επιστρέφει μια εικόνα τύπου `<Mat>` μεγέθους 3×2 , που χρησιμεύει ως είσοδος στην συνάρτηση `warpAffine`.

Η `warpAffine` έχει ως είσοδο την εικόνα που χρειάζεται διόρθωση και την μήτρα που δημιούργησε η `getRotationMatrix2D` και έξοδο την διορθωμένη εικόνα (Εικόνα 22).



Εικόνα 22 Διόρθωση κλίσης μετά από Affine μετασχηματισμό 5 μοίρες αριστερά

Στο παράδειγμα στην παραπάνω εικόνα φαίνεται η διόρθωση κλίσης κατά 5 μοίρες αριστερά. Το αποτέλεσμα της angle ήταν -85 μοίρες που προσθέτουμε 90 μοίρες $90+(-85)=5$. Αν η κλίση ήταν αριστερά η angle θα είχε τιμή -5 μοίρες.

Σχολιασμός κώδικα

Η `ScanQRCode(1)` έχει ως είσοδο εικόνα και έξοδο ένα διάνυσμα τεσσάρων σημείων τα σημεία αυτά είναι συντεταμένες της μορφής x,y στο καρτεσιανό σύστημα, που αντιπροσωπεύουν τις κορυφές του qrcode. Η `ScanQRCode` επιστρέφει 0 αν δεν βρει qrcode.

Για να μπορέσουμε να βρούμε την γωνιά αρχικά δημιουργούμε ένα αντικείμενο `RotatedRect` με την συνάρτηση `minAreaRect(2)`.

Στην `if` που ακολουθεί (3) γίνεται πρώτα έλεγχος αν η εικόνα δεν έχει κλίση. Όταν η τιμή της `angle` είναι -90 έχουμε μηδενική κλίση. Το διάστημα τιμών της `angle` είναι από $[-90, 0)$. Γι'αυτό η `angle` όταν παίρνει τιμές από $(-45,-90]$ έχουμε δεξιά κλίση και από $[-45,0)$ αριστερή κλίση. Ενώ η `getRotationMatrix2D` όταν θέλουμε να περιστρέψουμε αριστερόστροφα έχουμε θετικό(+) πρόσημο και δεξιόστροφα αρνητικό πρόσημο(-).

Η `getRotationMatrix2D(5)` παίρνει ως είσοδο, ένα σημείο τύπου `<Point>` που αντιπροσωπεύει το κέντρο που θα περιστραφεί η εικόνα(4). Την γωνιά περιστροφής της εικόνας σε μοίρες, και ένα παράγοντα κλίμακας που εξ ορισμού είναι 1.

Η συνάρτηση υπολογίζει την παρακάτω μήτρα:

$$\begin{bmatrix} \alpha & \beta & (1 - \alpha) \cdot \text{center.x} - \beta \cdot \text{center.y} \\ -\beta & \alpha & \beta \cdot \text{center.x} + (1 - \alpha) \cdot \text{center.y} \end{bmatrix}$$

Όπου

$$\alpha = \text{scale} \cdot \cos \text{angle},$$

$$\beta = \text{scale} \cdot \sin \text{angle}$$

Το αποτέλεσμα της συνάρτησης ένας πίνακας 3X2 που χρησιμοποιεί η `warpAffine(6)` για να περιστρέφει την εικόνα.

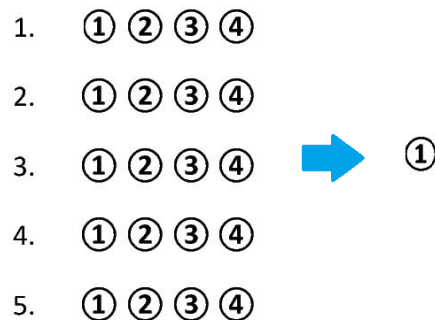
Κώδικας σε C++ της συνάρτησης `deskew`

```
vector<Point> vp;
  (1)int n=ScanQrCode(img_in,vp);
  if(n==0){return 0;}
  (2)RotatedRect r1 = minAreaRect(vp);

  float angle=0;
  (3)if(r1.angle==-90)
  {
    angle=0;
  }
  else { if(r1.angle<-45)
  {
    angle=90+r1.angle;
  }
  else
  {
    angle= r1.angle;
  }
  }
  (4)cv::Point2d pt(img_in.size().width/2., img_in.size().height/2.);
  (5)cv::Mat r1r = cv::getRotationMatrix2D(pt, angle, 1.0);
  (6)cv::warpAffine (img_in, img_out, r1r, cv::Size(img_in.size().width,
  img_in.size().height));
}
```

5.2.3 Εξαγωγή των αποτελεσμάτων

Στο υποκεφάλαιο αυτό θα αναλύσουμε την μέθοδο εξαγωγής των αποτελεσμάτων του συστήματος που αναπτύξαμε. Σκοπός του αλγόριθμου είναι να δέχεται μια εικόνα και να επιστρέφει ένα διάνυσμα `vector<BubbleAnswers>` που θα έχει αποθηκευμένες τις συντεταγμένες από όλα τα κέντρα των κύκλων(bubbles) (Εικόνα 23).



Εικόνα 23 Παράδειγμα κύκλου(bubble) απάντησης

Σημαντικότερο πρόβλημα που αντιμετωπίσαμε ήταν ο εντοπισμός των bubble στην εικόνα. Η πρώτη λύση που εξετάστηκε ήταν ο σχεδιασμός παυλών σε κάθε οριζόντια γραμμή από bubbles Εικόνα 24.

Αν και αυτή η τεχνική μας έδωσε ικανοποιητικά αποτελέσματα εγκαταλείφτηκε λόγω της πολυπλοκότητας της και του υπολογιστικού κόστους που απαιτούνταν.

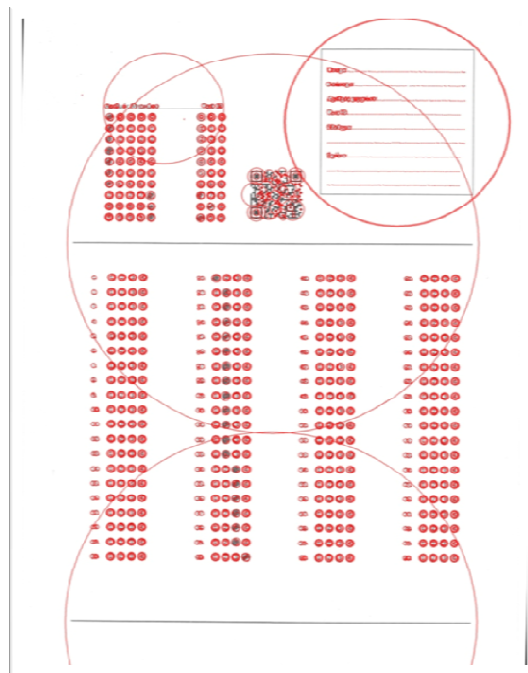
Η δεύτερη λύση που δοκιμαστική, και υιοθετήθηκε τελικά, δεν χρησιμοποιεί κάποιο σημάδι ελέγχου όπως η παύλα αλλά διαφορετική προσέγγιση. Ποιο αναλυτικά, για τον εντοπισμό των bubbles θα πρέπει πρώτα να μετατρέψουμε την εικόνα σε μια μορφή που να ευνοεί την αναγνώριση περιγραμμάτων(contours) . Αυτή η προεπεξεργασία γίνεται με την κατωφλίωση(thresholding) της εικόνας με τον αλγόριθμο του Otsu. Ο αλγόριθμος υποθέτει ότι η εικόνα που πρόκειται να κατωφλιωθεί περιέχει δύο κατηγορίες pixels ή διτροπικό ιστόγραμμα (π.χ. προσκήνιο και στο παρασκήνιο) και στη συνέχεια υπολογίζει το βέλτιστο όριο που χωρίζει αυτές τις δύο κατηγορίες, έτσι ώστε η διασπορά (intra-class διακύμανση) να είναι ελάχιστη.

Για την εξαγωγή των περιγραμμάτων χρησιμοποιείτε η συνάρτηση της OpenCV findContours η οποία έχει ως είσοδο την κατωφλιωμένη εικόνα και έξοδο ένα vector σε vector τύπου <Point> που έχει αποθηκευμένα τα σημεία που ορίζουν το περίγραμμα (Εικόνα 26).



Εικόνα 26 Σχεδιασμένα περιγράμματα

Επόμενο στάδιο της επεξεργασίας, είναι η εύρεση του ελάχιστου εσωκλειόμενου κύκλου για κάθε περίγραμμα. Το στάδιο αυτό υλοποιείτε από την minEnclosingCircle που έχει ως είσοδο το vector με τα περιγράμματα και ως έξοδο δυο vector που περιέχει το κέντρο κάθε κύκλου που δημιουργήθηκε και την ακτίνα του (Εικόνα 27).



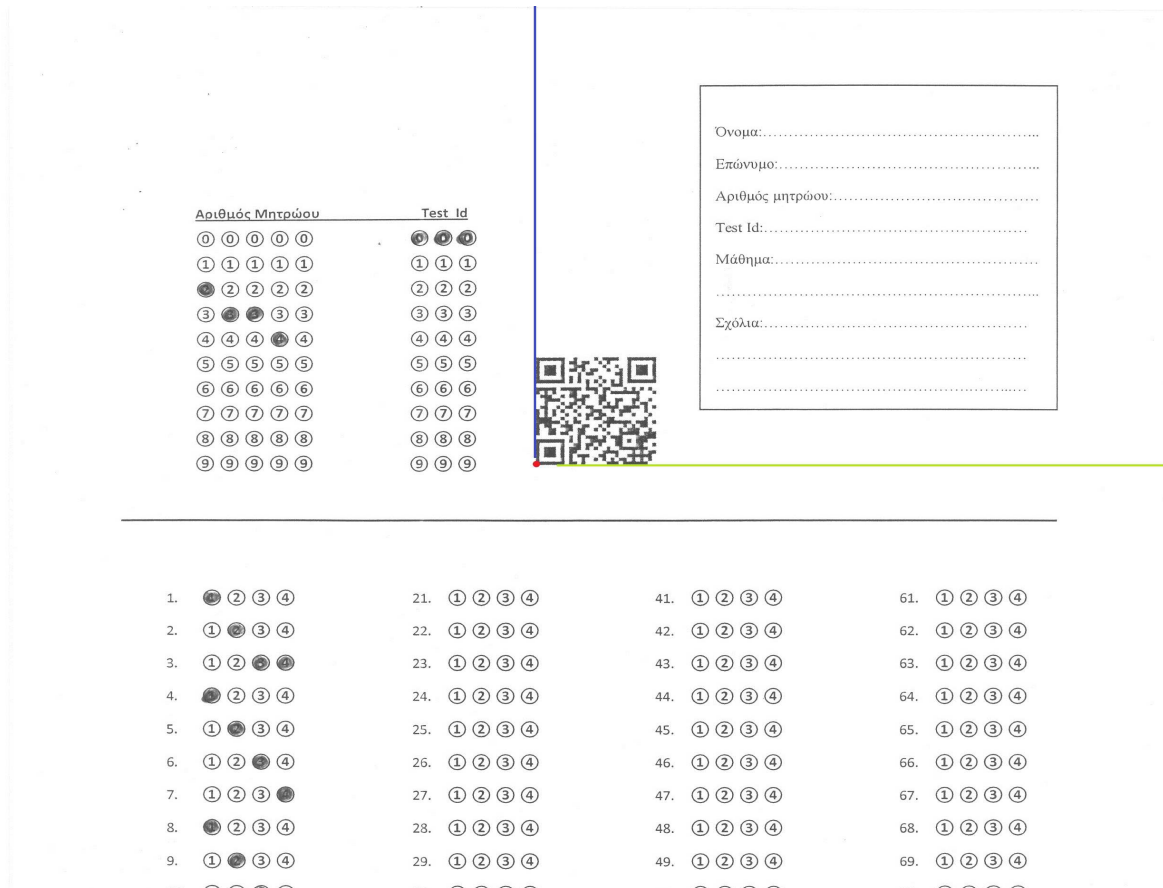
Εικόνα 27 Αποτέλεσμα της minEnclosingCircle

Όπως φαίνεται και στην προηγούμενη εικόνα όλα τα περιγράμματα που βρήκε η findContours και υπολογίστηκε ο ελάχιστος εσωκλειόμενος κύκλος σχεδιάστηκαν με κόκκινο χρώμα. Πολλοί κύκλοι όμως δεν μας αφορούν τους οποίους πρέπει να φιλτράρουμε.

Η φόρμα απαντήσεων σχεδιάστηκε με τέτοιο τρόπο ώστε το μέγεθος των bubbles να είναι συγκεκριμένο και να μην υπάρχει κάποιο άλλο στοιχείο πάνω στην εικόνα με αυτό το μέγεθος., το πρόβλημα όμως που πρόέκυψε ήταν ότι οι διαφορετικές αναλύσεις των εικόνων άλλαζαν και την κλίμακα οπότε το μέγεθος σε πίξελ του κάθε bubble δεν ήταν σταθερό.

Αυτό το πρόβλημα λύθηκε με την κλιμάκωση της εικόνας. Για να κλιμακώσουμε την εικόνα μετρήσαμε την ακμή του qrcode. Κάθε ακμή του qrcode είναι σταθερού μεγέθους το οποίο είναι 2,23 cm και διαιρέσαμε με το πλάτος σε πίξελ του qrcode το αποτέλεσμα είναι το μέγεθος κάθε πίξελ σε εκατοστά. Με αυτόν τον τρόπο μπορούμε να φιλτράρουμε τα περιγράμματα ώστε να πάρουμε το επιθυμητό αποτέλεσμα, γνωρίζοντας και την διάμετρο της bubble που είναι 0.3441 cm

Ένας ακόμη περιορισμός που χρησιμοποιήσαμε είναι η απομόνωση της περιοχής που ο φοιτητής γράφει τα προσωπικά στοιχεία του. Αυτή η περιοχή ορίστηκε να είναι με αρχικό σημείο την κάτω αριστερή κορυφή του qrcode κόκκινο χρώμα (Εικόνα 28). Όσα σημεία είναι στον άξονα X δεξιά από την μπλε γραμμή από και όσα στον άξονα Y είναι πάνω από την πράσινη γραμμή δεν λαμβάνονται υπόψη από το πρόγραμμα (Εικόνα 28).



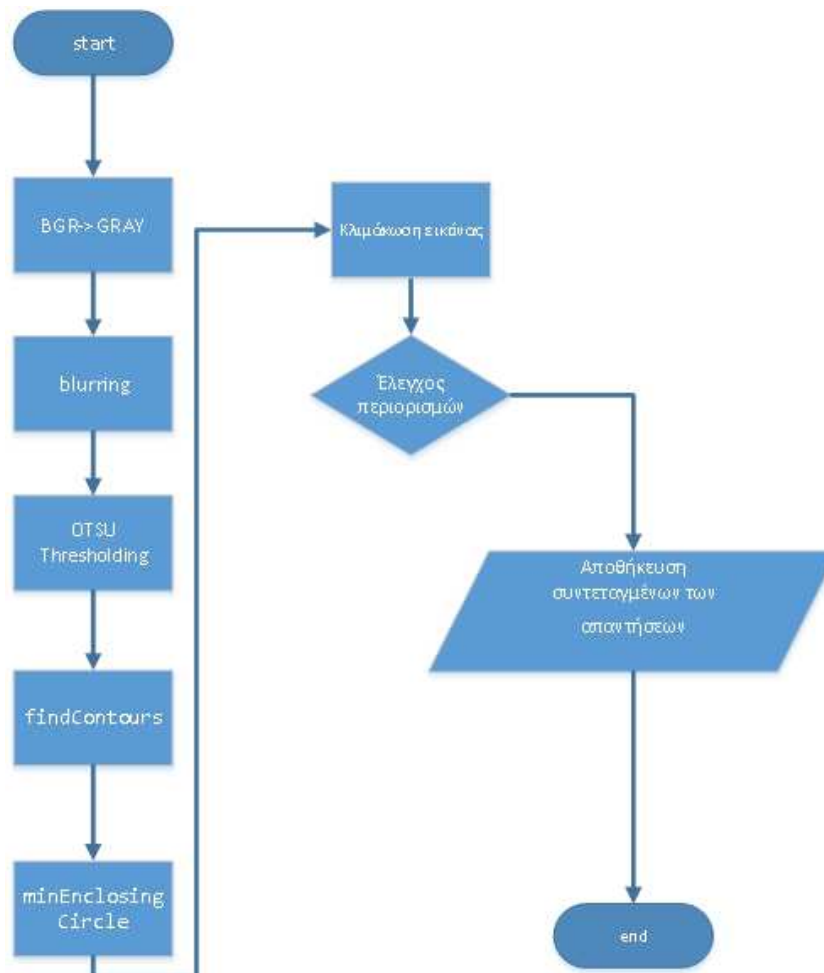
Εικόνα 28 Περιορισμοί για την αναγνώριση των bubble

Τέλος, αφού τα περιγράμματα φιλτραριστούν θα πρέπει να μείνουν μόνο τα bubbles τα οποία είναι 400 στο αριθμό, 320 είναι οι απαντήσεις 80X4, 50 είναι για τον αριθμό μητρώου και 30 για τον κωδικό του τεστ. Αν το αποτέλεσμα είναι διάφορο του 400 το τεστ απορρίπτετε και εμφανίζετε μήνυμα λάθους.

Τελικό στάδιο της επεξεργασίας των απαντήσεων είναι η αποθήκευση κάθε απάντησης σε μια δομή τύπου `BubbleAnswers` που δημιουργήσαμε για τον σκοπό αυτό. Η δομή κατασκευαστική με σκοπό την αποθήκευση της περικομμένης εικόνας της bubble, το κέντρο της bubble και την ακτίνα της. Επίσης περιλαμβάνει και μια μεταβλητή που αποθηκεύει την κατάσταση της bubble, -1 αν είναι επιλεγμένη και 1 αν δεν είναι. Μόλις ολοκληρωθεί η διαδικασία αυτή η συνάρτηση επιστρέφει ένα vector τύπου `BubbleAnswers` που περιέχει τις 400 bubbles.

Εξήγηση κώδικα

Η `find_bubble_contours` Εικόνα είναι η βασική συνάρτηση της εφαρμογής που υλοποιήσαμε, σαν είσοδο δέχεται μια εικόνα που προηγουμένως έχει υποστεί προεπεξεργασία ώστε να γίνουν τα περιγράμματα πιο ευδιάκριτα, και αφού βρει τα περιγράμματα των bubbles επιστρέφει ένα vector τύπου `BubbleAnswers`.



Εικόνα 29 Διάγραμμα ροής της `find_bubble_contours`

Η δομή `BubbleAnswers` αποτελείται από τέσσερις μεταβλητές, την `Mat_1D` που αποθηκεύει την περικομμένη bubble, την `center` που συγκρατεί τις συντεταγμένες κάθε bubble, την `radius` στην οποία αποθηκεύεται η ακτίνα του.

```

struct BubbleAnswers {
    Mat Mat_1D;
    Point2f center;
    float radius;
    float response;
};

```

Πρώτο βήμα της διαδικασίας εξαγωγής των αποτελεσμάτων είναι η προεπεξεργασία των εικόνων. Αρχικά η εικόνα μετατρέπεται από έγχρωμη σε κλίμακα του γκρι.

```

cvtColor( img, img, CV_BGR2GRAY );

```

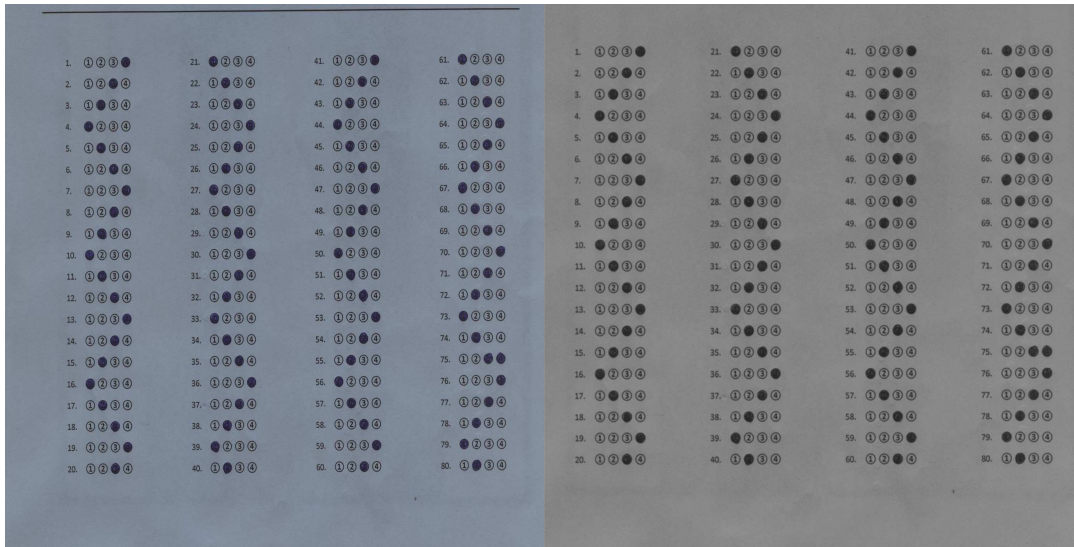
Δεύτερο βήμα είναι το θόλωμα της εικόνας έτσι ώστε να μειωθεί ο θόρυβος με την βοήθεια της συνάρτησης blur(Εικόνα 30). Η συνάρτηση εξομαλύνει μία εικόνα χρησιμοποιώντας τον πυρήνα που στην περίπτωσης μας είναι μεγέθους 3:

$$K = \frac{1}{\text{ksize.width} * \text{ksize.height}} \begin{bmatrix} 1 & 1 & 1 & \dots & 1 & 1 \\ 1 & 1 & 1 & \dots & 1 & 1 \\ & & & \dots & & \\ 1 & 1 & 1 & \dots & 1 & 1 \end{bmatrix}$$

```

blur( img, img, Size(3,3));

```



Εικόνα 30 Αριστερά αρχική εικόνα, δεξιά θολωμένη εικόνα

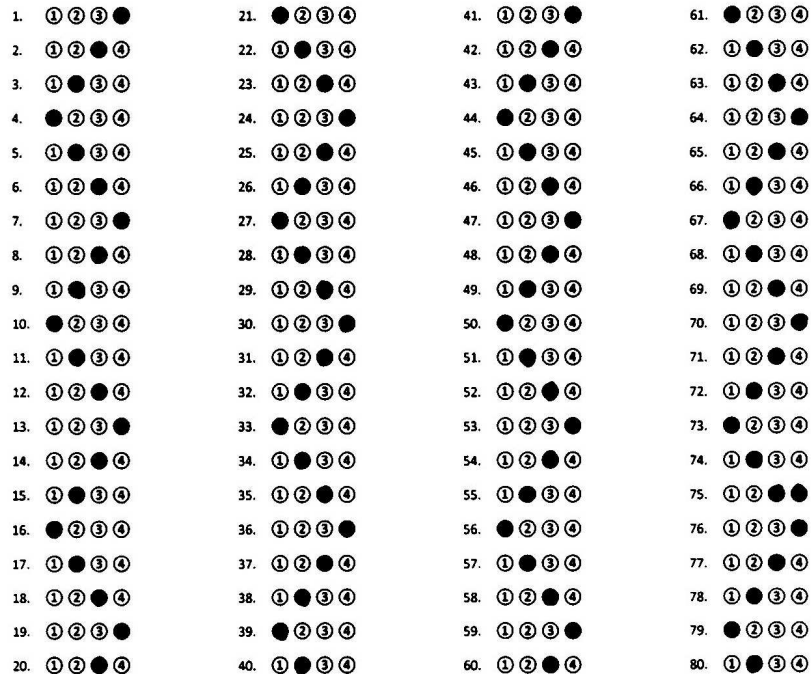
Τρίτο βήμα είναι η κατωφλίωση της εικόνας με την μέθοδο του Otsu (Nobuyuki, 1979). Ο αλγόριθμος του Otsu που τα βήματα του φαίνονται παρακάτω:

1. Υπολογισμός ιστογράμματος και πιθανοτήτων κάθε επιπέδου έντασης
2. Αρχικοποίηση $\omega_i(0)$ και $\mu_i(0)$
3. Υπολογισμός όλων των πιθανών κατωφλιών $t = 1 \dots$ μέγιστη ένταση
 1. Ενημέρωση ω_i και μ_i
 2. Υπολογισμός $\sigma_b^2(t)$
4. Επιθυμητό κατώφλι αντιστοιχεί στο ανώτατο $\sigma_b^2(t)$
5. Μπορούμε να υπολογίσουμε τα δύο μέγιστα (και τα δύο αντίστοιχα κατώφλια) $\sigma_{b1}^2(t)$ είναι το μεγαλύτερο μέγιστο και $\sigma_{b2}^2(t)$ είναι το μεγαλύτερο ή ίσο με το μέγιστο.

$$\frac{\text{threshold}_1 + \text{threshold}_2}{2}$$
6. Επιθυμητό κατώφλι=

Στο πρόγραμμα μας η παραπάνω διαδικασία γίνεται από την παρακάτω συνάρτηση η τιμή CV_THRESH_OTSU καθορίζει το είδος της κατωφλίωσης το αποτέλεσμα της συνάρτησης φαίνεται στην (Εικόνα 31).

```
threshold( img, img,0 ,255, CV_THRESH_OTSU );
```



Εικόνα 31 Otsu threshold

Τελικό στάδιο για την εξαγωγή των αποτελεσμάτων, είναι η εύρεση των περιγραμμάτων της εικόνας, και το φιλτράρισμα αυτών αφού πρώτα κλιμακώσουμε την εικόνα μας.

Η συνάρτηση `findContours()`(1) παίρνει τρεις παραμέτρους, η πρώτη είναι η πηγαία εικόνα δεύτερη είναι η λειτουργία ανάκτησης περιγράμματος, τρίτη είναι η μέθοδος προσέγγισης του περιγράμματος. Και εξάγει τα περιγράμματα και την ιεραρχία. Η `contours`(2) είναι ένα vector που αποθηκεύει όλα τα περιγράμματα που εντόπισε στην εικόνα. Κάθε επιμέρους περιγράμμα είναι ένα vector τύπου `<Point>` (x, y) που περιέχει τις συντεταγμένες των σημείων του ορίου του αντικειμένου.

```
(2)vector<vector<Point> > contours;  
vector<Vec4i> hierarchy;
```

```
(1)findContours( img, contours, hierarchy, CV_RETR_TREE, CV_CHAIN_APPROX_SIMPLE, Point(0, 0) );
```

Αφού η συνάρτηση `findContours` μας επιστρέφει τα περιγράμματα θα πρέπει να φιλτραριστούν αφού πρώτα υπολογιστεί το μέγεθος του πίξελ σε cm. Για την διαδικασία αυτή μετρήσαμε το πλάτος του qrcode και την διάμετρο τις bubble. Αυτές οι μετρήσεις ορίζονται στο πρόγραμμα μας με δυο σταθερές:

```
QRCODE_SIZE_IN_CM 2.23 cm  
BUBBLE_DIAMETER_IN_CM 0.3441 cm
```

Πρώτα υπολογίζετε το μέγεθος του πίξελ σε εκατοστά, ο υπολογισμός γίνεται διαιρώντας το πλάτος του qrcode σε πίξελ με το πλάτος του σε εκατοστά(1). Έπειτα υπολογίζετε το ελάχιστο(2) και μέγιστο(3) πλάτος κάθε bubble σε πίξελ και προστίθεται επίσης ένα offset για να υπάρχει ευελιξία στην αναγνώριση της bubble σε περίπτωση που ο φοιτητής βγει εκτός ορίων όταν συμπληρώνει την απάντηση. Το offset είναι -1 για το ελάχιστο μέγεθος και +19 για το μέγιστο μέγεθος.

```
(1)float pixel_size_in_cm = QRCODE_SIZE_IN_CM/qrcode.size.width;  
(2)float min_bubble_size_in_pixels=((BUBBLE_DIAMETER_IN_CM*r.size.width)/QRCODE_SIZE_IN_CM-1);  
(3)float max_bubble_size_in_pixels=((BUBBLE_DIAMETER_IN_CM*r.size.width)/QRCODE_SIZE_IN_CM)+19;
```

Για κάθε περίγραμμα που βρήκε η `findContours` γίνεται έλεγχος αν ικανοποιεί τους περιορισμούς διαμέτρου(1).

```
(1)if(2*radius[i]>min_bubble_size_in_pixels && 2*radius[i]<max_bubble_size_in_pixels)
```

Και τους περιορισμούς θέσης της κάθε Bubble που βρήκε η συνάρτησή μας(2). Οι περιορισμοί θέσης αποκλείουν το ορθογώνιο που σχηματίζετε από την κάτω αριστερή κορυφή του qrcode.

```
(2)if(!(center[i].x>pts_b1.x && center[i].y<pts_b1.y))
```

Αφού ικανοποιεί τις προηγούμενες σύνηθες περιορισμών κάθε bubble που μας αφορά περικόπτετε και η περικομμένη εικόνα της bubble με όνομα `imgroi` αποθηκεύεται σε μια μεταβλητή τύπου `Mat(1)`. Έπειτα, γίνεται αλλαγή μεγέθους στην εικόνα σε συγκεκριμένο μέγεθος 30X30 πίξελ(2). Ο σκοπός αυτής της μετατροπής είναι ότι η μηχανή υποστήριξης διανυσμάτων(SVM), που η λειτουργία της εξετάζετε στο επόμενο υποκεφάλαιο, ως είσοδο θέλει πρότυπα σταθερού μεγέθους. Αλλά, το μέγεθος κάθε περικομμένης εικόνας εξαρτάτε από την ανάλυση της πηγαίας εικόνας και από το αν ο φοιτητής έχει βγει εκτός της bubble.

```
(1)Mat imgroi = img_src(Rect( center[i].x-radius[i],
    center[i].y-radius[i],2*radius[i],2*radius[i]));
(2)resize(imgroi,imgroi_resize,Size(30,30), 0, 0, INTER_CUBIC);
```

Τέλος, αφού έχουμε περικόψει την εικόνα και της αλλάξαμε μέγεθος, την μετατρέπουμε σε μονοδιάστατη(1) σε μορφή δηλαδή, που είναι συμβατή με την μηχανή υποστήριξης διανυσμάτων(SVM) και αποθηκεύουμε σε μια δομή τύπου `BubbleAnswers(5)` την περικομμένη εικόνα(2), το κέντρο της bubble(3), και την ακτίνα της(4).

```
(1)convert2Dto1D(imgroi_resize,tmp_1D_2D);
BubbleAnswers tmp;
(2)tmp.Mat_1D=tmp_1D_2D;
(3)tmp.center=center[i];
(4)tmp.radius= radius[i];
(5)bubbles.push_back(tmp);
```

Μόλις γίνει αυτή η διαδικασία και για όλες τις bubbles η συνάρτηση επιστρέφει ένα vector τύπου `BubbleAnswers`.

5.2.4 Εκπαίδευση μηχανής υποστήριξης διανυσμάτων(SVM)

Η μηχανές υποστήριξης διανυσμάτων χρησιμοποιούνται για να ταξινομήσουμε πρότυπα σε δυο ή περισσότερες κατηγορίες, όπως αναφέραμε και στο υποκεφάλαιο 3.3. Η OpenCV υποστηρίζει αυτή την τεχνική μέσω μια βιβλιοθήκης. Η βιβλιοθήκη αυτή ονομάζεται Machine Learning Library (MLL), η οποία μας παρέχει την δυνατότητα, μέσω συναρτήσεων που υλοποιούνται σε C++, να κάνουμε στατιστικές αναλύσεις, ταξινόμηση προτύπων κ.α.

Αρχικά, χωρίσαμε τα πρότυπα μας σε δυο κατηγορίες, η πρώτη κατηγορία θα περιέχει όλα εκείνα τα πρότυπα(bubbles) που θα αναγνωρίσει η μηχανή υποστήριξης διανυσμάτων ως επιλεγμένα από τον χρήστη, στην δεύτερη κατηγορία θα περιέχει όλα τα πρότυπα(bubble) που ο χρήστης δεν έχει επιλέξει.

Η μηχανή υποστήριξης διανυσμάτων(SVM) αρχικά θα πρέπει να εκπαιδευτεί. Η εκπαίδευση έγινε με τη χρήση γνωστών προτύπων, τα οποία δημιουργήσαμε συμπληρώνοντας τεστ. Έπειτα, αποθηκεύσαμε τα δείγματα (Πίνακας 3) και από τις δυο κλάσεις με σκοπό την εισαγωγή τους στην μηχανή υποστήριξης διανυσμάτων, για να την εκπαιδεύσουμε ώστε να αναγνωρίζει και τις δυο κλάσεις.

Τα Επιλεγμένα από τον χρηστή πρότυπα	Πρότυπα που δεν έχουν επιλεγεί από τον χρήστη
	①
	②
	③
	④
	⑤
	⑥
	⑦
	⑧
	⑨
	⑩

Πίνακας 3 Πρότυπα με τα οποία εκπαιδεύτηκε η μηχανή διανυσμάτων υποστήριξης

Κάθε πρότυπο αποτελείται από μια εικόνα από 30X30 πίξελ. Για να εκπαιδεύσουμε το SVM θα πρέπει τα πρότυπα των εικόνων να τα μετατρέψουμε σε μονοδιάστατες εικόνες 1X900 πίξελ. Οπότε έχουμε μια εικόνα τύπου <Mat> με όνομα training_mat μεγέθους 19X900, αφού έχουμε 19 πρότυπα.

Επίσης, δημιουργήσαμε ακόμα μια εικόνα τύπου <Mat> με όνομα labelsMat, διαστάσεων 19X1 που θα περιέχει σε κάθε θέση της που αντιστοιχεί σε κάθε ένα από τα πρότυπα -1 αν είναι επιλεγμένο πρότυπο και 1 αν δεν είναι όπως φαίνεται και από παρακάτω.

```
Mat labelsMat(19, 1, CV_32FC1, {-1.0,-1.0,-1.0,-1.0,-1.0,-1.0, -1.0,-1.0,-1.0,1.0,1.0,1.0,1.0, 1.0, 1.0, 1.0, 1.0, 1.0});
```

Συνοψίζοντας, για την εκπαίδευση του SVM, λοιπόν, θέλουμε δυο πίνακες τύπου <Mat>. Ο πρώτος θα περιέχει τα 19 πρότυπα εικόνων με όνομα training_mat, με τα πρώτα 9 να αντιπροσωπεύουν τα επιλεγμένα πρότυπα και τα υπόλοιπα 10 να αντιπροσωπεύουν αυτά που δεν έχουν επιλεγεί, και έναν δεύτερο πίνακα με όνομα labelsMat, που για κάθε πρότυπο, θα έχουμε σε κάθε μια από τις 19 θέσεις, αν είναι επιλεγμένο -1, και αν δεν με 1.

Κώδικας C++ για την εκπαίδευση του SVM

```
const int num_files = 19;
int img_area = 30*30;
int file_num=0;
float labels[num_files] = {-1.0,-1.0,-1.0,-1.0,-1.0,-1.0,-1.0,
-1.0,-1.0,1.0, 1.0, 1.0, 1.0, 1.0, 1.0, 1.0, 1.0, 1.0};

Mat training_mat(num_files,img_area,CV_32FC1);
Mat labelsMat(num_files, 1, CV_32FC1, labels);

stringstream str;
for(int i=1;i<=num_files;i++)
{
```

```

str<<"C:\\test_img\\"<<i<<".jpg";
string fullPath = str.str();
str.str("");
Mat img_mat = imread(fullPath,0);

int ii = 0;

for (int i = 0; i<img_mat.rows; i++)
{
    for (int j = 0; j < img_mat.cols; j++)
    {
        training_mat.at<float>(file_num,ii++) =
img_mat.at<uchar>(i,j);
    }
    file_num++;
}
// Set up SVM's parameters
CvSVMParams params;
params.svm_type      = CvSVM::C_SVC;
params.kernel_type   = CvSVM::LINEAR;
params.term_crit     = cvTermCriteria(CV_TERMCRIT_ITER, 100, 1e-6);

// Train the SVM
CvSVM SVM;
SVM.train(training_mat, labelsMat, Mat(), Mat(), params);
SVM.save("trainingData.dat");

```

Εξήγηση κώδικα εκπαίδευσης SVM:

1. Δημιουργία δεδομένων εκπαίδευσης

- Τα δεδομένα εκπαίδευσης αποτελούνται από ένα σύνολο 19 εικόνων, οι οποίες είναι επισημασμένες και ανήκουν σε μια από τις δύο διαφορετικές κατηγορίες. Τα πρώτα 9 από τα πρότυπα, είναι επισημασμένα ως επιλεγμένα και τα υπόλοιπα 10 ως μη επιλεγμένα. Η συνάρτηση `CvSVM::train` απαιτεί τα δεδομένα που θα χρησιμοποιηθούν για την εκπαίδευση, να αποθηκευτούν ως `<Mat>` αντικείμενα float.:

```

float labels[num_files] = {-1.0,-1.0,-1.0,-1.0,-1.0,-1.0,-1.0,
-1.0,-1.0,1.0, 1.0, 1.0, 1.0, 1.0, 1.0, 1.0, 1.0, 1.0};

Mat training_mat(num_files,img_area,CV_32FC1);
Mat labelsMat(num_files, 1, CV_32FC1, labels);

```

- Μετατροπή των εικόνων από διδιάστατες εικόνες σε μονοδιάστατες. Οι εικόνες που προορίζονται για την εκπαίδευση του SVM, αρχικά διαβάζονται από τον φάκελο που είναι αποθηκευμένες (1) και έπειτα κάθε εικόνα, αφού έχει διαβαστεί, μετατρέπεται σε μονοδιάστατη εικόνα και αποθηκεύεται στον `training_mat(2)`.

```

stringstream str;
for(int i=1;i<=num_files;i++)
{
(1)  str<<"C:\\test_img\\"<<i<<".jpg";
      string fullPath = str.str();
      str.str("");
      Mat img_mat = imread(fullPath,0);
      int ii = 0;

(2)  for (int i = 0; i<img_mat.rows; i++)
      {
          for (int j = 0; j < img_mat.cols; j++)
          {
              training_mat.at<float>(file_num,ii++) =
img_mat.at<uchar>(i,j);
          }
      }

      file_num++;
}

```

2. Ρύθμιση των παραμέτρων του SVM

Για την εκπαίδευση του SVM, θα πρέπει πρώτα να ρυθμίσουμε κάποιες παραμέτρους. Αυτές οι παράμετροι αποθηκεύονται σε ένα αντικείμενο της κλάσης `CvSVMParams`.

```

CvSVMParams params;
params.svm_type = CvSVM::C_SVC;
params.kernel_type = CvSVM::LINEAR;
params.term_crit = cvTermCriteria(CV_TERMCRIT_ITER, 100, 1e-6);

```

- Τύπος SVM. Επιλέξαμε τον τύπο `CvSVM::C_SVC`, ο οποίος χρησιμοποιείται για n-κλάσεις ταξινόμηση ($n \geq 2$). Αυτή η παράμετρος ορίζεται στην ιδιότητα `CvSVMParams.svm_type`.
- Τύπος πυρήνα SVM. Επιλέξαμε `CvSVM::LINEAR`, αυτό σημαίνει ότι δεν γίνεται χαρτογράφηση. Αυτή η παράμετρος καθορίζεται από την ιδιότητα `CvSVMParams.kernel_type`.
- Κριτήρια τερματισμού του αλγορίθμου. Η διαδικασία εκπαίδευσης του SVM, υλοποιείται επιλύοντας ένα πρόβλημα τετραγωνικής βελτιστοποίησης, κατά επαναλαμβανόμενο τρόπο. Εδώ καθορίσαμε το μέγιστο αριθμό των επαναλήψεων και μια ανοχή σφάλματος, έτσι ώστε να επιτρέπουν στον αλγόριθμο να τελειώσει σε λιγότερο αριθμό των βημάτων, ακόμη και αν το βέλτιστο υπερεπίπεδο δεν έχει υπολογιστεί ακόμη. Αυτή η παράμετρος ορίζεται σε μια δομή `cvTermCriteria`

3. Εκπαίδευση SVM

Καλούμε τη μέθοδο `CvSVM::train` για την κατασκευή του μοντέλου SVM. Ως δεδομένα εισόδου, έχουμε τον `training_mat`, που περιέχει τις εικόνες που θέλουμε να διαχωρίσουμε και τον `labelsMat`, που περιέχει τις ετικέτες για κάθε πρότυπο.

```

CvSVM SVM;
SVM.train(training_mat, labelsMat, Mat(), Mat(), params);

```

Αφού γίνει η εκπαίδευση του SVM, στο τέλος τα δεδομένα εκπαίδευσης αποθηκεύονται σε ένα αρχείο με όνομα `trainingData.dat`. Πλέον, το αρχείο αυτό περιέχει όλα τα δεδομένα που χρειάζεται το σύστημα μας για να κάνει τον διαχωρισμό των απαντήσεων, σε επιλεγμένες και μη επιλεγμένες.

```
SVM.save("trainingData.dat");
```

5.2.5 Αποθήκευση των αποτελεσμάτων

Για την αποθήκευση των αποτελεσμάτων χρησιμοποιήθηκε η μορφή του csv, τα comma separated values(csv) είναι αρχεία κειμένου των οποίων οι τιμές σε κάθε γραμμή του αρχείου είναι χωρισμένες με κόμμα. Τα πλεονεκτήματα των csv, είναι η συμβατότητα που έχουν με όλα τα υπολογιστικά φύλλα (OpenOffice, LibreOffice, MSOffice) και η ευκολία εισόδου προς τις γλώσσες προγραμματισμού, αφού όλες υποστηρίζουν είσοδο αρχείων χωρίς να χρειάζεται ειδικές βιβλιοθήκες.

Μόλις η συνάρτηση `find_bubble_answers` μας επιστρέψει τα αποτελέσματα ,δηλαδή, ένα πίνακα τύπου vector που περιέχει δομές τύπου `BubbleAnswers` γίνετε έλεγχος αν είναι 400 σε αριθμό αλλιώς τυπώνετε μήνυμα λάθους.

Επόμενο βήμα είναι η ταξινόμηση των bubbles, πρώτα ως προς την συντεταγμένη Y και έπειτα ως προς X. Αυτή η διαδικασία γίνεται γιατί η `find_bubble_answers` επιστέφει ανακατεμένες τις bubbles με αποτέλεσμα να μην μπορούμε να τις τμηματοποιήσουμε.

Έπειτα, το vector με τις bubble χωρίζετε σε 3 μέρη τα οποία αποθηκεύονται σε ισάριθμα vectors. Το πρώτο μέρος με όνομα `Answers` αποθηκεύει τις 320 πρώτες bubbles, το δεύτερο με όνομα `UserId` αποθηκεύει τις 50 bubbles που αφορούν τον αριθμό μητρώου, και το τελευταίο με όνομα `TestId` αποθηκεύει τις 30 bubbles του κωδικού του τεστ.

Τελευταίο στάδιο είναι η αναγνώριση των απαντήσεων από την SVM. Για την αναγνώριση των απαντήσεων πλέον θέλουμε μόνο το αρχείο `trainingData.dat` ο κώδικας που χρησιμοποιήθηκε για την εκπαίδευση του SVM δεν περιλαμβάνεται στον κώδικα της εφαρμογής.

Αρχικά, φορτώνεται το αρχείο `trainingData.dat` (1), που περιέχει όλες τις απαραίτητες πληροφορίες σχετικά με τον διαχωρισμό των προτύπων. Έπειτα, ο πίνακας `img_1D` που περιεχει ολετε τις απαντήσεις που έχει δώσει ο φοιτητής μέσω μιας for (2), όπου για κάθε εικόνα μέσω της `svm.predict` γίνεται πρόβλεψη για το αν η απάντηση που αντιπροσωπεύει κάθε εικόνα είναι επιλεγμένη ή όχι. Αν είναι επιλεγμένη, η μεταβλητή `response` παίρνει την τιμή -1, αλλιώς 1 και σχεδιάζεται ο αντίστοιχος κύκλος πάνω στην απάντηση, πράσινος για τις επιλεγμένες απαντήσεις και κόκκινος για τις μη επιλεγμένες (3)(4) (Εικόνα 32).

```
CvSVM svm;
(1) svm.load("trainingData.dat");

(2) for(int i=0;i<img_1D.size();i++){
    float response=svm.predict(img_1D[i].Mat_1D);

    if(response==-1)
    {
(3) circle(preview, img_1D[i].center, img_1D[i].radius, Scalar(0,255,0),2);
    }
else
    {
```



```
(4)circle(preview,img_1D[i].center,img_1D[i].radius,Scalar(0,0,255),2);

}

}
```

- 21. 1 2 3 4
- 22. 1 2 3 4
- 23. 1 2 3 4
- 24. 1 2 3 4
- 25. 1 2 3 4
- 26. 1 2 3 4
- 27. 1 2 3 4
- 28. 1 2 3 4
- 29. 1 2 3 4
- 30. 1 2 3 4
- 31. 1 2 3 4
- 32. 1 2 3 4

Εικόνα 32 Απόσπασμα απαντήσεων

Τέλος, οι σωστές απαντήσεις, αυτές που έχουν -1(πράσινο χρώμα) στην μεταβλητή response, μετατρέπονται σε A,B,C,D ανάλογα με την απάντηση που έδωσε ο φοιτητής και αποθηκεύονται μαζί με τον αριθμό μητρώου και τον αριθμό τεστ στο αρχείο csv. Στον ίδιο φάκελο αποθηκεύονται και όλες οι εικόνες των τεστ με σημειωμένες τις σωστές απαντήσεις(Εικόνα 33).

Αριθμός μητρώου	Αριθμός Τέστ	Ερώτηση 1	Ερώτηση 2	Ερώτηση 3	Ερώτηση 4	Ερώτηση 5	Ερώτηση 6	Ερώτηση 7	Ερώτηση 8	Ερώτηση 9	Ερώτηση 10	Ερώτηση 11	Ερώτηση 12	Ερώτηση 13	Ερώτηση 14	Ερώτηση 15
23456	454	A	B	C	C	C	D	C	B	C	B	C	B	C	B	C
65656	656	A	B	C	B	B	B	C	C	C	C	B	C	D	C	B
88778	997	B	C	D	C	C	C	B	C	B	C	B	C	B	C	B
01247	998	A	B	C	C	C	C	B	C	B	C	C	C	C	NULL	B
01234	345	B	B	B	B	C	D	C	C	B	B	B	B	C	C	C
12234	234	A	B	C	D	C	C	B	C	C	C	C	B	C	B	C
NULL	013	B	B	B	C	C	B	C	C	B	C	B	C	B	C	B
01234	012	A	B	C	D	D	C	B	D	C	B	B	B	D	C	C
NULL	156	A	B	C	C	B	C	C	C	B	C	B	B	B	B	C
01234	511	A	B	C	D	C	B	A	B	C	D	C	B	A	B	C
23456	000	A	B	C	B	B	C	C	B	B	NULL	D	C	C	B	C
01234	434	B	B	A	B	C	B	C	B	C	B	C	C	C	C	C
23456	009	A	B	C	D	C	B	C	D	C	C	C	B	C	B	C
23456	008	A	B	C	D	A	B	C	D	C	C	B	C	B	C	B
01234	007	A	B	C	C	NULL	NULL	C	C	C	B	C	C	C	C	B
NULL	878	NULL	NULL	B	NULL	NULL	NULL	NULL	NULL	NULL	NULL	NULL	NULL	NULL	NULL	NULL
76678	234	A	B	C	B	C	C	C	C	C	B	C	B	B	B	C
2343	344	A	B	C	C	C	B	C	C	B	C	C	B	C	B	C
65567	909	A	B	B	B	B	B	B	B	B	B	C	C	C	C	D
NULL	555	A	B	C	C	B	C	C	B	C	B	C	C	B	B	C
01234	012	A	B	C	B	C	C	C	B	C	D	C	B	C	C	B
02545	678	NULL	NULL	NULL	NULL	NULL	NULL	NULL	NULL	NULL	NULL	NULL	NULL	NULL	NULL	NULL
32234	234	B	A	B	C	D	C	B	C	D	C	B	B	C	B	C
NULL	006	A	B	C	B	B	A	B	B	C	B	A	B	B	B	A

Εικόνα 33 Παράδειγμα μορφής απαντήσεων

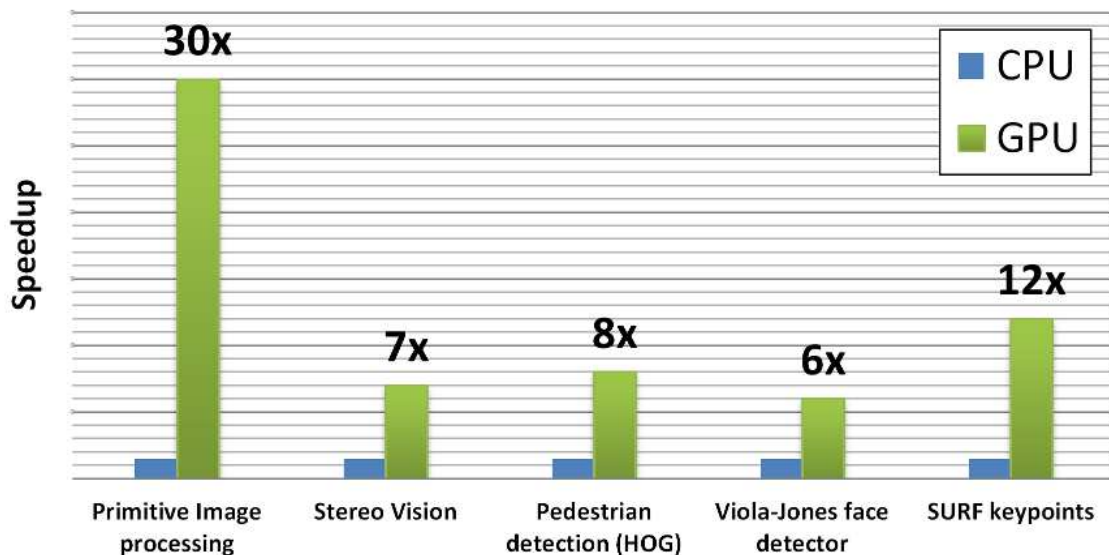
6. Αποτελέσματα-Μετρήσεις

Για την επαλήθευση των αποτελεσμάτων δημιουργήθηκε ένα δείγμα διακοσίων τεστ που το καθένα έχει 20 απαντημένες ερωτήσεις, τα οποία σαρωθήκαν από το πολυμηχάνημα HP Officejet 5600 series. Τα τεστ σαρωθήκαν σε 3 διαφορετικές αναλύσεις σε 100dpi,200dpi,300dpi

7. Μελλοντικές επεκτάσεις

Η εργασία έχει πολλές δυνατότητες εξέλιξης και επέκτασης, όπως η μετατροπή του κώδικα της εφαρμογής μας, ώστε να επιταχύνεται από την GPU με τη χρήση της CUDA. Σημαντικό μέρος της υπολογιστικής όρασης, είναι η επεξεργασία εικόνας περιοχή, για την οποία έχουν εφαρμογή οι επιταχυντές γραφικών. Έτσι, είναι πολύ ενδιαφέρον να εφαρμοστούν όλα τα πλεονεκτήματα μιας κάρτας γραφικών για να επιταχύνει την OpenCV.

Η αύξηση στην απόδοση των αλγορίθμων, όπως φαίνεται και στην (Εικόνα 16), είναι πολύ μεγάλη έως και 30X φορές.



Εικόνα 34 Απόδοση της GPU σε σχέση με την CPU για επεξεργασία εικόνας.

Τα τελευταία χρόνια οι online διαδικτυακές υπηρεσίες εξαπλώνονται ραγδαία. Όλοι μας λίγο ή πολύ καθημερινά χρησιμοποιούμε αρκετές από αυτές. Με αυτό το σκεπτικό θα ήταν πολύ ενδιαφέροντα η μετατροπή της εφαρμογής μας σε δικτυακή υπηρεσία, όπου οι χρήστες θα έχουν την δυνατότητα από οποιαδήποτε υπολογιστή που διαθέτει πρόσβαση στο διαδίκτυο, αφού σαρώσουν τα τεστ να τα ανεβάσουν στον εξυπηρετητή και να διορθωθούν εκεί τοπικά και μετά να σταλούν τα αποτελέσματα στον χρήστη.

Τέλος, το QRcode, αφενός, χρησιμοποιείται από την εφαρμογή μας για αναγνώριση της κλίσης του τεστ και διόρθωσης αυτής, όπως αναφέραμε και στο κεφάλαιο 5, αφετέρου, η δυνατότητα αποθήκευσης δεδομένων του QRcode μας δίνει πολλά πλεονεκτήματα, όπως η αποθήκευση κρυπτογραφημένων απαντήσεων για αυτόματη διόρθωση, χωρίς δηλαδή ο καθηγητής να χρειάζεται να έχει πρόσβαση στη βάση δεδομένων με τις σωστές απαντήσεις.

Βιβλιογραφία

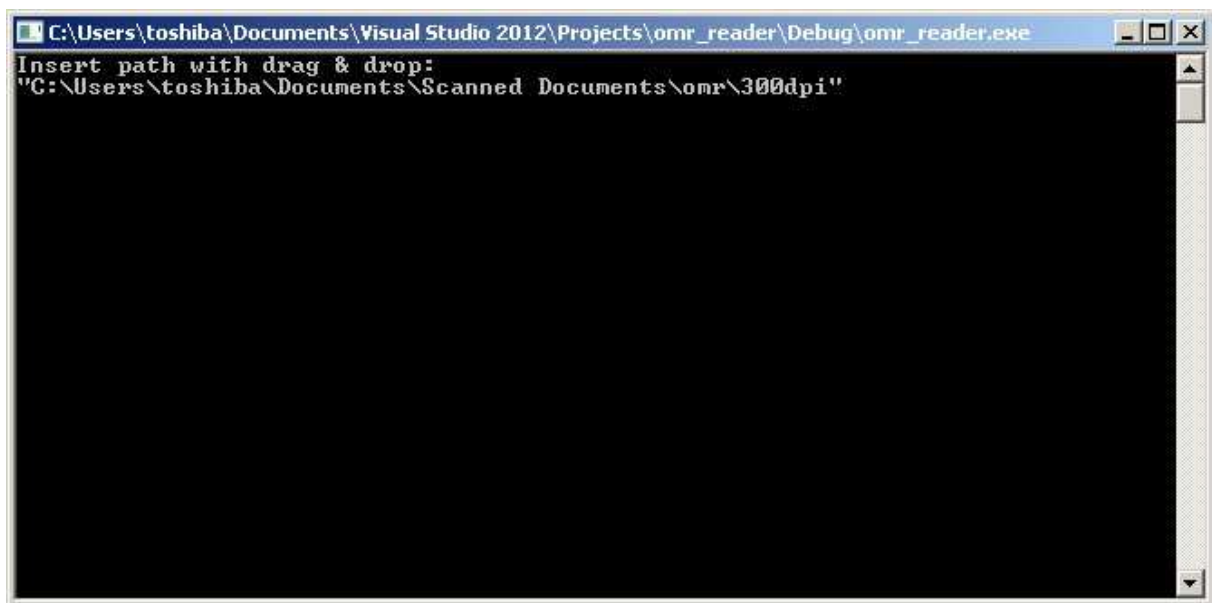
- Accusoft, FormSuite. (n.d.). *accusoft ICR/OCR/OMR Component for .NET 32/64-bit and ActiveX 32-bit*. Ανάκτηση από <http://www.accusoft.com/formsuite.htm>.
- Akash, E., Tewari, A., & Jain, T. (2012). Computer vision based omr sheet evaluation using OpenCV.
- Bergeron, & Bryan, P. (1998). Optical mark recognition. Postgraduate Medicine online.
- Chidrewar, V., Yang, J., & Moon, D. (2013). Mobile Based Auto Grading Of Answersheets.
- Corinna, C., & Vapnik, V. (1995). Support-vector networks. *Machine Learning*, σ. 273.
- Das, S. (2010). “*Optical Mark Recognition Technology for Rural Health Data Collection*”.
- Dillman. (2000). “*Optical Mark Recognition*”, *Presents the Impact of OMR Forms on Response Rates that it is a Relevant Issue*”.
- Furht, B. (2011). QRcode based augmented reality applications. *Handbook of Augmented Reality*, σ. 341.
- Green, & Phil. (2000). Optical Scanning Systems.
- Hussmann, S., & Weiping Deng, P. (2005). “*A High Speed Optical Mark Reader Hardware Implementation at Low Cost using Programmable Logic*”.
- LoPresti, Zvia Segal, F., & Zvia Segal, N. (1996). Using Scanners and OMR Software for Affordable Data Input. *Statistics and the Social Sciences*. .
- Symons. (2001). “*States MCQ is Generally Recognized as One Question with Some Alternative Answers where One is Correct and the Others are Distracters*”.
- Nobuyuki, O. (1979). A threshold selection method from gray-level histograms. *IEEE Trans. Sys., Man., Cyber.* 9 (1), σσ. 62–66.
- Wikipedia QR code. (n.d.). QR code
- http://docs.opencv.org/doc/user_guide/user_guide.html
- <http://opencv.org/downloads.html>

Παράρτημα

Οδηγός χρήσης

- **Βήμα 1**

Αφού εκτελέσουμε το αρχείο `omr_reader.exe` σέρνουμε τον φάκελο με τις εικόνες των τεστ πάνω στην κονσόλα και πατάμε `enter`.



- **Βήμα 2**

Το πρόγραμμα μας ζητάει όνομα για τον φάκελο που θα αποθηκευτούν τα αποτελέσματα δίνουμε ένα όνομα και πατάμε `enter`.

```
C:\Users\toshiba\Documents\Visual Studio 2012\Projects\omr_reader\Debug\omr_reader.exe
Insert path with drag & drop:
"C:\Users\toshiba\Documents\Scanned Documents\omr\300dpi"
Save csv file as:
example
```

- Βήμα 3

Η διαδικασία της διόρθωσης ξεκινά αυτόματα. Μόλις ολοκληρωθεί η διαδικασία τα αποτελέσματα αποθηκεύονται στον ίδιο φάκελο που βρίσκετε το εκτελέσιμο αρχείο της εφαρμογής .

```
C:\Users\toshiba\Documents\Visual Studio 2012\Projects\omr_reader\Debug\omr_reader.exe
--> User ID 65432 Test ID 927
Complete image recognition 40 from 50
--> User ID 00000 Test ID 000
Complete image recognition 41 from 50
--> User ID 11111 Test ID 111
Complete image recognition 42 from 50
--> User ID 38228 Test ID NULL
Complete image recognition 43 from 50
--> User ID 35496 Test ID NULL
Complete image recognition 44 from 50
--> User ID 6798 Test ID NULL
Complete image recognition 45 from 50
--> User ID 01212 Test ID 260
Complete image recognition 46 from 50
--> User ID 43467 Test ID 166
Complete image recognition 47 from 50
--> User ID 98765 Test ID 345
Complete image recognition 48 from 50
--> User ID NULL Test ID 678
Complete image recognition 49 from 50
--> User ID 01234 Test ID 111
Complete image recognition 50 from 50
--> User ID 98989 Test ID 767
70.733 seconds.
Progress is done!
```

- Βήμα 4

Στον ίδιο φάκελο με τα αποτελέσματα βρίσκονται και οι εικόνες των τεστ, μόλις εντοπίσουμε το αρχείο αποτελεσμάτων το ανοίγουμε.

Βιβλιοθήκη: Έγγραφα

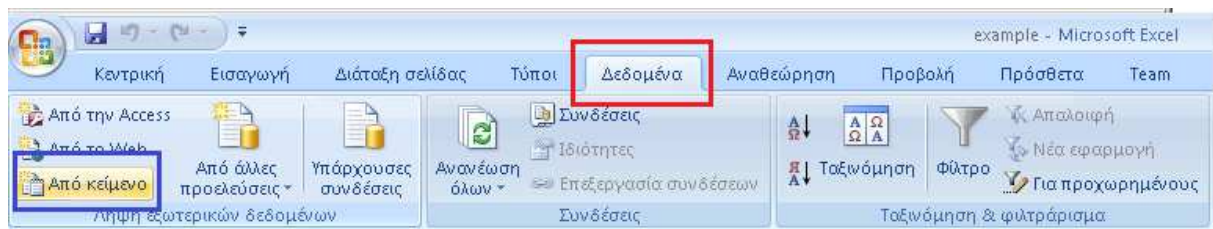
example

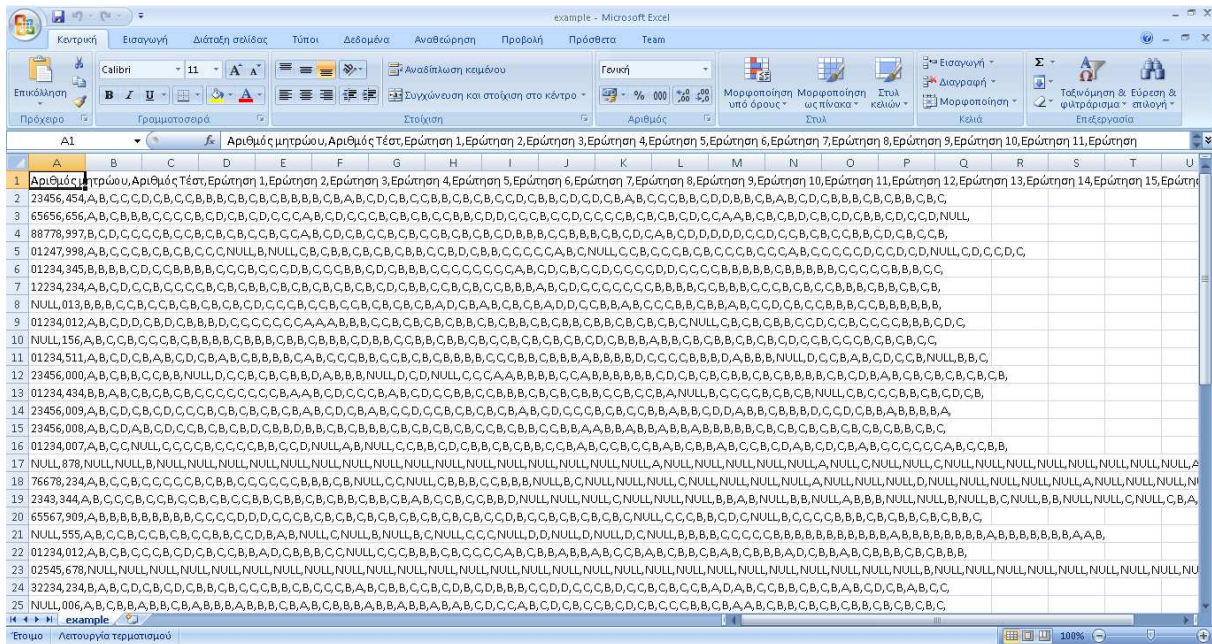
Τακτοποίηση κατά: Φάκελο ▾

✖ 00000_000(39)	✖ 12234_234(5)	✖ 88778_997(2)
✖ 01212_260(44)	✖ 12456_877(29)	✖ 95678_005(24)
✖ 01234_007(14)	✖ 23456_000(10)	✖ 98765_345(46)
✖ 01234_012(7)	✖ 23456_008(13)	✖ 98767_003(26)
✖ 01234_012(20)	✖ 23456_009(12)	✖ 98989_767(49)
✖ 01234_111(48)	✖ 23456_454(0)	example
✖ 01234_345(4)	✖ 32234_234(22)	✖ fail_32
✖ 01234_434(11)	✖ 35496_NULL(42)	✖ NULL_001(28)
✖ 01234_511(9)	✖ 38228_NULL(41)	✖ NULL_006(23)
✖ 01247_998(3)	✖ 43467_166(45)	✖ NULL_013(6)
✖ 01275_002(27)	✖ 45677_555(31)	✖ NULL_156(8)
✖ 2334_567(37)	✖ 55666_666(36)	✖ NULL_444(35)
✖ 2343_344(17)	✖ 55678_004(25)	✖ NULL_555(19)
✖ 02545_678(21)	✖ 65432_927(38)	✖ NULL_678(47)
✖ 04543_343(33)	✖ 65456_656(30)	✖ NULL_878(15)
✖ 6798_NULL(43)	✖ 65567_909(18)	
✖ 09876_059(34)	✖ 65656_656(1)	
✖ 11111_111(40)	✖ 76678_234(16)	

▪ Βήμα 5

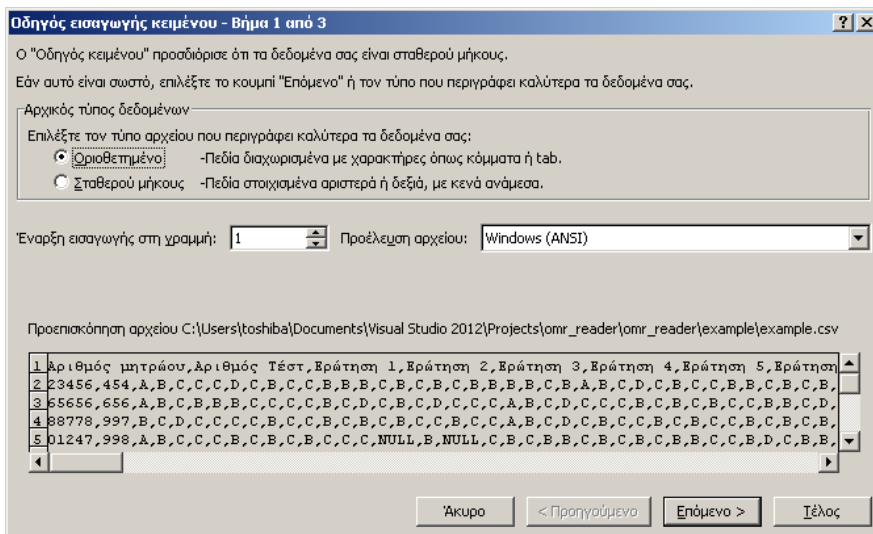
Τα αποτελέσματα δεν είναι ακόμα στοιχισμένα στα κελία για να γίνει αυτό πατάμε την καρτέλα “δεδομένα(κόκκινο χρώμα)” και μετά την επιλογή “από κείμενο(μπλε χρώμα)”





- Βήμα 6

Στο παράθυρο που θα ανοίξει πηγαίνουμε στον φάκελο που είναι το αρχείο csv με τα αποτελέσματα και το επιλεγούμε. Στον οδηγό που θα ανοίξει άμεσα μετά κάνουμε κλικ στην επιλογή “οροθετημένο” και έπειτα “Επόμενο”.



- Βήμα 7

Στο επόμενο βήμα μαρκάρουμε την επιλογή “κόμμα” και πατάμε “Επόμενο”

Οδηγός εισαγωγής κειμένου - Βήμα 2 από 3

Αυτή η οθόνη σας επιτρέπει να ορίσετε τους οριοθέτες που περιέχονται στα δεδομένα σας. Μπορείτε να δείτε πώς επηρεάζεται το κείμενο στην παρακάτω προεπισκόπηση.

Οριοθέτες

Χαρακτήρας tab
 Ερωτηματικό
 Κόμμα
 Διάστημα
 Άλλο:

Χειρισμός διαδοχικών οριοθετών ως ενός

Προσδιοριστικός χαρακτήρας κειμένου:

Προεπισκόπηση δεδομένων

Αριθμός μητρώου	Αριθμός Τέστ	Ερώτηση 1	Ερώτηση 2	Ερώτηση 3	Ερώτηση 4	Ερώτηση 5	Ερώτηση 6
23456	454	A	B	C	C	C	D
65656	656	A	B	C	B	B	B
88778	997	B	C	D	C	C	C
01247	998	A	B	C	C	C	B

Άκυρο < Προηγούμενο Επόμενο > Τέλος

- Βήμα 8

Επιλεγούμε την πρώτη στήλη με όνομα αριθμός μητρώου και κάνουμε κλικ στην επιλογή “κείμενο” την ίδια διαδικασία επαναλαμβάνουμε και για την δεύτερη στήλη με όνομα αριθμός τεστ και πατάμε Τέλος.

Οδηγός εισαγωγής κειμένου - Βήμα 3 από 3

Αυτή η οθόνη σας επιτρέπει να επιλέγετε κάθε στήλη και να ορίζετε τη μορφή των δεδομένων.

Μορφοποίηση στήλης δεδομένων

Γενική
 Κείμενο
 Ημερομηνία:
 Χωρίς εισαγωγή στήλης (παράλειψη)

Η "Γενική" μορφή μετατρέπει αριθμητικές τιμές σε αριθμούς, τιμές ημερομηνίας σε ημερομηνίες και όλες τις υπόλοιπες τιμές σε κείμενο.

Για προχωρημένους...

Προεπισκόπηση δεδομένων

Κείμενο	Κείμενο	Γενική	Γενική	Γενική	Γενική	Γενική	Γενική
Αριθμός μητρώου	Αριθμός Τέστ	Ερώτηση 1	Ερώτηση 2	Ερώτηση 3	Ερώτηση 4	Ερώτηση 5	Ερώτηση 6
23456	454	A	B	C	C	C	D
65656	656	A	B	C	B	B	B
88778	997	B	C	D	C	C	C
01247	998	A	B	C	C	C	B

Άκυρο < Προηγούμενο Επόμενο > Τέλος

- Βήμα 9

Τα δεδομένα είναι έτοιμα για περαιτέρω επεξεργασία.

example - Microsoft Excel

Κατηγορή Εισαγωγή Διάταξη σελίδας Τύποι Δεδομένα Αναθεώρηση Προβολή Πρόσθετα Team

Από την Access Από το Web Από κείμενο Από ομαδοποιημένα δεδομένα

Υπάρχουσες συνδέσεις Ανακάλυψη νέων συνδέσεων

Συνδέσεις

Ταξινόμηση Φίλτρο

Απλοποίηση Νέα εφαρμογή Για προχωρημένους Ταξινόμηση & φίλτρα

Επιπλοποίηση δεδομένων Συνολική εικόνα

Κείμενο σε στήλες διατύπωση Κατάργηση ομαδοποίησης

Εργασία δεδομένων

Ομαδοποίηση Κατάργηση ομαδοποίησης

Μερικό άθροισμα Περιγραφή

	A	B	C	D	E	F	G	H	I	J	K	L	M	N	O	P	Q
1	Αριθμός μετρώου	Αριθμός Τέσ	Ερώτηση 1	Ερώτηση 2	Ερώτηση 3	Ερώτηση 4	Ερώτηση 5	Ερώτηση 6	Ερώτηση 7	Ερώτηση 8	Ερώτηση 9	Ερώτηση 10	Ερώτηση 11	Ερώτηση 12	Ερώτηση 13	Ερώτηση 14	Ερώτηση 15
2	23456	454	A	B	C	C	C	D	C	B	C	C	B	B	B	C	B
3	65656	656	A	B	C	B	B	B	C	C	C	C	B	C	D	C	B
4	88778	997	B	C	D	C	C	C	B	C	B	C	B	C	B	C	B
5	01247	998	A	B	C	C	C	C	B	C	B	C	B	C	C	NULL	B
6	01234	345	B	B	B	B	C	D	C	C	B	B	B	B	C	C	C
7	12234	234	A	B	C	D	C	C	B	C	C	C	C	B	C	B	C
8	NULL	013	B	B	B	C	C	B	C	C	B	C	B	C	B	C	B
9	01234	012	A	B	C	D	D	C	B	D	C	B	B	B	D	C	C
10	NULL	156	A	B	C	C	B	C	C	C	B	C	B	B	B	B	C
11	01234	511	A	B	C	D	C	B	A	B	C	D	C	B	A	B	C
12	23456	000	A	B	C	B	B	C	C	B	B	NULL	D	C	C	B	C
13	01234	434	B	B	A	B	C	B	C	B	C	B	C	C	C	C	C
14	23456	009	A	B	C	D	C	B	C	D	C	C	C	B	C	B	C
15	29456	008	A	B	C	D	A	B	C	D	C	B	C	C	B	C	B
16	01234	007	A	B	C	C	NULL	C	C	C	C	B	C	C	C	C	B
17	NULL	878	NULL	NULL	B	NULL	NULL	NULL	NULL	NULL	NULL	NULL	NULL	NULL	NULL	NULL	NULL
18	76678	234	A	B	C	C	B	C	C	C	C	C	B	C	B	B	C
19	2343	344	A	B	C	C	C	B	C	C	B	C	C	B	C	B	C
20	65567	909	A	B	B	B	B	B	B	B	B	B	C	C	C	C	D
21	NULL	555	A	B	C	C	B	C	C	C	B	C	B	C	B	B	C
22	01234	012	A	B	C	B	C	C	B	C	D	C	B	C	C	C	B
23	02545	678	NULL	NULL	NULL	NULL	NULL	NULL	NULL	NULL	NULL	NULL	NULL	NULL	NULL	NULL	NULL
24	32234	234	B	A	B	C	D	C	B	C	D	C	B	B	C	B	C
25	NULL	006	A	B	C	B	B	A	B	B	C	B	A	B	B	B	A

Φύλλοι example

Ετοιμο Λειτουργία τερματισμού

EN 2 4:13 πμ 13/6/2014